

ПРИМЕНЕНИЕ ЖЕЛДЗО-БЕТОНА

КЪ

КАНАЛИЗАЦИИ И ВОДОСНАБЖЕНИЮ ГОРОДОВЪ.

Инженеръ-Капитанъ **Н. Житковичъ**,
татный преподаватель Николаевской Инженерной Академіи и Училища.

С.-ПЕТЕРБУРГЪ.
Типографія П. П. Сойкина, Стремянная, № 12.
1899.

Дозволено цензурою С.-Петербургъ 13 мая 1899 года.

Примѣненіе желѣзо-бетона къ канализаціи и водоснабженію городовъ.

Въ теченіе послѣднихъ 20 лѣтъ бетонъ и желѣзо-бетонъ получили обширное примѣненіе при устройствѣ канализаціи и водопроводовъ. Въ этомъ отношеніи наиболѣе интересными являются работы, произведенныя для канализаціи и водоснабженія Парижа и представляющія многочисленные примѣры сочетанія желѣза и бетона, сообразно тѣмъ специальнymъ требованіямъ, которыя предъявляютъ подобнаго рода сооруженія.

Даже при обыкновенныхъ условіяхъ, когда канализаціонныя трубы не подвержены внутреннему давленію, болѣе выгоднымъ, въ большинствѣ случаевъ, оказывается примѣненіе бетона вмѣсто кирпичной или каменной кладки.

Обширное изслѣдованіе этого вопроса привело инженера Gagu (лабораторія для испытанія материаловъ и конструкцій въ Berlin-Charlottenburg'ѣ) къ слѣдующимъ результатамъ:

Бетонныя трубы существуютъ во многихъ германскихъ городахъ болѣе 20—25 лѣтъ, при чёмъ общая длина канализаціонныхъ бетонныхъ трубъ въ 79 городахъ до 1896 года равна 660 километровъ, въ томъ числѣ: въ Darmstadt'ѣ—6 километровъ (10 лѣтъ), въ Gotha—6 килом. (11 лѣтъ), въ Lichtenburg'ѣ 5,5 килом. (12 лѣтъ), Erlangen'ѣ—20 килом. (13 лѣтъ), Aix-la-Chapelle'ѣ—17 килом. (17 лѣтъ), Mainz'ѣ—43 килом. (18 лѣтъ), Heidelberg'ѣ 10 килом. (20 лѣтъ), Carlsruhe 50 килом. (22 года). Діаметръ каналовъ измѣняется: для круглаго поперечнаго сѣченія отъ 0,10 м. до 1,60 м. и для овальнаго—отъ 0,20 м. \times 0,30 м. до 1,10 м. \times 1,80 м.

Нѣкоторыя городскія общества при устройствѣ канализаціи отдали предпочтеніе кирпичнымъ и каменнымъ каналамъ, опасаясь вреднаго влиянія на бетонъ горячихъ сточныхъ водъ, за-

ключающихъ много кислотъ или подверженныхъ большому давлению.

Но, съ другой стороны, значительное большинство городскихъ управлений и инженеровъ придерживаются того мнѣнія, что слабые растворы кислотъ не дѣйствуютъ разрушительно на бетонъ и что этотъ материалъ является наиболѣе выгоднымъ для устройства канализаціонныхъ трубъ.

На запросъ, сдѣланный городскимъ управлениемъ, было получено 58 отвѣтовъ вполнѣ благопріятныхъ для эксплуатируемыхъ бетонныхъ каналовъ, потребовавшихъ въ теченіе 6—25 лѣтъничного ремонта или оставшихся совершенно неповрежденными. Значительныя-же исправленія, въ иѣкоторыхъ случаяхъ, были вызваны исключительно вышними причинами, какъ напримѣръ, осадкой земли.

По заключенію городского инженернаго совѣта въ Дрезденѣ примѣненіе бетона къ каналамъ значительнаго поперечнаго сѣченія уменьшаетъ время постройки на 66% и стоимость—на 25% сравнительно съ каменной или кирпичной кладкой.

На основаніи данныхъ, полученныхъ при устройствѣ канализаціи въ Берлинѣ, инженеръ Gary приводитъ слѣдующія сравни-
тельныя цѣны для одного погоннаго метра каналовъ кирпичныхъ и бетонныхъ:

Цѣна въ мар- кахъ . . .	Діаметри овальныхъ и круглыхъ сѣченій.					
	0,06 м. × 0,90 м.		0,80 м. × 1,20 м.		1,50 м. × 1,50 м.	
	Кирпичн.	Бетон.	Кирпичн.	Бетон.	Кирпичн.	Бетон.
	36,19	20,00	48,79	33,00	74,38	56,00

Въ виду этихъ очевидныхъ преимуществъ бетона, подтвержденныхъ многолѣтнимъ опытомъ, вполнѣ понятно стремленіе многихъ инженеровъ дать бетону возможно широкое примѣненіе при устройствѣ канализацій.

Но бетонъ, подобно кирпичной и каменной кладкѣ, не можетъ оказать на практикѣ значительнаго сопротивленія растяжению, и поэтому примѣненіе его ограничивалось только устройствомъ каналовъ и прочихъ частей сѣти, не подверженныхъ растяжению. Въ силу этого, для сифоновъ и вообще каналовъ, под-

верженныхъ внутреннему давлению, вынуждены были примѣнять чугунныя или желѣзныя трубы, несмотря на явную непригодность этихъ матеріаловъ, разрушающихся сравнительно быстро подъ влияніемъ сточныхъ водъ. Благодаря быстрому окисленію, прочность этихъ трубъ постепенно уменьшается, на внутренней поверхности получаются нарости, уменьшающіе поперечное сѣченіе и увеличивающіе сопротивленіе движенію сточныхъ водъ. Кромѣ того, чугунныя трубы, вслѣдствіе сравнительно малой упругости матеріала, весьма чувствительны къ ударамъ, неправильной осадкѣ земли и прочимъ внѣшнимъ силамъ, вызывающимъ разстройство сѣти, несмотря на всѣ мѣры предосторожности, принимаемыя при укладкѣ трубъ значительного діаметра. Какъ примѣры, можно привести разрушение стока парижской сѣти значительного діаметра около Villejuif; также въ Briare'ѣ и другихъ окрестностяхъ Парижа и Roubaix получились недавно разрывы въ подобныхъ-же трубахъ, подверженныхъ слабому внутреннему давлению.

Въ Греноблѣ чугунныя трубы замѣнены въ настоящее время бетонными. Всѣ подобные случаи быстрого и легкаго разстройства чугунныхъ канализаціонныхъ трубъ заставили отказаться отъ чугуна, но примѣненіе его для устройства сифоновъ и каналовъ, подверженныхъ внутреннему давлению, было вызвано необходимостью, за неимѣніемъ другого дешеваго матеріала, способнаго оказать требуемое сопротивленіе.

Въ настоящее же время вопросъ этотъ можно считать решеннымъ на основаніи обширныхъ работъ по канализаціи Парижа, гдѣ всѣ каналы, подверженные малому или значительному внутреннему давлению (до 4-хъ атмосферъ), устроены изъ желѣзо-(стале)-бетона.

Первые работы для отвода сточныхъ водъ на поля орошениія d'Achères были начаты въ 1894 году и окончены 3 іюля 1895 года. Въ теченіе 1897 года общее количество сточныхъ водъ, доставленныхъ на поля орошениія d'Achères, равно 35 000 000 куб. метр. Въ составъ этой сѣти вошли слѣдующія желѣзо-бетонныя сооруженія.

1) 2351 м. эллиптической галлерей шириной 5,16 м. и высотою 4,34 м., въ которой расположены два стале-бетонныхъ канала діаметромъ 1,80 м.; давлениe въ нихъ измѣняется отъ 2 м. до 36 м. (0,2 атм. до 3,6 атмосферъ).

Сводъ эллиптической галлереи, толщиною 0,08 м., состоитъ изъ бетона и желѣзного остова, представляющаго сѣтку изъ по-

перечныхъ прутьевъ толщиною 16 мм. и продольныхъ—діаметромъ 8 мм.

2) Продолженiemъ этихъ двухъ трубъ служить желѣзо-бетонный каналъ круглого сѣченія діаметромъ 3 м.; длина 561,40 м.; толщина стѣнокъ 0,09 м.; металлической оставъ состоять изъ стальныхъ прутьевъ толщиною 8 мм.

3) Для распредѣленія сточныхъ водъ по полямъ орошенія служатъ до 40 километровъ трубы стале-бетонныхъ, діаметромъ: 1,10 м., 1,00 м., 0,80 м., 0,60 м., 0,40 м. Нормальное давленіе въ нихъ до 40 м. (4 атмосферы).

Всѣ эти работы, въ связи съ другими канализаціонными сооруженіями, были закончены въ 1895 году. Вполнѣ удачная эксплоатація ихъ въ теченіе 3-хъ лѣтъ уѣдила городское управление Парижа примѣнить желѣзо-бетонныя трубы для дальнѣйшаго развитія сѣти, имѣющаго цѣлью доставить часть сточныхъ водъ на поля орошенія возлѣ Mery и Triel'я.

Діаметръ трубъ: 2 м., 1,25 м., 1,10 м., 1,00 м., 0,80 м., 0,60 м., и 0,40 м. при общей длииѣ этой сѣти 25 километровъ. Всѣ эти работы, включая полную укладку трубы, предполагается окончить въ теченіе 6 мѣсяцевъ, т. е. къ концу 1898 года.

Подробное описание всѣхъ работъ для канализаціи Парижа приведено въ сочиненіи Bechmann и Launay: Notice sur les travaux de l'aqueduc et du parc agricole d'Achères, 1897 г.

Болѣе же краткое описание помѣщено въ: „Le g nie sanitaire“, 1898 г. № 7.

Не вдаваясь въ подробности, приведены ниже:

1) Теоретическая и практическая данныя, выясняющія выгоды примѣненія желѣзо-бетона къ канализаціи и водоснабженію.

2) Описаніе исполненныхъ работъ по устройству желѣзо-бетонныхъ каналовъ, подверженныхъ внутреннему давленію.

3) Примѣры устройства желѣзо-бетонныхъ резервуаровъ значительной емкости для водоснабженія городовъ.

I. Теоретическая и практическая данныя, выясняющія выгоды примѣненія желѣзо-бетона къ канализаціи и водоснабженію.

Главныя теоретическія требованія, которыми долженъ удовлетворять материалъ канализаціонныхъ и водопроводныхъ трубъ, слѣдующія:

1) прочность и неизмѣняемость, обеспечивающая непрерывную эксплоатацію

2) дешевизна устройства и дальности исправного содержания и

3) простота и быстрота устройства.

Въ примѣненіи къ мостамъ, между-этажнымъ покрытиямъ¹⁾ и пр. желѣзо-бетонъ получилъ быстрое развитіе въ теченіе послѣднихъ 25—30 лѣтъ, и вмѣстѣ съ тѣмъ вполнѣ выяснились слѣдующія главныя свойства желѣзо-бетона, представляющаго сочетаніе двухъ совершенно разнородныхъ материаловъ.

1) Равенство коэффиціентовъ расширенія желѣза (стали) и бетона.

Практика и опыты, произведенные въ лабораторіи l'Ecole des ponts et chaussées инженерами Durand-Claye и Debray, показали, что быстрая и рѣдкя измѣненія температуры не производятъ никакого вреднаго дѣйствія на желѣзо-бетонныя или сталь-бетонныя сооруженія.

Коэффиціентъ расширенія желѣза измѣняется въ предѣлахъ 0,0000136—0,0000148, а для цемента примѣрно равенъ—0,0000135; поэтому, практически, эти коэффиціенты можно считать равными и, следовательно, неѣть никакого основанія предполагать возможность нарушенія связи между бетономъ и желѣзомъ вслѣдствіе измѣненій температуры.

2) Сила сцепленія цемента съ желѣзомъ или сталью, соединяющая оба материала въ одно упругое цѣлое, опредѣляетъ главные преимущества желѣзо-бетонныхъ сооруженій надъ чисто бетонными и даетъ возможность примѣнить съ наибольшей выгодой оба материала, заставляя работать желѣзо исключительно на растяженіе, а бетонъ—на сжатіе.

Опыты, произведенные проф. Bauchinger'омъ, показали, что сила сцепленія цемента съ желѣзомъ достигаетъ 40—47 kg. на см.² поверхности прикосновенія. Многочисленные опыты инжен. Feret (Boulogne sur Mer, laboratoire des Ponts et Chaussées) привели къ тому заключенію, что сила сцепленія бетона разнаго состава съ желѣзомъ примѣрно равно силѣ сцепленія между частицами самого бетона.

Подобная связь существуетъ не только между желѣзной сѣткой, окруженной бетономъ, но также, напримѣръ, между стальной трубой, помѣщенной внутри другой бетонной для предохраненія ея отъ фильтраціи; обѣ трубы представляютъ какъ-бы одно цѣлое, и для отдѣленія внутренней трубы требуется полное разрушеніе окружающаго ее бетона.

¹⁾ Инженерный Журналъ 1899 г. № 1 и 2.

3) Бетонъ, окружая желѣзо, предохраняетъ его наилучшимъ образомъ отъ окисленія и разрушительного дѣйствія ржавчины. Инженеръ Considère, занявшись изученіемъ этого вопроса, изслѣдовалъ до 50 кусковъ желѣза, задѣланнаго въ кладку и пролежавшаго въ морѣ на разныхъ глубинахъ 5, 10, 25 и даже 50 лѣтъ. Въ результатѣ оказалось, что во всѣхъ случаяхъ, когда кладка не была повреждена, желѣзо сохранило свой первоначальный видъ, не обнаружило ни малѣйшихъ слѣдовъ ржавчины и связь его съ цементнымъ растворомъ была вполнѣ прочной.

Опыты показываютъ, что при употребленіи желѣза, покрытаго ржавчиной, окружающей его цементъ входить въ химическое соединеніе съ окислами желѣза въ тотъ періодъ, когда не произошло еще схватываніе цемента. Такимъ образомъ, цементъ освобождаетъ желѣзо отъ ржавчины и сохраняетъ его въ такомъ видѣ неопределеннное время. Этимъ объясняется почему желѣзо при удаленіи окружавшаго его бетона очень часто имѣть металлический, голубоватый цвѣтъ.

4) Коэффиціенты упругости обоихъ матеріаловъ таковы, что желѣзо, окруженное бетономъ, можетъ работать при сжатіи или растяженіи почти до своего предѣла упругости, не вызывая трещинъ въ прилегающей массѣ бетона. Такимъ образомъ, желѣзо или сталь, окруженная бетономъ, могутъ оказать полное свое сопротивленіе, находясь въ наивыгоднѣйшихъ условіяхъ, уничтожающихъ главный недостатокъ желѣза—быстрое разрушеніе подъ вліяніемъ воздуха и сырости.

Поэтому при расчетѣ желѣзо- или стае-бетонныхъ трубъ можно ограничиться сравнительно меньшими запасами прочности, чѣмъ при обыкновенныхъ металлическихъ конструкціяхъ; тѣмъ болѣе, что сопротивленіе бетона значительно увеличивается съ теченіемъ времени. Какъ примѣръ, можно привести слѣдующій опытъ Thierau'я, директора водопроводнаго общества въ Grenoble'ѣ.

Отрѣзокъ бетонной трубы, рассчитанной на давленіе 15 т. и пробывшей въ канализационной сѣти города 30 лѣтъ, былъ подвергнутъ гидравлическому давленію и разорвался при давленіи 135 т.

Другое весьма цѣнное качество желѣзо-бетонныхъ системъ—упругость, которая обеспечиваетъ прочность желѣзо-бетонныхъ трубъ. Въ этомъ отношеніи, какъ было указано выше, чугунные и обыкновенные керамиковые трубы значительно уступаютъ бетоннымъ и желѣзо-бетоннымъ, вслѣдствіе чего является ихъ чувствительность къ ударамъ и дѣйствію тѣхъ случайныхъ, внѣш-

нихъ сильь, которые являются при неправильной укладкѣ или осадкѣ земли.

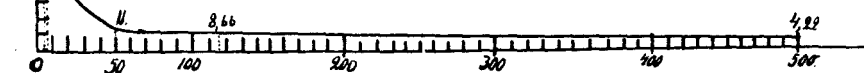
5) При незначительной толщинѣ стѣнокъ желѣзо-бетонныя трубы оказались на опытѣ непроницаемыми для воды при давлениі до 20 и 25 т. Въ началѣ опыта, по мѣрѣ увеличенія давления, на наружной поверхности трубы наблюдается слабое просачивание воды, что объясняется нѣкоторой пористостью бетона, являющейся вслѣдствіе испаренія свободной воды, не вошедшей въ химическое соединеніе съ цементомъ.

Но вслѣдь за тѣмъ просачивающаяся вода увлекаетъ съ собой къ наружной поверхности частицы свободной извести, которая заполняетъ поры и твердѣеть, соединяясь съ углекислотой воздуха.

Въ этомъ отношеніи весьма интересенъ опытъ, произведенный инженеромъ Bordenave'омъ надъ водопроводомъ San-Ambrogio длиною 6495 м. (6,5 километр.), снабжающимъ водою Венецію ¹⁾. Диаметръ желѣзо-бетонныхъ трубъ 0,80; толщина стѣнокъ 0,037 м.; давленіе въ нихъ измѣняется отъ 3,4 т. до 7 т.

Измѣряя количество воды, поступающей въ водопроводъ и вытекающей изъ него, были получены слѣдующія дѣйствительныя потери воды, представленные графически на фиг. 1.

Фиг. 1.



Каждое дѣленіе оси абсцисс соотвѣтствуетъ 10 днамъ, а по оси ординатъ—10 литровъ потери въ 1 минуту.

Какъ видно изъ діаграммы, дѣйствительная потеря въ первый день открытія водопровода равна 195 литр. въ 1 минуту, на пятый день—102 литр. въ 1 минуту, на 9-й день—71 литръ, на 50-й день—11 литр., на 115-й день—8,66 литр. въ 1 минуту и на 495-й день—4,22 литр. въ 1 минуту.

Первоначальная значительная убыль объясняется указаннымъ выше всасываніемъ воды порами бетона; послѣдовавшее затѣмъ ихъ закупориваніе вызвало быстрое уменьшеніе потери до срав-

нителю ничтожного количества—4,22 літр. въ 1 минуту, что составляетъ въ сутки:

$$4,22 \cdot 60 \cdot 24 = 6,07 \text{ куб. метр.}$$

При давлениі большемъ 20—25 т. для устраниенія просачиванія сточныхъ водъ примѣнены для канализациі Парижа желѣзобетонныя трубы съ внутренней оберткой изъ листовой стали. Эксплоатациі этихъ трубъ болѣе сложной системы дала вполнѣ благопріятные результаты въ теченіе послѣднихъ трехъ лѣтъ.

6) Однимъ изъ важныхъ преимуществъ желѣзо-бетонныхъ трубъ является возможность получить ихъ внутреннія поверхности вполнѣ правильными и гладкими. Въ этомъ отношеніи отсутствіе шероховатости лучше всего обеспечиваетъ трубы отъ всякаго рода отложеній, вызывающихъ, съ одной стороны, засореніе, а съ другой—способствующихъ разрушенію трубъ. При незначительной скорости, достаточно ничтожного отложенія, представляющаго уже поверхность болѣе или менѣе шероховатую, способствующую дальнѣйшему отложенію ила, песку, тины и прочихъ частицъ, увлекаемыхъ водою; въ результатахъ можетъ получиться полное закупоривание трубы. Какъ выяснила многолѣтняя практика, на внутреннихъ стѣнкахъ бетонныхъ трубъ никогда не появляются водоросли, известковая или минеральная отложенія, вызывающія дальнѣйшее засореніе. Напротивъ, въ чугунныхъ трубахъ, вслѣдствіе химического дѣйствія водъ, появляются ржавчина, желѣзистые нарости и отложенія, влекущіе за собой засореніе и постепенное разрушение трубъ.

Въ этомъ отношеніи можно привести слѣдующіе примѣры.

Въ Aberdeen'ѣ попечное сѣченіе трубъ уменьшилось на 54%; въ Cayenne'ѣ чугунный водопроводъ, построенный въ 1880 г. и доставлявшій вначалѣ 1500 куб. метр. въ сутки, черезъ 12 лѣтъ давалъ всего 350 куб. метр. въ сутки. Въ Grenoble'ѣ вынуждены были замѣнить чугунные водопроводныя трубы бетонными, вслѣдствіе постепенного уменьшенія полезнаго сѣченія. Значительные нарости наблюдались также въ чугунныхъ канализационныхъ трубахъ въ Cherbourg'ѣ, Saint-Etienne'ѣ, Utrecht'ѣ и Boston'ѣ.

Указанныя измѣненія, влекущія за собой засореніе и разрушение чугунныхъ трубъ, отзываются также на качествахъ воды.

Желѣзистыя отложенія придаютъ ей вкусъ и цвѣтъ желѣзистыхъ водъ; землистыя же засоренія способствуютъ развитию организмовъ животныхъ и растительныхъ.

7) Отличительной чертой желѣзо-бетонныхъ системъ является быстрота и простота ихъ возведенія, что особенно выгодно для

такихъ обширныхъ и важныхъ сооружений, какъ канализація и водоснабженіе городовъ. Въ этомъ отношеніи блестящій примѣръ представляютъ работы въ Парижѣ въ теченіе 1898 года (возлѣ Triel'я и Мегу), гдѣ въ продолженіе 6 мѣсяцевъ устроено 25 километровъ канализаціонной сѣти изъ желѣзо-бетонныхъ трубъ діаметромъ: 2 м.; 1,25 м.; 1,10 м.; 1,00 м.; 0,80 м.; 0,60 м. и 0,40 м. Такая быстрота объясняется возможностью производить всѣ работы на мѣстѣ укладки, благодаря быстротѣ и простотѣ всѣхъ устройствъ, необходимыхъ для фабрикаціи и укладки трубъ. Поэтому является возможность вести работы одновременно на нѣсколькихъ участкахъ и весь вопросъ сводится къ доставкѣ необходимыхъ материаловъ. Подобная независимость позволяетъ заготовлять трубы вблизи имѣющихся залежей песку, т. е., вообще, примѣнять мѣстный, имѣющійся подъ рукой материалъ, что значительно удешевляетъ производство такихъ обширныхъ работъ. Во Франції желѣзо-бетонные трубы для канализаціи и водопровода, подверженныя значительному внутреннему давленію, оказались дешевле соответствующихъ чугунныхъ на 15%—45%. Партия рабочихъ въ 16—20 человѣкъ заготовляетъ и укладываетъ въ 12 раб. часовъ до 100 т. трубъ діаметромъ 0,80—1,00 м. (работы вблизи Triel'я и Мегу). Данныя о фабрикаціи трубъ приведены ниже.

II. Описаніе исполненныхъ работъ по устройству желѣзо-бетонныхъ каналовъ, подверженныхъ внутреннему давленію.

Въ обыкновенныхъ желѣзо-бетонныхъ покрытияхъ, резервуарахъ и трубахъ, не подверженныхъ значительному давленію, примѣняютъ въ большинствѣ случаевъ желѣзныя полосы круглого сѣченія, располагая ихъ въ видѣ сѣтки изъ продольныхъ и поперечныхъ прутьевъ, связанныхъ въ точкахъ пересѣченій. Бетонъ, окружающей этотъ металлическій остовъ, трамбуется; онъ состоить изъ медленно-схватывающаго цемента, песку, гравія и воды, взятыхъ въ извѣстной пропорціи.

При устройствѣ желѣзо-бетонныхъ трубъ большого и малаго діаметра, подобное примѣненіе желѣза не можетъказать полнаго сопротивленія значительному внутреннему давленію воды равно какъ и вѣшнему давленію земли..

Употребленіе на практикѣ, въ большинствѣ случаевъ, желѣза круглого поперечнаго сѣченія оправдывается:

- 1) возможностью получить его въ такой профиляхъ почти всюду,
- 2) простотой всѣхъ соединеній при устройствѣ остова и

3) при трамбовані бетона, содергашаго гравій или крупный песокъ, легче достигнуть плотнаго прилеганія бетона къ желѣзу безъ образованія пустотъ, возможныхъ при болѣе сложныхъ профиляхъ.

Но съ другой стороны, надо замѣтить слѣдующее:

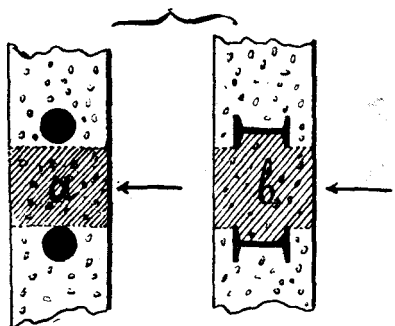
1) При той-же массѣ, поверхность прикасанія бетона съ же-лѣзомъ круглаго поперечнаго съченія меньше, чѣмъ при другихъ профиляхъ, съ болѣе развитыми наружными поверхностями.

2) Моментъ инерціи круглаго поперечнаго съченія значи-тельно меньше, чѣмъ профили, напримѣръ, двутавровой той-же площиади, что влечетъ ту-же разницу въ сопротивленіи изгибу, являющемся въ трубахъ вслѣдствіе давленія земли.

3) Какъ показали опыты, сопротивленіе растяженію же-лѣза круглаго поперечнаго съ-ченія на 10% — 12% меньше, чѣмъ съченія двутавроваго или, вообще, профили той-же площиади, но съ болѣе разви-тыми наружными поверхности-ми, что объясняется болѣе со-вершенной прокаткой.

4) При незначительной тол-щинѣ стѣнки трубы (фиг. 2) часть бетона (*a*), заполняющая

Фиг. 2.



промежутокъ между двумя смежными полосами круглаго поперечнаго съченія, можетъ оказать меньшее сопротивленіе внутрен-нему давленію, чѣмъ-та же масса бетона (*b*), заключенная между соотвѣтствующими полосами двутавроваго съченія.

На основаніи изложеннаго, для полученія наибольшей проч-ности трубы при наименьшемъ ея вѣсѣ, выгодно замѣнить же-лѣзо круглаго поперечнаго съченія сталью съ болѣе развитой наружной поверхностью, напримѣръ двутавровой профили. Метал-лическій оставъ каждой трубы можно составить изъ одной по-добной полосы, изогнутой по винтовой линіи, скрѣпленной и-сколькими полосами той-же профиля, расположенными по произ-водящимъ (вдоль трубы).

Для ускоренія производства и полученія возможно полной связы между бетономъ и металлическимъ оставомъ примѣняется растворъ, составленный изъ песку и быстро-схватывающагося це-ментта, требующаго значительно большаго количества воды, чѣмъ обыкновенные медленно-схватывающіеся цементы, вслѣдствіе чего

бетонъ получается настолько жидкимъ, что является возможность производить отливку трубъ.

Примѣненіе быстро-схватывающихся цементовъ даетъ слѣдующія преимущества, сравнительно съ обыкновенными медленно-схватывающимися цементами:

1) Отпадаетъ работа трамбованія, весьма затруднительная и медленная при малой толщинѣ трубъ и значительной длины ихъ при вертикальномъ положеніи формъ для отливки трубъ, жидкій быстро-схватывающейся растворъ заполняетъ форму подъ дѣйствіемъ собственного вѣса и охватываетъ металлическій остовъ сложной профиля безъ образованія пустотъ.

2) Желѣзныя формы могутъ быть сняты черезъ $\frac{1}{4}$ часа и примѣнены для слѣдующей отливки, что уძешевляетъ производство.

3) Быстроота и простота всѣхъ работъ; черезъ 2—3 дня послѣ отливки возможна укладка трубъ и засыпка ихъ землею.

Этотъ способъ фабрикаціи желѣзо-бетонныхъ трубъ, подверженныхъ значительному внутреннему давлению, разработанъ во Франціи въ 1889 году и примѣняется въ нѣсколько измѣненномъ видѣ для канализаціи Парижа, начиная съ 1894 года.

Но раньше этого желѣзо-бетонныя трубы получили обширное примѣненіе для устройства водоснабженія въ слѣдующихъ городахъ.

1) Въ Венеціи (1890 г.) водопроводъ San-Ambrogio длиною 6495 м. діаметромъ 0,80 м. при толщинѣ стѣнокъ трубъ 0,037 м. и внутреннемъ давлениі до 7,40 м.

2) Въ Boulogne sur Seine (1892 г.)—140 м. діаметромъ 0,40 м. и при внутреннемъ давлениі 2 м.

3) Blandan (Алжиръ, 1892—1893 г.):

Сифоны:

a)	1623	м.	діаметр.	0,600	м.	толщ.	стѣн.	0,040	м.,	давлен.	13,80	м.
б)	645	"	0,600	"	"	0,040	"	"	"	13	"	
в)	1738	"	0,600	"	"	0,040	"	"	"	18	"	
г)	943	"	0,600	"	"	0,045	"	"	"	24	"	
д)	608	"	0,600	"	"	0,040	"	"	"	8,50	"	

4) Morris et Bone (Алжиръ, 1894—1895 г.).

Сифоны:

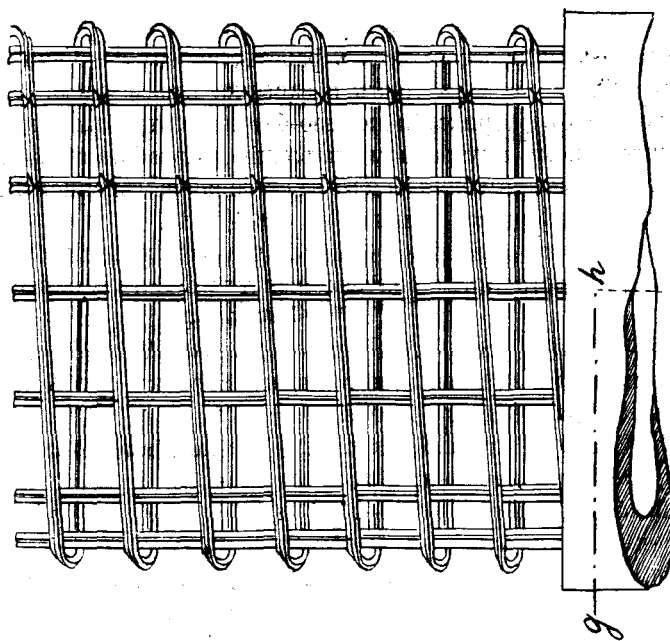
	Длина.	Діаметръ трубъ.	Толщина стѣ- нокъ трубы.	Давленіе.
a)	1650	м.	0,300	м.
б)	462	"	0,600	"
в)	625	"	0,600	"
г)	26 578	"	0,600	"
	2 963	"	0,600	"
			0,045	"
			18	"

5) Alfortville, Maison et Gréteil (1893—1894 г.) 4810 м., діаметромъ 0,500 м., при толщинѣ стѣнокъ трубъ 0,045 м. и давлениі въ нихъ 18 м.

Въ общемъ получается 48 250 м. желѣзо-бетонныхъ трубъ, подверженныхъ внутреннему давленію до 24 м. (2,4 атмосферы).

Послѣ ряда опытовъ пришлось отказаться отъ отливки трубъ съ раструбами, главнымъ образомъ, въ виду трудности сохранить ихъ въ исправности при перевозкѣ такихъ тяжелыхъ трубъ. Оказалось болѣе удобнымъ соединять цилиндрическія трубы помошью желѣзо-бетонныхъ колецъ, прикрывающихъ сты-

Фиг. 3.



ки и соединенныхъ съ трубами такимъ-же быстро-схватывающимся цементомъ.

Въ общихъ чертахъ фабрикація трубъ діаметромъ до 1,5—2 метровъ сводится:

1) Къ приготовленію металлическаго остова изъ желѣзныхъ или стальныхъ полосъ двутавровой профиля, изогнутыхъ по винтовой линіи (фиг. 3.) и скрѣпленныхъ такими-же продольными полосами, расположеннымми по производящимъ. Эти полосы привязываются проволокой къ каждому витку, препятствуя измѣненію разстояній между ними и, вообще, придаютъ требуемую жест-

кость всему оставу. Въ то-же время прямая полосы сопротивляются продольному изгибу трубы и вмѣстѣ съ витками изогнутой полосы образуютъ небольшія клѣтки, которая доставляютъ надежащую прочную опору для бетона, окружающаго оставъ и подверженнааго внутреннему или вѣшнему давленію.

2) Къ отливкѣ, имѣющей цѣлью образовать бетонныя стѣнки трубы, окружающія металлическій оставъ.

Для получения вполнѣ правильной винтовой линіи, желѣзныя (стальныя) полосы прокатываются въ холодномъ состояніи помощью особыхъ станковъ, дающихъ возможность изменять радиусъ и шагъ винтовой полосы. Сообразно требуемой длине трубы, одна или пѣсколько изогнутыхъ полосъ нанизываются на горизонтальный деревянный барабанъ; витки изогнутой полосы, постѣ повѣрки разстоянія между ними, скрѣпляются продольными полосами посредствомъ проволочныхъ перевязокъ. Для усиленія концовъ трубы, уменьшаютъ постепенно разстояніе между несколькими крайними витками.

Для определенія поперечнаго сѣченія S изогнутой полосы и разстоянія E между ея витками примѣнялись слѣдующія практическія формулы:

$$e = \frac{1,033 \cdot n \cdot d}{2 \cdot k}, \quad \dots \dots \dots \quad (1)$$

гдѣ: e — выражаетъ въ сантиметрахъ толщину стѣнки воображаемой стальной или желѣзной трубы, способной оказать при некоторой длине E то-же сопротивленіе, какъ одинъ витокъ изъ полосы искомаго поперечнаго сѣченія S ;

n — давленіе въ атмосферахъ,

d — внутренній диаметръ трубы въ сантиметрахъ,

k — прочное сопротивленіе матеріала винтовой полосы.

Сопротивленіе растяженію бетона не принималось во вниманіе.

Приравнявъ сопротивленіе этой воображаемой трубы сопротивленію одного витка при разстояніи между смежными витками равномъ E , получимъ

$$E \cdot e = S. \quad \dots \dots \dots \quad (2)$$

По этой формулѣ, зная величину e изъ первого уравненія, можно определить поперечное сѣченіе полосы S , задавшись извѣстнымъ разстояніемъ E между витками, или, обратно, — получить шагъ винтовой линіи E при данномъ сѣченіи S .

При устройствѣ водопровода въ Бопе'ѣ (Алжиръ) изъ желѣзо-бетонныхъ трубъ диаметромъ $d_t = 0,600$ м., подверженныхъ

внутреннему давлению отъ 15 м. до 25 м., были примѣнены двутавровыя полосы высотою 12 mm, вѣсомъ 0,212 kg. погон. метръ при поперечномъ сѣченіи 0,2688 см².

При толщинѣ бетонной стѣнки 0,04 м. внутренній діаметръ винтовой спирали $d=0,638$ м.

Давленію 15 м. соотвѣтствуетъ $n = 1,5$ атм.. Подставляя данные величины въ формулу (1), получимъ:

$$e = \frac{1,033 \cdot 1,5 \cdot 63,8}{2 \cdot 1500} = 0,03295 \text{ см.}$$

(1500 kg/cm^2 выражаетъ прочное сопротивление стали растяженію).

Изъ формулы (2) слѣдуетъ, что искомое разстояніе между витками

$$E = \frac{S}{e} = \frac{0,2688}{0,03295} = 8,158 \text{ см.}$$

При внутреннемъ давлениі 25 м. толщина бетонныхъ стѣнокъ трубы увеличена до 4,5 см.; при той-же профиляхъ полость внутренній діаметръ винтовой спирали

$$d = 0,642 \text{ м.}$$

Поэтому

$$e = \frac{1,033 \cdot 2,5 \cdot 64,2}{2 \cdot 1500} = 0,05527 \text{ см.}$$

и разстояніе между витками

$$E = \frac{0,2688}{0,05527} = 4,86 \text{ см.}$$

Сопротивление бетона растяженію, какъ сказано выше, не принимается въ расчетъ. Толщина бетонныхъ стѣнокъ опредѣляется слѣдующими условіями:

1) Металлическія части остава должны быть покрыты слоемъ бетона, предохраняющимъ ихъ отъ разрушительного дѣйствія воды, для чего достаточна толщина его 1—2 см.

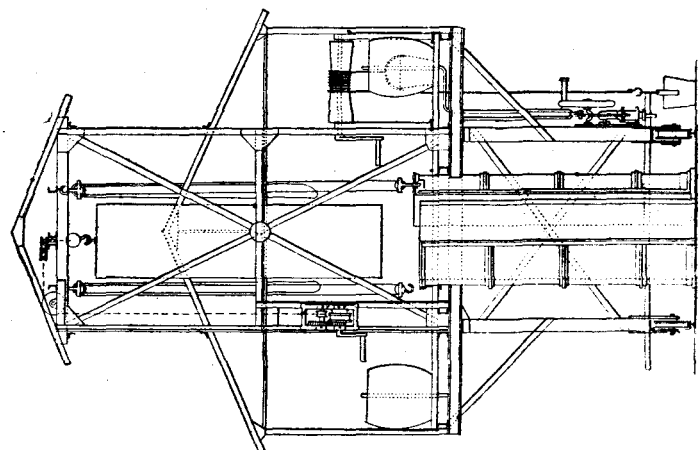
2) По мѣрѣ увеличенія внутренняго давленія, стѣнки трубъ утолщаются для полученія возможно полной непроницаемости, зависящей отъ состава бетона и, главнымъ образомъ, отъ количества цемента.

Въ общемъ, отливка трубъ производится слѣдующимъ образомъ.

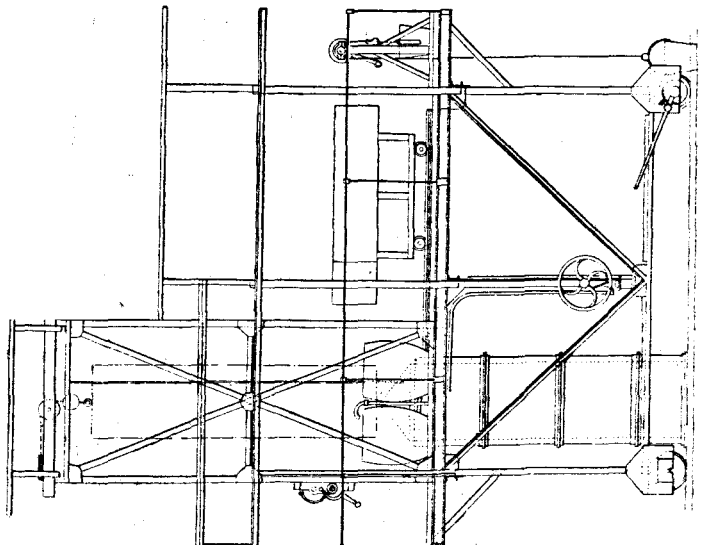
На ровной мѣстности располагается желѣзно дорожный путь шириной до 2-хъ м. для передвиженія особой вышки (фиг. 4, 5 и 6.) съ платформой, расположенной на высотѣ почти равной длине трубъ, т. е. около 3-хъ метр. Вышка снабжена приспособленіями, необходимыми: 1) для ея передвиженія (фиг. 4 и 5), 2) для подъема

и опусканиія металлическихъ формъ, 3) для подъема необходимыхъ материаловъ, и 4) твориломъ, бочками и пр. для приготовленія быстро-схватывающагося раствора (фиг. 5 и 6).

Фиг. 5.



Фиг. 4.



Формы для отливки состоять изъ:

- 1) изъ разборчатаго наружнаго цилиндра (фиг. 8).
- 2) внутренняго раздвижного цилиндра (фиг. 7), снабженного

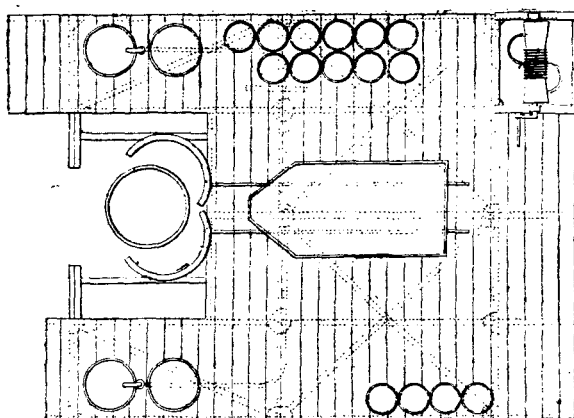
распорками, измѣняющими его діаметръ при вращеніи стержня, расположеннаго по оси формы, и

3) конического колпака, покрывающаго внутренній цилиндръ (фиг. 7) и служащаго для равномѣрнаго распределенія жидкаго бетона, вытекающаго изъ творила.

По оси пути въ каждой шпалѣ имѣется отверстіе, облегчающее правильную сборку и установку формъ. Принимая его за центръ, располагаютъ кольцо изъ желѣза, ширина котораго равна толщинѣ отливаемой бетонной трубы; на кольцо устанавливаютъ оставъ, опускаютъ внутрь его раздвижной цилиндръ такъ, чтобы конецъ осевого стержня вышелъ въ отверстіе шпалы.

Вращая затѣмъ стержень, увеличиваютъ діаметръ раздвиж-

Фиг. 6.

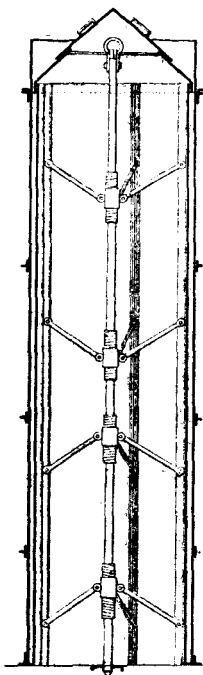


ного цилиндра настолько, чтобы его наружная поверхность у основанія плотно прилегала къ внутреннему ребру кольца, опредѣляющему внутренній діаметръ трубы. Всльдъ за этимъ устанавливаютъ наружную разборчатую форму такъ, чтобы она охватила съ вѣшней стороны то-же кольцо. Металлическій оставъ удерживается вверху въ надлежащемъ положеніи помошью деревянныхъ клиньевъ. Во время этой сборки формы приготовляютъ растворъ въ количествѣ необходимомъ для отливки одной трубы и затѣмъ выпускаютъ его изъ творила на конический колпакъ. Жидкій растворъ изъ быстро-схватывающагося цемента заполняетъ промежутокъ между внутреннимъ и вѣшнимъ цилиндрами и плотно прилегаетъ къ металлическому оству. Деревянные клинья,

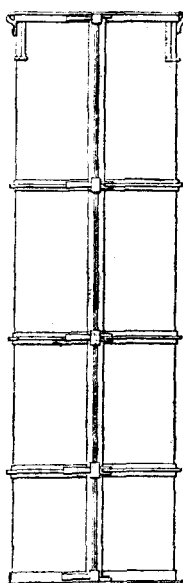
удерживавши оставъ, вынимаются, и бетонъ разравнивается допатками по обрѣзу трубы.

Вслѣдъ затѣмъ уменьшаютъ діаметръ внутренняго цилиндра, вращая центральный стержень, поднимаютъ этотъ цилиндръ (фиг. 4 и 5) поверхъ платформы и передвигаютъ вышку къ мѣсту отливки слѣдующей трубы, гдѣ и производятъ описанную выше сборку. Наружная форма снимается черезъ 15—20 минутъ.

Фиг. 7.



Фиг. 8.



По снятіи формы труба остается въ вертикальномъ положеніи на мѣстѣ отливки въ теченіе 3-хъ дней, т. е. пока не произойдетъ полное схватываніе цемента, а затѣмъ, помошью подвижного крана, укладывается на вагонетки для отвозки въ депо или къ мѣсту укладки.

Описанное устройство даетъ возможность приготовлять въ 1 часъ три трубы діаметромъ отъ 0,65 м. до 1,00 м. и длиною 3 м., что составляетъ въ 1 день (12 рабочихъ часовъ): 3.3. 12=108 погон. метровъ при числѣ рабочихъ отъ 8 до 11 человѣкъ.

Для ускоренія производства можно уширить путь для пере-

движения вышки настолько, чтобы отливать одновременно по двѣ трубы.

Желѣзо-бетонныя кольца для скрѣпленія стыковъ трубъ отливаются въ подобныхъ-же формахъ, какъ и трубы. Внутренній діаметръ кольца на 3—4 см. больше наружнаго діаметра трубъ ширина-же кольца отъ 20 до 25 см.,

въ зависимости отъ діаметра. При устройствѣ стыка зазоръ между внутренней поверхностью кольца и наружными поверхностями соединяемыхъ трубъ заполняется жидкимъ растворомъ изъ 1 части (по объему) песку и 1 части быстроСхватывающагося цемента.

Составъ бетона для отливки трубъ и колецъ—700 kg. быстроСхватывающагося цемента на 1 куб. метръ песку.

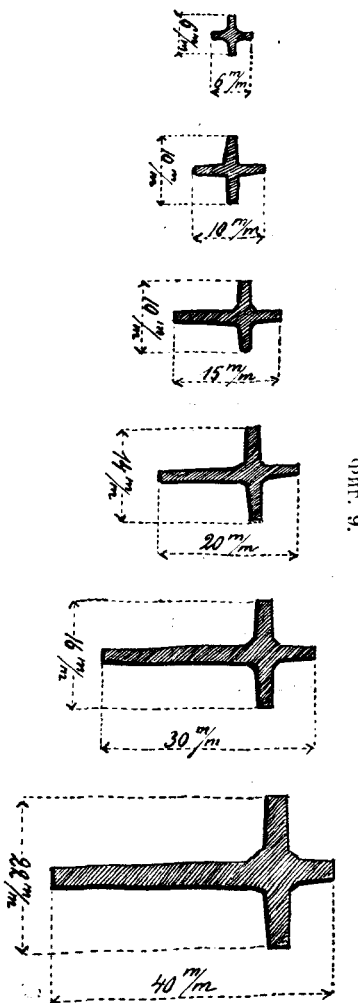
Для отвода сточныхъ водъ Парижа на поля орошения возлѣ Triel'я и Мегу проложено въ теченіе 1898 года до 25 километровъ стале-бетонныхъ трубъ подобной-же системы, съ тою только разницей, что двутавровое сѣченіе остова замѣнено сталью крестообразнаго сѣченія, размѣры и формы котораго приведены на фиг. 9.

Но подобная профиль менѣе выгодна, чѣмъ двутавровая, такъ какъ:

1) при той-же площасти попечнаго сѣченія моментъ инерціи крестообразной формы меньше, чѣмъ двутавровой;

2) при деформаціи остова вертикальныя ребра крестообразнаго сѣченія стремятся разрѣзать бетонъ, дѣйствуя подобно клиньямъ, и

3) скрѣпленіе продольныхъ полосъ съ винтовой полосой остова не такъ жестко и удобно, какъ при другихъ профиляхъ. Введеніе указанной крестообразной профили объясняется чисто спекулятивными цѣлями и было достаточно для получения па-

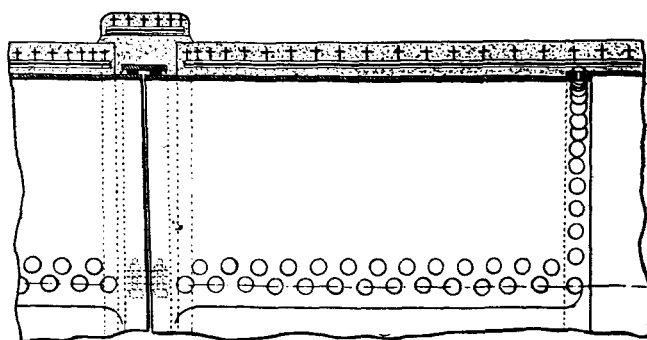


тента на новую систему стале-бетонныхъ трубъ. Всѣ устройства и приемы для приготовленія этихъ трубъ ничѣмъ не отличаются отъ описанныхъ выше.

Трубы подобнаго устройства примѣнены для распределенія сточныхъ водъ Парижа по полямъ орошенія возлѣ Триелья и Мегу при внутреннемъ давленіи до 13 м. и при внутреннемъ діаметрѣ 2 м.; 1,25 м.; 1,10 м., 1,00 м.; 0,80 м., 0,60 м. и 0,40 м. Въ случаѣ давленія большаго 13 м., для устраненія фильтраціи сточныхъ водъ черезъ бетонныя стѣнки, примѣнены тонкіе стальныя листы, прилегающіе къ внутренней поверхности трубы описанного устройства, или-же тѣ-же листы расположены внутри стѣнокъ ея между двумя металлическими оставами.

При діаметрахъ, большихъ 1,5 м., металлическій оставъ со-

Фиг. 10.



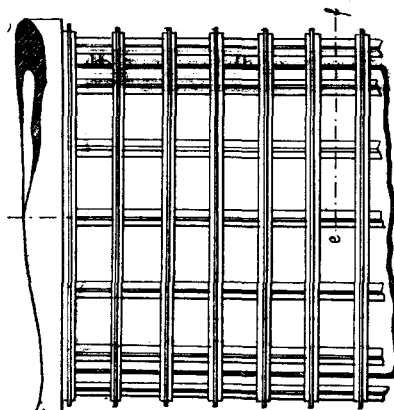
ставленъ изъ отдѣльныхъ колецъ указанной крестообразной профиля, связанныхъ продольными прямymi полосами. Какъ примѣръ устройства подобныхъ трубъ, можно привести каналъ вблизи Argenteuil (Парижъ) длиною 1500 м., діаметромъ 1,80 м., составленный изъ отдѣльныхъ трубъ длиною 2,50 м. Часть этихъ трубъ, подверженныхъ давленію отъ 13,60 м., до 15,35 м., снабжена внутренней трубой изъ листовой стали толщиною 3,5 мм. (фиг. 10), а при давленіи большемъ 15,35 м.—подобной-же трубой толщиною 4,5 мм.

Металлическій оставъ составленъ изъ отдѣльныхъ стальныхъ колецъ крестообразной профиля, размѣра 40—22—3 мм. (см. фиг. 11); разстояніе между кольцами при давленіи 17—22 м. равно 9 см., при давленіи 7 м.—равно 20 см.; разстояніе между продольными полосами равно разстоянію между кольцами.

Внутренняя стальная труба составлена изъ 4-хъ стальныхъ листовъ, соединенныхъ заклепками (фиг. 10).

Приготовление такихъ стале-бетонныхъ трубъ, въ общемъ, ничѣмъ не отличается отъ описанныхъ выше; въ данномъ случаѣ при отливкѣ роль внутренняго цилиндра формы исполняетъ *стальная труба*. Стыки этихъ трубъ устроены слѣдующимъ образомъ. Концы внутренней стальной трубы выступаютъ относительно бетонныхъ стѣнокъ на 6 см. (фиг. 10). Стыкъ стальныхъ трубъ покрывается каучуковымъ кольцомъ съ двумя ребрами, поверхъ котораго располагается другое кольцо, составленное изъ трехъ стальныхъ полосъ съ загнутыми концами, соединенныхъ болтами. Подвинчивая гайки болтовъ, можно получить надлежащее сжатіе каучукового кольца.

Фиг. 11.



Въ 1893 г. инженеръ Launay произвелъ испытаніе стале-бетонной трубы діаметромъ 0,50 м., составленной изъ стальной трубы толщиною 1 мм., помѣщенной внутри стале-бетонной, оставь которой быть сдѣланъ изъ полосы крестообразнаго сѣченія, изогнутой по винтовой линіи ¹⁾). Толщина стѣнокъ бетонной трубы 3,5 см; составъ бетона: 1 часть цемента на 1 часть (по объему) песку.

Труба разсчитана на давленіе 20 метровъ. При постепенномъ увеличеніи давленія наблюдалось легкое просачивание воды по линіи заклепокъ внутренней стальной трубы при давленіи 118 м. (11,8 атм.).

При давленіи 120 м. пришлось прекратить опытъ вслѣдствіе порчи одной изъ чугунныхъ крышекъ. Вслѣдъ затѣмъ труба

вслѣдъ за тѣмъ на стыкъ надвигается стале - бетонное кольцо шириной 28 см. толщиною 8 см. (фиг. 10) такого же устройства, какъ и стѣнки трубы, по внутренній діаметръ котораго на 3—4 см. больше вѣнчнаго діаметра трубы.

Удерживая это кольцо въ надлежащемъ положеніи, заливаютъ весь стыкъ жидкимъ растворомъ изъ быстро-схватывающагося цемента. Подобное устройство стыковъ оказалось на практикѣ очень прочнымъ и непроницаемымъ для воды.

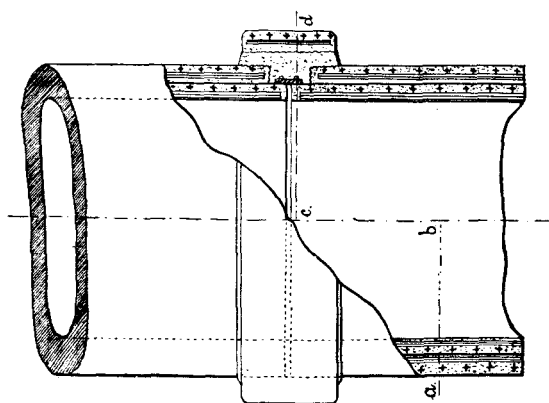
¹⁾ Le Génie Sanitaire № 1, 1896 г.

была разрѣзана, и выяснилось, что наружная сталь-бетонная труба не была вовсе повреждена и связь ея со внутренней стальной оказалась вполнѣ прочной. Въ трубахъ подобного устройства внутренняя стальная обертка назначается только для устраненія фильтраціи черезъ стѣнки сталь-бетонной трубы, и сопротивленіе ея внутреннему давлению не принимается въ расчетъ. Но въ действительности сталь подвержена разрушительному дѣйствію сточныхъ водъ, хотя въ меньшей степени, чѣмъ чугунъ и жѣлезо.

Для предохраненія подобной обертки отъ ржавчины предложено было располагать стальные листы въ бетонныхъ стѣнкахъ трубы между двумя оставами изъ жѣлезныхъ полосъ, изогнутыхъ по винтовой линіи (фиг. 12).

Трубы подобного устройства діаметромъ 1,10 м., 1,00 м.,

Фиг. 12.



0,80 м., 0,60 м. и 0,40 м. примѣнены для распределенія сточныхъ водъ Парижа по полямъ орошениі d'Achères при общей длине сѣти 14 000 м. и при внутреннемъ давлениі до 40 м. (4 атм.).

Расположеніе стальныхъ листовъ въ бетонныхъ стѣнкахъ вполнѣ обезпечиваетъ ихъ отъ ржавчины, вслѣдствіе чего можно съ большей увѣренностью разсчитывать не только на отсутствіе фильтраціи, но также и на сопротивленіе внѣшнимъ силамъ. Внутреннее давление распредѣляется ими равномѣрно между всѣми частями наружного остава; бетонъ, заполняющей клѣтки остава, подверженъ меньшимъ напряженіямъ и не можетъ быть выбитъ при значительномъ внутреннемъ давлениі.

Съ теоретической точки зреінія расположеніе сплошныхъ стальныхъ листовъ въ стѣнкахъ трубы невыгодно, такъ какъ раздѣляетъ всю массу бетона на двѣ концентрическія трубы

вслѣдствіе чего при значительныхъ деформаціяхъ могутъ получиться отколы бетона.

Для увеличенія упругости подобной сплошной прокладки и уменьшенія ея вреднаго вліянія на стѣнки трубы, стальные листы соединены лежачими фальцами (фиг. 13 и 14).

Отливка трубъ въ общемъ производилась подобно описанному выше.

Для устройства стыка стальные листы обнажены по концамъ каждой трубы на ширину 5 см.; особая каучуковые прокладки, стянутыя наружными стальными кольцами (фиг. 12), прикрывали

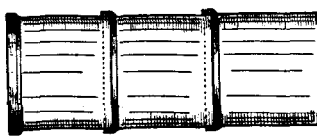
Фиг. 13.



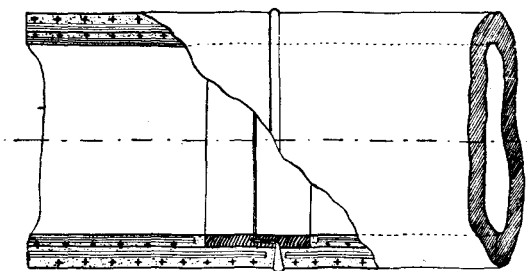
Фиг. 14.



Фиг. 15.



Фиг. 16.



стыкъ стальныхъ листовъ; поверхъ бетонныхъ трубъ располагались стальное-бетонные кольца, а затѣмъ производилась заливка стыка жидкимъ растворомъ изъ быстро-схватывающагося цемента. Въ нѣкоторыхъ мѣстахъ были устроены другого рода стыки, допускающіе измѣненіе длины и нѣкоторое вращеніе трубъ.

Для этого къ внутренней поверхности стальныхъ листовъ (фиг. 16) припаивались по концамъ трубы особая чугунная кольца, стыкавшіяся по конической поверхности съ нѣкоторымъ зазоромъ, заполненнымъ суриковой замазкой. Съ наружной стороны стыкъ бетонныхъ трубъ заполнялся цементнымъ растворомъ. Подобнаго

рода стыки примѣняются въ Англіи при укладкѣ чугунныхъ канализационныхъ трубъ и дали прекрасные результаты.

Расположеніе стальныхъ листовъ въ бетонныхъ стѣнкахъ трубъ между двумя оставами вполнѣ обезпечиваетъ эти прокладки отъ ржавчины, но, съ другой стороны, какъ-бы раздѣляетъ всю массу бетона на двѣ концентрическія трубы и вводить нѣкоторую неопредѣленность въ распределеніи сопротивленія между внутреннимъ и наружнымъ оставомъ.

Поэтому при практическомъ расчетѣ трубъ этого типа принималось во вниманіе только сопротивление внѣшняго остава, составленного изъ стальныхъ полосъ крестообразнаго сѣченія изогнутыхъ по винтовой линіи, и продольныхъ прямыхъ полосъ той-же профиля, прикрепленныхъ къ виткамъ проволочными перевязками.

Разстояніе между витками E опредѣлялось по формулѣ:

$$E = \frac{S \cdot 2 R}{H \cdot D}$$

гдѣ: S —поперечное сѣченіе въ тм. изогнутыхъ стальныхъ полосъ

R —прочное сопротивленіе стали растяженію,

H —внутреннее давленіе воды, выраженное въ метрахъ.

D —диаметръ трубы въ метрахъ.

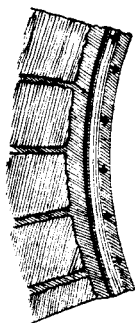
Въ дѣйствительности внутренній желѣзный оставъ и стальные листы принимаютъ также нѣкоторое участіе въ общемъ сопротивленіи трубы, поэтому при подобномъ расчетѣ получается значительный излишекъ желѣза, являющійся слѣдствіемъ той неопредѣленности въ распределеніи силъ, которую вводить примѣненіе внутреннихъ стальныхъ листовъ.

Въ этомъ отношеніи, для полученія полной непроницаемости желѣзо-бетонныхъ трубъ, выгоднѣе примѣнить тонкіе свинцовые листы, составляющіе внутреннюю обертку, сопротивляющуюся наиболѣшимъ образомъ химическому дѣйствию сточныхъ водъ. Тонкіе свинцовые листы, при мягкости и тягучести этого материала, не могутъ имѣть значительного вліянія на распределеніе внутреннихъ силъ въ стѣнкахъ трубъ, поэтому является большая вѣроятность избѣжать излишка желѣза при расчетѣ.

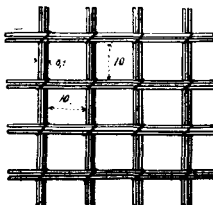
Какъ примѣръ примѣненія свинцовыхъ листовъ для полученія непроницаемыхъ для воды каналовъ, можно привести внутреннее устройство стѣнокъ канала около Frette, входящаго въ составъ канализационной сѣти Парижа. Длина арочнаго aqueduc'a 93 м., диаметръ (внутренній) цилиндрическаго канала 3 м., толщина каменныхъ стѣнокъ его 0,30 м.

Внутренняя поверхность канала была покрыта тонкимъ слоемъ штукатурки изъ цементнаго раствора (фиг. 17), поверхъ которой располагались свинцовые листы толщиною 0,8 mm., а затѣмъ сѣтки изъ тонкихъ желѣзныхъ полосъ крестообразнаго поперечнаго сѣченія (фиг. 17 и 18), связанныхъ проволочными перевязками. Слой цементнаго раствора толщиною 3 см. предохраняетъ желѣзо отъ разрушительнаго дѣйствія сточныхъ водъ, а свинцовые листы— отъ порчи при чисткѣ канала и проходѣ рабочихъ. Въ общемъ желѣзная сѣтка съ цементнымъ растворомъ образуютъ отдѣльную внутреннюю трубу, независимую отъ окружающей каменной кладки и обладающую большей упругостью. Вслѣдствіе этого всѣ неизбѣжныя измѣненія объема каменной кладки канала, вызываемыя осадкой или перемѣнами температуры, не нарушаютъ полной непроницаемости канала. Надъ опорами арокъ пролетомъ 20 м.,

Фиг. 17.



Фиг. 18.



вслѣдствіе рѣзкихъ измѣненій температуры, получились въ кладкѣ вертикальныя трещины, открывающіяся зимой и исчезающія лѣтомъ, но, благодаря указанному внутреннему устройству канала, не наблюдается никакой течи или фільтраціи сточныхъ водъ.

Свинцовая внутренняя обертка, не покрытая описанной же-лѣзо-бетонной сѣткой, примѣнена также въ aqueduc' d'Arcueil парижской сѣти.

Кромѣ канализациіи Парижа, желѣзо-бетонныя трубы съ внутренней стальной оберткой получили примѣненіе при устройствѣ новаго водопровода въ городѣ Nîmes'ѣ.

Чугунный водопроводъ діаметромъ 0,80 м., построенный въ 1872 г., рѣшено было замѣнить новымъ желѣзо-бетоннымъ діаметромъ 0,90 м., вслѣдствіе частыхъ поврежденій (разрывовъ) чугунныхъ трубъ и уменьшенія ихъ діаметра, благодаря образованію наростовъ на внутреннихъ стѣнкахъ.

Новый водопроводъ, длиною 1 километръ, назначался для подъема воды изъ Роны въ водонапорную башню помошью двухъ насосовъ, подающихъ въ сутки 24 000 куб. метровъ воды; раз-счетное давлениe въ трубахъ 100 м. (10 атм.).

Трубы состояли:

1) изъ внутренней стальной трубы, толщина стѣнокъ которой равна 6 мм.;

2) наружнаго стального остова изъ полости крестообразной профиля, изогнутыхъ по винтовой линіи, скрѣпленной такими же прямыми полосами, и

3) цементнаго раствора состава 750 kg. на 1 куб. метръ песку, покрывающаго стальную трубу и остовъ.

Длина трубъ 7,50 м. при внутреннемъ диаметрѣ 0,90 м. Отливка ихъ производилась подобно описанному выше, въ особыхъ траншеяхъ глубиною 5 м.

Соединеніе трубъ производилось помошью каучукового, стальнаго и желѣзо-бетоннаго колецъ, согласно описанному для трубъ съ внутренней стальной оберткой.

Въ теченіе нѣсколькихъ первыхъ дней эксплоатациі было замѣчено слабое просачивание воды въ нѣкоторыхъ трубахъ, что было вызвано плохой склепкой стальныхъ листовъ, но вслѣдъ затѣмъ просачивание прекратилось и водопроводъ остался вполнѣ исправнымъ въ дальнѣйшей службѣ.

Изъ всего изложеннаго можно сдѣлать заключеніе, что сталь-бетонные трубы могутъ получить примѣненіе при устройствѣ канализациі и водоснабженія городовъ. Сталь, подверженная непосредственному дѣйствию водъ, окисляется въ меньшей степени, чѣмъ желѣзо и чугунъ; широкое примѣненіе стальныхъ трубъ для газопровода (la Cie Parisienne du gaz) показало, что сталь подвержена вообще сравнительно ничтожному окислению. При надлежащемъ же сочетаніи съ бетономъ, сталь и желѣзо вполнѣ предохранены отъ ржавчины и могутъ оказать полное сопротивленіе дѣйствію вѣнчанихъ силъ. Упругость сталь- или желѣзо-бетонныхъ трубъ дѣлаетъ ихъ мало чувствительными къ осадкѣ земли и, вообще, къ тѣмъ условіямъ, которые вызываютъ частыя разстройства чугунныхъ сѣтей. Простота и легкость всѣхъ работъ и приспособленій для фабрикаціи такихъ трубъ позволяютъ производить ихъ быструю заготовку на мѣстѣ укладки и употреблять мѣстный материалъ. Этими условіями опредѣляется значительная экономія при примѣненіи такихъ трубъ (15%—45%) сравнительно съ чугунными.

¹⁾ См. „Le Ciment“, 1898 г. № 6.

Въ прилагаемой таблицѣ приведены главнѣйшія данныя для трубъ стале-бетонныхъ со стальными листами, расположеными между двумя остовами:

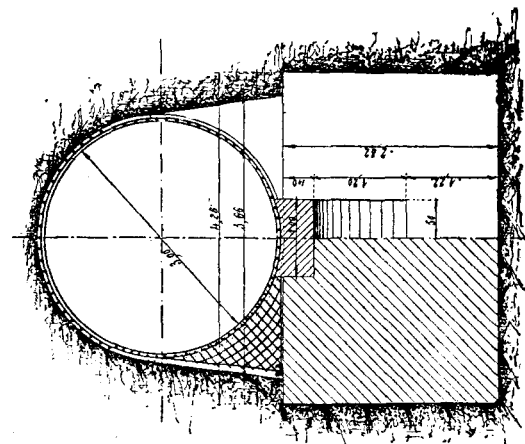
Данныя для трубъ, расположенныхъ на поляхъ орошения д'Ачера.	Внутренній диаметръ трубъ въ метрахъ.				
	1,10	1,00	0,80	0,60	0,40
Длина	3,00	3,00	3,00	3,00	3,00
Наружный диаметръ	1,24	1,13	0,92	0,71	0,49
Толщина стѣнокъ трубъ . . .	0,070	0,065	0,060	0,055	0,048
Вѣсъ трубъ въ килограммахъ.	2130	1695	1235	830	490
Толщина стальныхъ листовъ.	0,0006	0,0006	0,0006	0,0003	0,0006
Внутренній диаметръ стальной трубы	1,15	1,05	0,85	0,65	0,45
Число витковъ наружной и внутренней винтовой полосы остова	60	60	52	52	50
Вѣсъ 1 погон. метра полосъ крестообразной профили . .	0,585 299	0,685 255	0,410 180	0,410 111	0,210 56
<i>Кольца для стыковъ трубъ:</i>					
Длина	0,20	0,20	0,20	0,20	0,20
Внутренній диаметръ	1,29	1,18	0,97	0,76	0,53
Внѣшній диаметръ	1,42	1,30	1,08	0,86	0,61
Толщина кольца	0,065	0,06	0,055	0,05	0,04
Вѣсъ кольца (килограм.) . .	160	130	110	70	35
Вѣсъ металла	18	14,7	10,5	6	3
Стоимость полной укладки при глубинѣ ровъ отъ 1,34 до 2,24 м. (франковъ на 1 пог. метръ	90	70	42	33	19

Практика показала, что укладка стале-бетонныхъ трубъ длиною 3 м. производится безъ особыхъ затрудненій при диаметрѣ ихъ 1,10 м.—1,25—1,5 м. При большихъ-же диаметрахъ вѣсъ трубъ получается настолько значительнымъ, что требуются сложныя механическія приспособленія для перевозки и укладки трубъ и теряется одна изъ выгодъ этой системы—быстрота устройства сѣти.

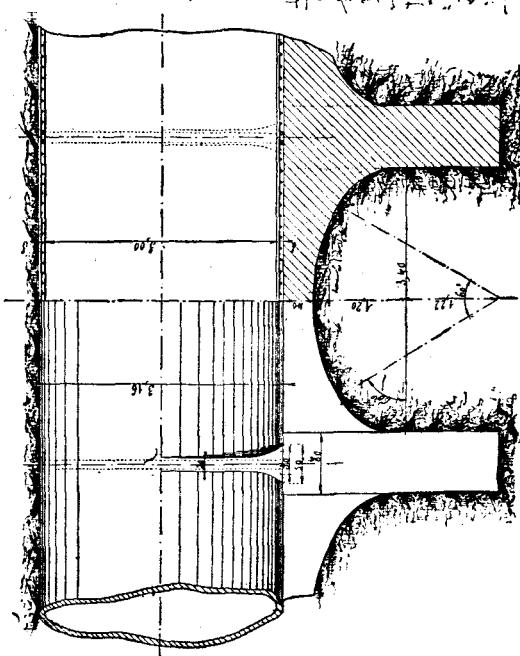
При внутреннемъ диаметрѣ каналовъ 2 м. и больше, выгоднѣе производить работу тѣмъ-же способомъ, какъ вообще при устройствѣ желѣзо-бетонныхъ сооруженій, примѣняя обыкновенный медленно-схватывающійся цементъ.

Примѣромъ можетъ служить каналъ діаметромъ 3 м., длиною 2351 м., входящій въ составъ парижской канализационной сѣти вблизи Argenteuil'я (фиг. 19 и 20).

Фиг. 20.



Фиг. 19.



Бетонные стѣнки толщиною 0,08 м. покрываютъ металлическій оставъ изъ продольныхъ и поперечныхъ стальныхъ прутьевъ діаметромъ 0,008 м., расположенныхъ на разстояніи 0,11 м. При та-

кожъ устройствъ въсъ 1 погон. метра канала равенъ 1 тоннъ и оказался въ 18 разъ меньше въса каменнаго канала того-же диаметра при толщинѣ кладки въ замкѣ 0,30 м. и у опоръ 0,60 м.

Но и при такомъ сравнительно маломъ въсъ опасались осадки слабаго грунта, вслѣдствіе которой могли получиться трещины и вообще поврежденія канала, и поэтому были приняты слѣдующія мѣры.

1) При расчетѣ стѣнокъ канала общее сѣченіе всѣхъ поперечныхъ прутьевъ принято равнымъ поперечному сѣченію сплошной стальной трубы, способной оказать полное сопротивленіе всѣмъ силамъ, дѣйствующимъ на стѣнки канала. Принимая во вниманіе сопротивленіе продольныхъ прутьевъ и бетона, получается въ дѣйствительности значительный запасъ прочности.

2) Часть канала длиною 561,40 м. поддерживалась бетоннымъ фундаментомъ, толщина котораго измѣнялась въ зависимости отъ свойствъ грунта. Кроме **того** черезъ каждые 3,20 м. были расположены особые желѣзо-бетонные контрь-форсы (фиг. 19 и 20); высота ихъ 1,5 м., толщина 0,20 м. Контрь-форсы эти упираются въ бетонные массивы 4,26 м. шириной и 0,80 м. толщиной; высота-же ихъ (глубина заложенія) измѣняется въ зависимости отъ свойствъ грунта. Въ нѣкоторыхъ мѣстахъ эти фундаменты поддерживаютъ эллиптическія бетонныя арки толщиною 0,40 м., служащи опорами для канала.

Металлическій остовъ контрь-форсовъ состоитъ изъ двухъ стальныхъ полосъ диаметромъ 16 шт., изогнутыхъ по вѣнчальному очертанію канала и контрь-форса. Концы этихъ полосъ упираются въ куски желѣза желобчатый профиля, вѣланые въ бетонный массивъ основанія. Изогнутыя полосы контрь-форсовъ соединены съ соответствующими поперечными прутьями канала посредствомъ сѣтки изъ стальной проволоки диаметромъ 4 mm.

Бетонъ для контрь-форсовъ и стѣнокъ канала составленъ изъ 450 kg. медленно-схватывающагося цемента на 1 куб. метръ песку; внутренняя и наружная поверхности покрыты цементной штукатуркой толщиною 1 см.

Фундаменты, арки и контрь-форсы безъ металлическаго остова возведены изъ бетона, составленного изъ 3-хъ частей гравія и 2-хъ частей раствора, содержащаго 400 kg. цемента на 1 куб. метръ песку.

Для водоснабженія Парижа (Compagnie Générale des Eaux) примѣнены также желѣзо-бетонные каналы диаметромъ 1,20 м., разсчитанные на внутреннее давленіе воды 4 м. и вѣнчальное давленіе насыпи высотою 2 м.

Часть этихъ каналовъ длиною 160 м. устроена изъ желѣзобетонныхъ трубъ длиною 3 м., оставъ которыхъ состоять: 1) изъ 31 желѣзныхъ прутьевъ толщиною 0,004 м., образующихъ отдельные направляющія кольца, 2) 40 продольныхъ прутьевъ діаметромъ 0,008 м., прикрепленныхъ къ кольцамъ проволочными перевязками, и 3) проволоки толщиною 0,002 м., охватывающей снаружи продольные прутья и расположенной по винтовой линіи.

Оставъ окружены бетонными стѣнками трубы толщиною 0,07 м.; составъ бетона 600 kg. цемента на 1 куб. метръ песку. Стыки трубъ скрѣплены желѣзо-бетонными кольцами длиною 0,35 м., оставъ которыхъ состоитъ изъ 4 направляющихъ колецъ и 45 продольныхъ прутьевъ тѣхъ-же размѣровъ, какъ и въ трубахъ.

Трубы заготовлялись въ особыхъ горизонтальныхъ формахъ.

Стоимость 1 пог. метра этихъ трубъ (не считая земляныхъ работъ) 43,75 франка.

Другая часть канала того же діаметра (1,2 м.) длиною 250 м. устроена въ видѣ одного непрерывнаго канала слѣдующимъ образомъ.

Металлический оставъ составленъ: 1) изъ желѣзныхъ прутьевъ толщиною 0,008, изогнутыхъ по винтовой линіи, и 2) прямыхъ продольныхъ прутьевъ, привязанныхъ къ каждому витку проволокой такъ, чтобы получились клѣтки размѣрамъ отъ 0,08 до 0,10 м.

Оставъ заготовляется частями длиною 4 м.; каждое такое звено опускалось на дно рва и, послѣ надлежащей укладки, продольные прутья его соединялись проволочными перевязками съ продольными прутьями подобной же части остава, уложенной раньше. Дно рва подготовлялось по очертанію наружной поверхности канала и служило какъ-бы готовой формой для устройства бетонныхъ стѣнокъ нижней половины канала; верхняя-же половина возводилась съ помощью переносныхъ кружалъ.

При такомъ способѣ устройства весь каналъ длиною 250 м. представляетъ какъ-бы одну монолитную трубу безъ стыковъ. Стоимость 1 пог. метра канала 42 франка. Весь ходъ работы ничѣмъ не отличается отъ способа возведенія обыкновенныхъ желѣзо-бетонныхъ сооруженій и не требуетъ механическихъ приспособленій, необходимыхъ для укладки трубъ того-же діаметра.

Изъ всего изложенного можно заключить, что желѣзо-бетонъ является материаломъ вполнѣ подходящимъ для устройства канализационныхъ и водопроводныхъ трубъ. Приведенные примѣры могутъ служить данными для выбора той или другой системы.

III. Примѣры устройства желѣзо-бетонныхъ резервуаровъ значительной емкости.

Съ теоретической точки зрења наивыгоднѣйшей формой для резервуаровъ является цилиндръ съ круговымъ основаніемъ, такъ какъ вертикальныя стѣнки его, подверженныя внутреннему давленію воды, работаютъ исключительно на растяженіе. Примѣнія въ данномъ случаѣ желѣзо-бетонъ, можно утилизировать полностью всю массу желѣза, подвергнаго растяженію и вполнѣ предохраненнаго бетономъ отъ ржавчины.

Простота и дешевизна устройства, возможность примѣнить имѣющее подъ рукой полосовое желѣзо и сравнительно ничтожные расходы на ремонтъ—составляютъ существенныя преимущества желѣзо-бетонныхъ резервуаровъ сравнительно съ желѣзными или каменными.

Наиболѣе интересными примѣрами подобныхъ резервуаровъ, отличающихся простотой устройства и значительной емкостью, являются желѣзо-бетонные резервуары, устроенные въ періодъ 1893—1897 гг. для водоснабженія Парижа (La compagnie g n rale des Eaux) емкостью отъ 200 до 4000 куб. метр.

Въ прилагаемой ниже таблицѣ указаны мѣста расположенія резервуаровъ, ихъ диаметръ, высота, емкость, стоимость и стоимость желѣзо-бетонныхъ работъ, отнесенная къ 1 куб. метру воды.

№	Мѣсто устройства.	Диаметръ въ метр.	Высота въ метрахъ.	Емкость въ куб. метр.	Стоимость въ фран.	Стоим. на 1 куб. метр. (франк.).
1	Plateau d'Avron.	8	4,25	200	2 675	13,37
2	Montreuil .	16	5,25	1000	8 700	8,70
3	Argenteuil .	16	5,25	1000	11 500	11,50
4	Aouilles .	16	5,25	1000	11 500	11,50
5	Taverny .	10	4,20	310	4 000	12,90
6	Champigny .	16	5,25	1000	14 800	14,80
7	Nogent sur Marne .	14	2,40	370	7 400	20,00
8	Choisy-le-Roi.	17	2,05	400	8 500	21,25
9	Chtillon № 1.	32	5,25	4000	47 000	11,75
10	Chtillon № 2.	32	5,25	4000	44 500	11,02

При этомъ №№ 1, 2, 3 и 4 представляютъ открытые резервуары, расположенные на мѣстномъ горизонте;

резервуаръ № 5 также безъ покрытія, но врытый цѣлникомъ въ землю;

резервуаръ № 6, закрытый, расположены на мѣстномъ горизонте;

№№ 7 и 8 также покрыты желѣзо-бетоннымъ сводомъ, но врыты въ землю;

наконецъ резервуары № 9 и 10 на $\frac{3}{4}$ высоты расположены ниже горизонта и поверхъ свода покрыты земляною насыпью.

Во всѣхъ этихъ случаяхъ бетонная стѣнка резервуаровъ заключаютъ металлическій оставъ, состоящей:

1) изъ горизонтальныхъ желѣзныхъ полосъ прямоугольнаго сѣченія, изогнутыхъ по дугѣ круга и расположенныхъ на взаимномъ разстояніи 0,25 м.; поперечное сѣченіе ихъ увеличивается по мѣрѣ приближенія ихъ къ дну резервуара пропорціонально гидростатическому давленію;

2) изъ вертикальныхъ связей желобчатой профиля, расположенныхъ черезъ каждые 3 м. и соединяющихъ всѣ горизонтальные полосы,

и 3) изъ желѣзныхъ прутьевъ толщиною отъ 0,006 м. до 0,008 м., заполняющихъ промежутки между вертикальными и горизонтальными полосами и образующихъ квадратныя клѣтки, стороны которыхъ равны 8 см.

Металлическій оставъ окружены бетонной стѣнкой, толщина которой измѣняется по высотѣ въ зависимости отъ гидростатического давленія.

Для резервуаровъ емкостью 1000 куб. метр. при высотѣ ихъ 5,25 м. толщина стѣнокъ 0,08 м. вверху и 0,12 м. у дна, для резервуаровъ той же высоты емкостью 4000 куб. метр. толщина стѣнокъ равна 0,10 м. вверху и 0,18 м. внизу. Составъ бетона (раствора) 750 kg. цемента на 1 куб. метръ песку.

При расчетѣ стѣнокъ принято во вниманіе только сопротивленіе желѣза растяжению, вызываемому внутреннимъ давленіемъ воды; вышеупомянутое давленіе земли, равно какъ и сопротивленіе бетона не включены въ расчетъ.

Поперечное сѣченіе S горизонтальныхъ полосъ опредѣлялось по формулѣ

$$S = \frac{2}{3} \cdot \frac{1000 \cdot h \cdot l \cdot r}{R},$$

въ которой:

r —внутренній радиусъ резервуара въ метрахъ.

l —расстояніе между осами горизонтальныхъ полосъ, выраженное въ метрахъ.

R —прочное сопротивление желѣза растяжению, отнесенное на 1 кв. метръ.

$\frac{2}{3}$ —практический коэффициентъ.

h —разстояніе отъ средины полосы до уровня воды.

Опредѣливъ по этой формулы поперечное сѣченіе полосы, остается подобрать наивыгоднѣйшее отношеніе между ея толщиной и шириной для удобнаго прикрепленія къ вертикальнымъ связямъ.

Желѣзный оставъ дна резервуаровъ составленъ изъ полосъ прямоугольнаго сѣченія, расположенныхъ по направлению радиусовъ и соединенныхъ: 1) въ центрѣ дна общей накладкой изъ листового желѣза, 2) по окружности стѣнокъ желобчатымъ желѣзомъ, къ которому прикреплены вертикальныя связи.

Промежутки между радиальными полосами заполнены сѣткой изъ желѣзныхъ прутьевъ толщиною 0,006 м., скрѣпленныхъ въ точкахъ пересѣченія проволочными перевязками.

Оставъ окруженъ бетономъ того-же состава, какъ для стѣнокъ; подъ этимъ дномъ устроено сплошное основаніе изъ болѣе тощаго бетона, толщина котораго измѣняется въ зависимости отъ свойства грунта.

Горизонтальныя полосы, образующія оставъ стѣнокъ, изгибаются точно по окружности и прикрепляются къ вертикальнымъ связямъ болтами; по длинѣ же эти полосы соединяются двумя накладками и заклепками при значительныхъ размѣрахъ резервуаровъ, или же болтами—въ случаѣ резервуаровъ малой емкости.

Для устройства бетонныхъ стѣнокъ устанавливаютъ съ вѣнчаной стороны остава вертикальная сплошнѣйшая доски, образующія форму для наружной поверхности резервуара.

Рабочіе размѣщаются съ внутренней стороны остава и помощью лопатокъ возводятъ бетонныя стѣнки слоями 3—4 см. такъ, чтобы металлическій оставъ быть вполнѣ покрытъ бетономъ при требуемой толщинѣ стѣнокъ.

Работа начинается снизу и ведется горизонтальными слоями по всему обводу.

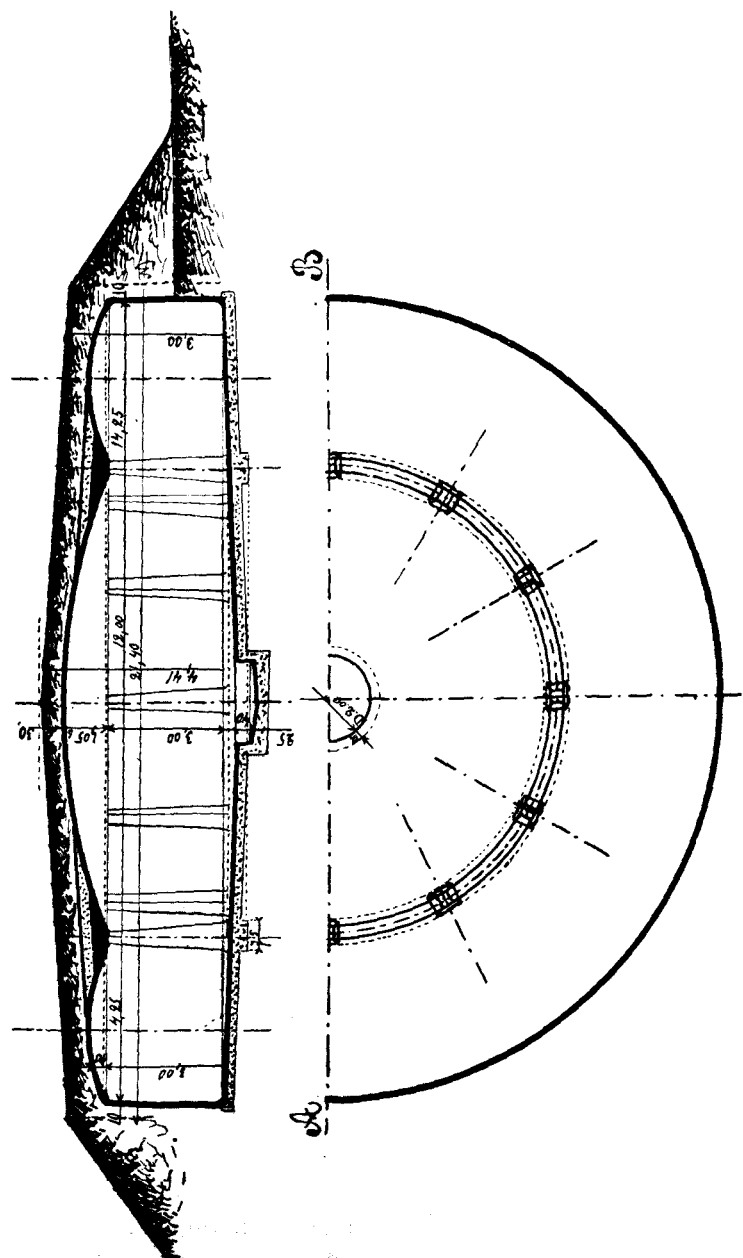
Когда стѣнки доведены до требуемой высоты и произошло схватываніе цемента, убираютъ наружную обшивку изъ досокъ и производятъ тщательно штукатурку внутренней поверхности стѣнокъ.

Покрытие резервуаровъ емкостью 1000 куб. м. сдѣлано по типу, представленному на фиг. 21, и состоять:

1) изъ кольцевого желѣзо-бетоннаго свода, опирающагося на наружныя стѣнки резервуара и на желѣзо-бетонныя колонны, расположенные по окружности концентричной стѣнкамъ, и

2) изъ пологаго купольнаго желѣзо-бетоннаго свода, поддер-
живаемаго тѣми же колоннами.

Фиг. 21.



Въ резервуарахъ емкостью 4000 м.³ въ составъ покрытия входятъ средний купольный сводъ и два куполчатыхъ скатъ.

вые свода, поддерживаемые стѣнками резервуара и колоннами, расположеннымими по двумъ соотвѣтствующимъ окружностямъ.

Металлическій оставъ сводовъ во всѣхъ случаяхъ состоить изъ однотавроваго желѣза, расположенного по направлению радиусовъ резервуара и играющаго роль направляющихъ реберъ; промежутки между ними заполнены сѣткой изъ желѣзныхъ прутьевъ толщиною 0,006 м., образующихъ клѣтки отъ 0,08 до 0,10 м.

Толщина бетоннаго свода, покрывающаго оставъ, 0,08 м.

Желѣзо-бетонныя колонны состоять изъ склепаннаго углового желѣза и спиральной обмотки изъ толстой проволоки, доставляющей надлежащую связь бетона съ уголками.

Толщина колоннъ отъ 25 см. до 30 см.

Вершины ихъ связаны желѣзными балками, изогнутыми по соотвѣтствующей окружности и служащими опорами для сводовъ покрытия. Балки эти составлены изъ углового желѣза и предохранены отъ ржавчины слоемъ бетона толщиной 0,08 м.

Размѣры металлическихъ частей измѣняются въ зависимости отъ пролета сводовъ, діаметра резервуаровъ, нагрузки земли.

Въ резервуарахъ емкостью 1000 м.³ пролетъ кольцевого свода 4 м., подъемъ 0,60 м.; пролетъ же купола—8 м. при стрѣлѣ подъемѣ 1 м.

Въ резервуарахъ емкостью 4000 м.³ средній куполь тѣхъ же размѣровъ, пролеты двухъ кольцевыхъ сводовъ 6 м., подъемы ихъ 0,75 м. и 0,85 м.

Вполнѣ удачная эксплоатація этихъ резервуаровъ значительной емкости убѣдила „Compagnie G n rale des Eaux“ дать желѣзо-бетону возможно широкое примѣненіе при устройствѣ водопроводныхъ сооружений, такъ какъ вполнѣ выяснились слѣдующія ихъ преимущества сравнительно съ бассейнами каменными или бетонными:

1) Отсутствіе какихъ-бы то ни было трещинъ и поврежденій, что объясняется раціональностью формы, а главнымъ образомъ строительными свойствами желѣзо-бетона, обладающаго значительнымъ сопротивленіемъ сжатію и растяженію.

2) Сравнительная дешевизна; общая стоимость 10 упомянутыхъ выше резервуаровъ, не включая земляныхъ работъ и устройства оснований,—160 575 фр. при общей емкости 13 280 м.³, что составляетъ:

$$\frac{160\,575}{13\,280} = 12,09 \text{ фр. на 1 м.}^3 \text{ вмѣстимости.}$$

Благодаря монолитности и легкости всего желѣзо-бетоннаго

резервуара, устройство его основания обходится дешевле, чѣмъ соответствующаго бассейна каменнаго или бетоннаго.

3) Вмѣстѣ съ тѣмъ устраивается возможность появленія трещинъ и другихъ поврежденій, влекущихъ за собою утечку воды или прониканіе въ резервуаръ грунтовыхъ водъ.

4) Сравнительно ничтожные расходы на ремонтъ.

5) Простота и быстрота устройства.

Парижескіе желѣзо-бетонные резервуары емкостью 4000 м.³ являются наибольшими изъ всѣхъ существующихъ; вообще же въ теченіе послѣднихъ 20—10 лѣть въ Европѣ даже резервуары малой и средней емкости устраиваются почти исключительно изъ желѣзо-бетона, благодаря сравнительной дешевизнѣ и тому существенному преимуществу, что бетонъ вполнѣ предохраняетъ желѣзо отъ разрушительного дѣйствія ржавчины.

Въ Германіи до 1894 г. одно общество „Actien Gesellschaft fü Monier-Bauten“ устроило для водоснабженія городовъ, заводовъ и желѣзныхъ дорогъ желѣзо-бетонные резервуары общей емкостью до 14 000 м.³.

Инженеръ-Капитанъ **Н. Житковичъ.**



ПЛОСКІЯ
ЖЕЛЪЗО-БЕТОННЫЯ ПОКРЫТИЯ
И
ИХЪ РАЗСЧЕТЪ.

Инженеръ-капитана Н. Житневича.

Штатнаго преподавателя Николаевской Инженерной Академіи и Училища.

(Отдѣльный оттискъ изъ Инженернаго журнала № 1 и 2).

С.-ПЕТЕРБУРГЪ.
Типографія и Литографія В. А. Тиханова. Садовая, № 27.
1899.

Дозволено цензурою, С.-Петербургъ, 8 апрѣля 1899 г.

ПЛОСКИЯ ЖЕЛѣЗО-БЕТОННЫЯ ПОКРЫТИЯ И ИХЪ РАЗСЧЕТЪ.

Въ настоящее время въ строительной практикѣ примѣняются различные типы плоскихъ покрытій для раздѣленія на этажи высокихъ зданій, фабрикъ, складовъ и проч. За границей даже въ обыкновенныхъ жилыхъ домахъ междуэтажные покрытия дѣлаются въ видѣ несгораемыхъ плоскихъ потолковъ; при устройствѣ же фабрикъ, складовъ и другихъ промышленныхъ и общественныхъ сооруженій примѣняется исключительно этотъ типъ покрытія.

Вмѣстѣ съ такимъ широкимъ распространеніемъ подобныхъ покрытій явилось много предложеній и патентованныхъ системъ по этому предмету, представляющихъ въ большинствѣ случаевъ лишь нѣкоторый интересъ съ теоретической точки зрењія, но мало примѣнимыхъ на практикѣ по сложности и дороговизнѣ устройства.

Употребляемыя въ строительномъ дѣлѣ плоскія покрытія можно раздѣлить на слѣдующія три группы:

I. Желѣзо-деревянныя плоскія покрытія, состоящія изъ желѣзныхъ продольныхъ балокъ и деревянныхъ брусьевъ и досокъ, перекрывающихъ промежутки между ними. Покрытія этого типа представляютъ какъ-бы переходъ отъ обыкновенныхъ деревянныхъ половъ къ болѣе совершеннымъ плоскимъ покрытіямъ. Въ данномъ случаѣ деревянные половыя или потолочные балки замѣнены болѣе прочными желѣзными балками; въ остальномъ же устройство ничѣмъ не отличается отъ общепринятыхъ междуэтажныхъ покрытій въ обыкновенныхъ жилыхъ домахъ.

II. Легкія желѣзныя, желѣзо-кирпичныя или желѣзо-бетонныя покрытия, въ которыхъ:

1) промежутки между продольными желѣзными балками перекрыты желѣзными же поперечными балочками, поддерживающими полъ; или

2) поперечные балочки замѣнены волнистымъ или сводчатымъ желѣзомъ, служащимъ основаніемъ для пола, и

3) промежутки между продольными балками перекрыты пологими кирпичными или бетонными сводиками.

Эти типы примѣняются какъ междуэтажные покрытия въ жилыхъ домахъ, фабрикахъ, складахъ, общественныхъ зданіяхъ. Равномѣрно распределенная нагрузка для нихъ отъ 250 до 500 килогр. на 1 кв. метръ.

III. Тяжелыя желѣзо-бетонныя и желѣзо-кирпичныя покрытия, употребляемыя главнымъ образомъ въ желѣзныхъ мостахъ для заполненія промежутковъ между поперечными балками. По устройству они ничѣмъ не отличаются отъ соответствующихъ легкихъ покрытий и разсчитываются по наибольшимъ сосредоточеннымъ грузамъ, выражющимъ давленіе колесъ.

Описаніе всѣхъ покрытий, данные для ихъ расчета и вѣса приведены въ «Musterbuch füг Eisen-Constructionen, Scharowsky».

Цѣль предлагаемой статьи—представить описаніе и способы расчета нѣкоторыхъ наиболѣе употребительныхъ плоскихъ желѣзо-бетонныхъ покрытий, получившихъ въ настоящее время въ Западной Европѣ и въ Америкѣ обширное примѣненіе, и почти вытѣснившихъ всѣ прочіе типы междуэтажныхъ покрытий, благодаря своимъ существеннымъ преимуществамъ.

Главныя условія, опредѣляющія выгоды и степень применения различныхъ типовъ плоскихъ покрытий, слѣдующія:

1) Проста и дешевизна устройства при наибольшихъ нагрузкахъ, допускаемыхъ на практикѣ;

2) огнеупорность;

3) неизмѣняемость отъ дѣйствія сырости и другихъ разрушительныхъ вліяній, опредѣляющая расходъ на ремонтъ;

- 4) высота покрытия, стесняющая возможно меньшее внутреннее пространство помещений;
- 5) звуко- и теплопроводность, и
- 6) степень удовлетворения гигиеническимъ условиямъ, весьма важнымъ при устройствѣ покрытий въ жилыхъ домахъ.

Во всѣхъ этихъ отношеніяхъ желѣзо-бетонная покрытия оказались выгоднѣе прочихъ типовъ, чѣмъ и объясняется быстрое развитіе и самое широкое примѣненіе ихъ въ теченіе послѣднихъ 20—10 лѣтъ. Начиная съ 1886 года, послѣ обширныхъ опытовъ, произведенныхъ въ Берлинѣ *), а затѣмъ и въ другихъ городахъ, надъ разными желѣзо-бетонными сооруженіями, установился вполнѣ опредѣленный взглядъ на желѣзо-бетонъ, какъ на матеріалъ наиболѣе выгодный для устройства покрытий, резервуаровъ, трубъ и проч. сооруженій, отъ которыхъ, кромѣ дешевизны, требуются прочность при возможно большей легкости, неизменность, огнеупорность, гигиеничность.

Для зданій фабричныхъ и промышленныхъ, подверженныхъ значительнымъ нагрузкамъ, ударамъ и сотрясеніямъ при работе машинъ, желѣзо-бетонные покрытия являются наивыгоднѣйшими благодаря своей монолитности, упругости, прочности и огнеупорности.

Всѣ перечисленныя преимущества желѣзо-бетонныхъ системъ являются слѣдствіемъ удачного сочетанія этихъ двухъ матеріаловъ, благодаря чему можно воспользоваться полностью наивыгоднѣйшими строительными свойствами каждого изъ нихъ, заставляя работать желѣзо почти исключительно на растяженіе, а бетонъ—на сжатіе.

Не вдаваясь въ подробное изслѣдованіе этого вопроса, достаточно разсмотрѣть одинъ изъ многочисленныхъ опытовъ, доказывающихъ, на сколько увеличивается прочность бетона при введеніи желѣза въ его массу.

Въ 1891 г. въ Петербургѣ **) были испытаны три пары

*) Ways, Das System Monier.

**) Протоколы по производству опытовъ надъ желѣзо-бетонными сооруженіями системы Монье.

плить, пролетомъ 1,0, 1,5 и 2,0 метра; въ каждой парѣ одна плита была съ желѣзною сѣткой, а другая—безъ нея. Сѣтка состояла изъ продольныхъ желѣзныхъ прутьевъ, скрѣпленныхъ съ поперечными обвязкой изъ тонкой проволоки; толщина продольныхъ прутьевъ въ плитахъ 1-го опыта (пролетъ 1 метра)—6 милим.; 2-го и 3-го опыта (пролеты 1,5 и 2 метра) — 7 милим.; каждый 3-й прутъ толщиною 10 милим. Поперечные прутья толщиною 5 милим. Составъ бетона 1 : 3.

Разстояніе между прутьями продольными и поперечными одинаковое: отъ 6,5 до 7 сант. Сѣтка помѣщалась на разстояніи $\frac{1}{6}$ толщины плиты отъ нижней ея поверхности.

Размѣры плитъ съ сѣткой и безъ нея при одномъ и томъ же пролетѣ одинаковые, а именно:

Опыты.	Пролеты.	Ширина.	Толщина.	Площ. нагрузки.
1	1,0 м.	0,71 м.	4,05 сант.	0,71 кв. м.
2	1,5 »	1,0 »	7,0 »	1,5 »
3	2,0 »	1,0 »	9,7 »	2,0 »

Опытъ показалъ, что разрушающій грузъ для плитъ Монье больше такого же груза для обыкновенныхъ бетонныхъ плитъ тѣхъ же размѣровъ: въ 3,5, 3,1 и 4,3 раза при пролетахъ: 1 м., 1,5 м. и 2 м., что составляетъ въ среднемъ 3,6.

При этомъ въ плитахъ съ желѣзною сѣткой наблюдалось только раздробленіе бетона, который не распался и не отдѣлился отъ сѣтки; нагрузка повисла на ней, не вызывая полнаго обрушенія. Всѣ же плиты безъ сѣтки разрушились мгновенно съ распаденіемъ бетона на куски неправильной формы.

При другихъ опытахъ *) сводчатое бетонное покрытие, при пролетѣ $l = 4,5$ м. и толщинѣ въ замкѣ 5 сант., обрушилось при нагрузкѣ 800 кил. на кв. м., а такое же покрытие системы Монье—при нагрузкѣ—2.109 кил. на кв. м.

Не вдаваясь въ описание разныхъ опытовъ въ этомъ на-

*) Wayss: Das System Monier.

правленіи, можно сдѣлать заключеніе, что такая относительно значительная прочность покрытій системы Монье является слѣдствіемъ тѣсной связи цемента съ желѣзомъ, заставляющей оба матеріала сопротивляться разрушенію покрытія.

Въ этомъ отношеніи интересенъ слѣдующій опытъ *). Желѣзная проволока толщиною $d=7$ милим., пробывшая 12 лѣтъ въ бетонномъ массивѣ, оказала сопротивленіе выдергиванію изъ бетона равное 1.300 килогр.; при этомъ проволока оборвалась и была вытянута только часть ея, причемъ на ея поверхности не найдено и слѣдовъ ржавчины. Эта значительная связь между желѣзомъ и затвердѣвшимъ бетономъ можетъ явиться вслѣдствіе образованія особенно твердаго и прочнаго соединенія силикатовъ цемента съ желѣзомъ.

Если допустить, что подобной прочной связи между желѣзомъ и бетономъ не существуетъ, т. е. что каждый матеріалъ сопротивляется порознь, то, обращаясь къ приведеннымъ выше опытамъ надъ плитами, получимъ слѣдующій выводъ.

Бетонная плита безъ стѣнки, при пролетѣ 1 м., толщинѣ 4,5 сант. и ширинѣ 0,71 м., мгновенно обрушилась при нагрузкѣ 852 килогр.; такая же плита Монье при нагрузкѣ 2.887 килогр. дала только прогибъ въ 8 м. и обрушилась при нагрузкѣ 2.973 килогр.

Если предположить, что эта разница въ сопротивленіи произошла отъ того, что во второмъ случаѣ кромѣ сопротивленія, оказываемаго плитой безъ стѣнки, является самостоятельное сопротивленіе изгибу продольныхъ прутьевъ толщиною 6 мил., то при указанномъ прогибѣ $f = 8$ м. нагрузка P , вызывающая этотъ прогибъ, опредѣлится на формулы

$$f = \frac{5 \cdot P \cdot l^3}{384EI},$$

гдѣ l — пролетъ = 100 сант., E — коэффиціентъ упругости желѣза = 2.000.000 кил.-сант., I — моментъ инерціи поперечнаго сѣченія одного прута = 0,0064 сант.⁴.

* Wayss: Das System Monier.

Если работающихъ продольныхъ прутьевъ 10, то подставляя эти данные въ формулу, получимъ

$$0,8 = \frac{P \cdot 5 \cdot 100^3}{2000000 \cdot 0,064 \cdot 384}.$$

Отсюда $P = 8$ килогр.

Слѣдовательно, полная величина разрушающаго груза должна выразиться при сдѣланномъ предположеніи такъ:

$$pl = 852 + 8 = 860 \text{ килогр.}$$

Въ дѣйствительности же разрушающей грузъ равнялся 2.973 кил., т. е. въ $\frac{2.973}{860} = 3,5$ раза больше.

Отсюда можно заключить, что сопротивленіе разрушенію плиты Монье не представляетъ суммы сопротивленій бетона и желѣза, рассматриваемыхъ въ отдельности; въ данномъ случаѣ, благодаря тѣсной связи между бетономъ и желѣзомъ, получается совершенно другое распределеніе внутреннихъ силъ.

Сравнительно малую прочность обыкновенной бетонной плиты можно объяснить тѣмъ обстоятельствомъ, что напряженія въ нижнихъ ея частицахъ достигаютъ величины временнаго сопротивленія бетона разрыву въ то время, когда напряженія въ верхнихъ частицахъ едва приблизятся къ предѣлу прочнаго сопротивленія раздробленію.

Если предположить, что у нижней поверхности плиты заложены желѣзные прутья, и при этомъ бетонъ не можетъ деформироваться независимо оть прутьевъ, благодаря значительной связи его съ желѣзомъ, то желѣзные прутья должны получить удлиненіе, соответствующее деформації (растяженію) бетона. Полная работа виѣшнихъ силъ, превращавшаяся въ плитѣ безъ сѣтки въ работу деформації одного бетона, раздѣлится тогда на двѣ части: работу деформаціи желѣза и работу деформаціи бетона. Послѣ этого очевидно, что закладывая въ растянутой части плиты болѣе толстые желѣзные прутья, или увеличивая число ихъ, можно достигнуть того, что въ сжатой части напряженіе бетона дойдетъ до предѣла прочнаго сопро-

тивленія раніше, нежели въ растянутой. А такъ какъ прочное сопротивленіе сжатію бетона въ общемъ можно принять въ 10 разъ больше прочнаго сопротивленія разрыву, то, слѣдовательно, бетонъ будеть примѣненъ наивыгоднѣйшимъ образомъ.

Для болѣе яснаго представлениія разсмотримъ распредѣленіе внутреннихъ силъ въ сѣченіи m_n , черт. I, фиг. 1, взятое посрединѣ бетонной плиты при толщинѣ ея 4,5 сантим., ширинѣ 71 сантим. и пролетѣ $l = 100$ сантим.

Допустимъ, что въ моментъ разрушенія сѣченіе m_n , фиг. 2, принало положеніе m_1n_1 . Если обозначимъ относительныя деформаціи наружныхъ фибръ m_1 и n_1 , чрезъ e_1 и e_2 , разстояніе отъ нейтрального слоя до этихъ частицъ h_1 и h_2 , то изъ подобія треугольниковъ om_1m и on_1n получимъ

$$\frac{e_1}{e_2} = \frac{h_1}{h_2} \quad \dots \dots \dots \quad (1)$$

Допустимъ затѣмъ, что напряженія внутреннихъ силъ сжимающихъ и растягивающихъ пропорціональны разстояніямъ до нейтрального слоя o . Если назовемъ наибольшее напряженіе силъ сжимающихъ въ верхніхъ частицахъ чрезъ R_1 , а напряженіе силъ растягивающихъ въ нижніхъ частицахъ чрезъ R_2 , то

$$\begin{aligned} R_1 &= E_1 e_1 \quad \text{и} \\ R_2 &= E_2 e_2 \end{aligned} \quad \left| \quad \dots \dots \dots \quad (2) \right.$$

гдѣ E_1 и E_2 — коэффиціенты упругости бетона при сжатіи и расширенії. Предполагаемый законъ распредѣленія внутреннихъ силъ въ сѣченіи m_1n_1 выразится графически, фиг. 3, прямыми om_1 и on_1 . Равнодѣйствующія T_1 и T_2 внутреннихъ силъ сжимающихъ и растягивающихъ выражаются площалями треугольниковъ om_1m и on_1n при ширинѣ плиты равной 1 сант., а при ширинѣ равной b :

$$\begin{aligned} T_1 &= \frac{R_1 h_1 \cdot b}{2} \quad \text{и} \\ T_2 &= \frac{R_2 h_2 \cdot b}{2} \end{aligned} \quad \left| \quad \dots \dots \dots \quad (3) \right.$$

Если плита лежить свободно на опорахъ, то статическое

условіе равновѣсія для лѣвой половины пребуеты тѣль, чтобы сумма проекцій всѣхъ виѣшнихъ силъ на горизонтальную ось равнялась нулю, т. е.

$$T_1 - T_2 = 0 \text{ или } T_1 = T_2 \quad \dots \quad \dots \quad \dots \quad (4)$$

$$\text{или } \frac{b \cdot R_1 \cdot h_1}{2} = \frac{b \cdot R_2 \cdot h_2}{2}, \text{ откуда}$$

$$R_1 \cdot h_1 = R_2 \cdot h_2.$$

Подставляя вмѣсто R_1 и R_2 равные имъ величины изъ уравненія (2), получимъ

$$E_1 \cdot e_1 \cdot h_1 = E_2 \cdot e_2 \cdot h_2, \text{ или } \frac{e_1}{e_2} \cdot \frac{h_1}{h_2} = -\frac{E_2}{E_1}.$$

Принимая во вниманіе уравненіе (1), получимъ

$$\frac{h_1^2}{h_2^2} = \frac{E_2}{E_1}, \text{ или } \frac{h_1}{h_2} = \sqrt{\frac{E_2}{E_1}} \quad \dots \quad \dots \quad \dots \quad (5)$$

Для затвердѣвшаго бетона состава 1 : 3 можно принять, что коэффиціентъ упругости при сжатіи въ 10 разъ больше коэффиціента упругости при растяженіи, т. е.

$$\sqrt{\frac{E_2}{E_1}} = \sqrt{\frac{1}{10}} = \frac{1}{3,16}.$$

Поэтому положеніе нейтральной оси въ данномъ случаѣ опредѣлится изъ уравненій:

$$\begin{cases} h_1 + h_2 = 4,5 \\ \frac{h_1}{h_2} = \frac{1}{3,16} \end{cases}$$

Рѣшаю ихъ, получимъ

$$h_1 + 3,16 \cdot h_1 = 4,5$$

$$h_1 = \frac{4,5}{4,16} = 1,08 \text{ сант.}$$

$$h_2 = 4,5 - 1,08 = 3,42 \text{ сант.}$$

Временное сопротивленіе бетона взятаго состава раздробленію, допустимъ, равно 300 кил. на кв. сант., а разрыву—30 кил. на кв. сант.

Отложивъ $on = 3,42$ сант., фиг. 3, $nn_1 = R_3 = 30$ кил., получимъ, что наибольшая величина равнодѣйствующая T_3 всѣхъ растягивающихъ силъ въ сѣченіи mn равна

$$T_2 = \frac{b \cdot R_2 \cdot h_2}{2} = \frac{71 \times 30 \times 3,42}{2} = 3.642 \text{ килогр.}$$

Эта предельная величина T_2 при сдѣланныхъ предположеніяхъ явится въ моментъ разрушенія плиты; соответствующая ей равнодѣйствующая сила сжимающихъ, на основаніи условія (4),

$$T_1 = T_2 = 3.642 \text{ килогр.}$$

Наибольшее напряженіе силъ сжимающихъ изъ уравненія (3)

$$R_1 = \frac{2 \cdot T_1}{h \cdot b} = \frac{2 \times 3642}{1,08 \times 71} = 95 \text{ кил. на кв. сант. . (6)}$$

что составляетъ $\frac{95}{300} = \frac{1}{3,2}$, или около $\frac{1}{3}$ временнаго сопротивленія раздробленію.

Отсюда ясно, что разрушеніе плиты вызывается сравнительно малымъ сопротивленіемъ бетона растяженію, и наиболѣе цѣнное свойство его—значительное сопротивленіе раздробленіе—утилизируется только частью.

Увеличивая сопротивленіе растяженію введеніемъ желѣза, т. е. увеличивая силу $T_2 = T_1$, можно довести напряженіе R_1 силъ сжимающихъ до наивысшаго предѣла, что видно изъ уравненія (6):

$$R_1 = \frac{2T_1}{h \cdot b}, \text{ где величины } h \text{ и } b \text{ постоянны.}$$

Равнодѣйствующія внутреннихъ силъ T_1 и T_2 пройдутъ чрезъ центры тяжести треугольниковъ *отт*, и *опп*₁, фиг. 3. Сумма моментовъ силъ T_1 и T_2 относительно точки *o* нейтрального слоя составить моментъ сопротивленія данного сѣченія, равный моменту внѣшнихъ силъ M , который при равномѣрной нагрузкѣ выразится

$$M = \frac{p \cdot l \cdot l}{8} = \frac{2 \cdot T_1 \cdot h_1}{3} + \frac{2 \cdot T_2 \cdot h_2}{3} \text{ или,}$$

подставляя известныя величины,

$$\begin{aligned} \frac{p \cdot l \cdot 100}{8} &= \frac{2 \times 3642 \times 3,42}{8} + \frac{2 \times 3642 \times 1,08}{3} = 8.304 + \\ &+ 2.622 = 10.926 \text{ килогр.-сант.} \end{aligned}$$

Отсюда разрушающей грузъ

$$pl = \frac{10926 \times 8}{100} = 874 \text{ килогр.}$$

Опытная же величина его—852 килогр.

Такимъ образомъ, изъ всего изложенного видно, что при сочетаніи бетона съ желѣзомъ является возможность вполнѣ воспользоваться природными свойствами материаловъ, заставить бетонъ работать почти исключительно на сжатіе, а желѣзо—на растяженіе, и такимъ образомъ извлечь наибольшія выгоды изъ обоихъ материаловъ.

Слѣдствіемъ этого является прочность и сравнительно малый вѣсъ всѣхъ желѣзо-бетонныхъ сооруженій, что весьма важно для междуэтажныхъ покрытий, подверженныхъ непосредственному дѣйствію значительныхъ нагрузокъ. Вмѣстѣ съ наименѣшимъ, вполнѣ рациональнымъ расходомъ материаловъ, уменьшается до минимума собственный вѣсъ покрытий, составляющій мертвую, бесполезную нагрузку для балокъ, колоннъ, стѣнъ, фундаментовъ. Поэтому примѣненіе плоскихъ желѣзо-бетонныхъ покрытий можетъ значительно уменьшить стоимость всего сооруженія.

Многолѣтній опытъ показалъ, что желѣзо внутри бетонной кладки не подвержено никакимъ измѣненіямъ. Въ Amiensъ желѣзо въ канализаціонныхъ трубахъ системы Монье оказалось при изслѣдованіи безъ малѣйшихъ слѣдовъ ржавчины.

Инженеръ Considère, занявшиись изученіемъ этого вопроса, изслѣдовалъ 50 кусковъ желѣза, задѣланного въ кладку и пролежавшаго въ морѣ на разныхъ глубинахъ 5, 10, 15, 25 и даже 50 лѣтъ. Въ результатѣ оказалось, что во всѣхъ случаяхъ, когда кладка не была повреждена, желѣзо сохранило свой первоначальный видъ, не обнаружило ни малѣйшихъ слѣдовъ ржавчины, и связь его съ цементнымъ растворомъ была вполнѣ прочная.

Опыты показываютъ, что при употребленіи желѣза, покрытаго ржавчиной, окружающей его цементъ входитъ въ химическое соединеніе съ окислами желѣза въ тотъ періодъ, тогда не произошло еще схватываніе цемента.

Такимъ образомъ, цементъ освобождаетъ желѣзо отъ ржавчины и сохраняетъ его въ такомъ видѣ неопределенное время. Этимъ объясняется, почему желѣзо при удаленіи окружающаго его бетона очень часто имѣеть металлическій, голубоватый цветъ.

Въ настоящее время признано, что желѣзо въ цементномъ растворѣ теряетъ свой существенный недостатокъ — быстрое окисленіе въ прикосновеніи съ влажнымъ воздухомъ или въ водѣ, и въ этомъ отношеніи цементный растворъ является наиболѣе действительнымъ и прочнымъ предохраненіемъ отъ ржавчины.

Кромѣ того, коэффиціенты упругости обоихъ материаловъ таковы, что желѣзо, окруженное бетономъ, можетъ работать при сжатіи или растяженіи почти до своего предѣла упругости, не вызывая трещинъ въ прилегающей массѣ бетона.

Такимъ образомъ, желѣзо, окруженное бетономъ, можетъ оказать полное свое сопротивленіе, находясь въ наивыгоднѣйшихъ условіяхъ, т. е. будучи вполнѣ обеспечено отъ ржавчины.

Поэтому при разсчетѣ желѣзо-бетонныхъ сооруженій можно ограничиться сравнительно меньшими запасами прочности. чѣмъ при обыкновенныхъ металлическихъ конструкціяхъ, тѣмъ болѣе что сопротивленіе самого бетона значительно увеличивается съ теченіемъ времени.

Другія весьма цѣнныя качества желѣзо-бетонныхъ системъ—упругость и монолитность — весьма важны для покрытій на фабрикахъ и въ другихъ зданіяхъ, подверженныхъ значительнымъ сотрясеніямъ и нагрузкамъ. Кромѣ того при незначительной высотѣ получается наименьшее стѣсненіе внутренняго пространства, и вмѣстѣ съ тѣмъ вся тонкая масса бетона сравнительно скоро и равномѣрно твердѣетъ, вслѣдствіе чего покрытія могутъ скорѣе эксплуатироваться.

Преимущества желѣзо-бетонныхъ покрытій въ пожарномъ отношеніи видны изъ слѣдующаго опыта, произведенного въ 1886 г. близъ Кельна *).

*) Wayss: Das System Monier.

Испытывались пологие своды пролетомъ 4,28 метра съ подъемомъ 0,28 метра.

Одинъ сводъ, фиг. 4, состояль изъ волнистаго желѣза толщиною 1 миллим. при ширинѣ волны 90 миллим. и высотѣ 50 миллим.; поверхъ желѣза располагался слой бетона толщиною 5 сант., затѣмъ слой каменноугольной золы толщиною у опоръ 10 сант., и наконецъ слой бетона около 10 сант., образующій полъ.

Другой сводъ системы Монье, при толщинѣ бетона въ замкѣ 4,5 сант., и у опоръ 6 сант., заключалъ желѣзнную сѣтку изъ 8 продольныхъ прутьевъ толщиною 7 сант. и 7 прутьевъ толщиною 8 миллим. въ 1 пог. метрѣ свода; по-перечные пруты толщиною 5 миллим. располагались въ взаимномъ разстояніи 10 сант. Общій видъ свода представленъ въ фиг. 5.

Своды были нагружены равномѣрно распределленною нагрузкой 410 кил. на кв. сант. и подвергались дѣйствію сильнаго огня. Въ сводѣ Монье, въ мѣстахъ подверженныхъ непосредственному дѣйствію пламени, наблюдалось отскакиваніе раствора, прикрывавшаго желѣзнную сѣтку, что могло быть вызвано быстрымъ обращеніемъ въ пары той воды, которая находилась въ бетонѣ. Въ другомъ же сводѣ въ тѣхъ же мѣстахъ получалось полное отдѣленіе волнистаго желѣза отъ свода, и по прошествіи 20 минутъ вся средняя часть раскаленнаго до-красна желѣза опустилась, увлекая за собой часть кладки. Черезъ 15 минутъ получилось полное отдѣленіе и прогибъ всего волнистаго желѣза, а вслѣдъ за этимъ—обрушеніе свода.

Сводъ же Монье подвергался дѣйствію еще болѣе сильнаго огня, и спустя $\frac{1}{4}$ часа послѣ обрушенія свода съ волнистымъ желѣзомъ обильно поливался водою изъ пожарныхъ трубъ. По прекращеніи опыта никакихъ новыхъ поврежденій не найдено. Такимъ образомъ, желѣзо-бетонныя покрытия заслуживають вполнѣ названія несгораемыхъ, тогда какъ всѣ другія покрытия, не заключающія горючихъ материаловъ, какъ напримѣръ пологіе кирпичные сводики на желѣзныхъ балкахъ, или покрытия съ волнистымъ желѣзомъ,

разрушаются, такъ какъ желѣзо, подверженное непосредственному дѣйствію огня, сильно раскаляется, коробится, размягчается, что влечетъ за собой обрушеніе покрытия.

Въ гигієническомъ отношеніи желѣзо-бетонныя покрытия выгоднѣе покрытій изъ легкаго пористаго или пустотѣлого кирпича и другихъ покрытій проницаемыхъ для воздуха и воды. Точно также желѣзо-бетонныя покрытия не требуютъ смазки или заполненія изъ разныхъ пористыхъ материаловъ, способствующихъ скопленію подъ поломъ грязи и развитію паразитовъ. Для устройства разныхъ половъ желѣзо-бетонныя покрытия представляютъ готовое прочное основаніе.

Всѣ указанныя преимущества желѣзо-бетонныхъ покрытий объясняютъ, какъ уже замѣчено и выше, необыкновенно быстрое и широкое примѣненіе ихъ въ строительной практикѣ. Въ Германіи одно общество: «Actien-Gesellschaft für Monier-Bauten въ теченіе 10-ти лѣтней дѣятельности устроило плоскихъ покрытій, мостовъ и другихъ желѣзо-бетонныхъ сооруженій на 50.000.000 марокъ, при общей площади всѣхъ покрытий около 8.000.000 кв. метр.

Ниже приведены нѣкоторые наиболѣе простые типы желѣзо-бетонныхъ покрытий и ихъ разсчетъ.

1. Простѣйшій типъ, представленный въ фиг. 6, состоить изъ двутавровыхъ балокъ, промежутки между которыми перекрыты плитами Монье.

Разстояніе между осями балокъ отъ 0,7 до 2,8 метр.; толщина плитъ, въ зависимости отъ нагрузки и разстоянія между балками, отъ 4 до 14 сант. Въ разстояніи $\frac{1}{6}$ толщины плиты отъ внутренней поверхности располагается сѣтка изъ продольныхъ желѣзныхъ прутьевъ толщиною отъ 5 до 10 миллим. и поперечныхъ діаметромъ отъ 5 до 7 мил. Въ точкахъ пересѣченія прутья скрѣпляются тонкою проволокой. Поперечное сѣченіе продольныхъ прутьевъ и разстояніе между ними опредѣляются приведеннымъ ниже разсчетомъ.

Плиты укладываются на нижнія полки балокъ. Для лучшаго предохраненія желѣзныхъ балокъ отъ дѣйствія ржавчины и огня, ребра балокъ прикрываются цементнымъ ра-

створомъ (а), фиг. 6, а нижняя поверхность тавра покрывается штукатуркой. При значительной ширинѣ тавра цементный наметъ дѣлается по тонкой желѣзной сѣткѣ, охватывающей нижній поясъ балки.

Для уменьшения звуко-и теплопроводности промежутки между балками заполняются каменноугольною золой или другимъ легкимъ пористымъ материаломъ, а затѣмъ устраивается полъ.

Выгоды такого покрытия слѣдующія:

1) Простота и быстрота устройства.

Плиты приготавляются заранѣе; укладка ихъ не требуетъ такого искусства и надзора какъ при устройствѣ другихъ покрытий.

Покрытие изъ готовыхъ плитъ Монье можетъ тотчасъ же подвергаться дѣйствію нагрузки, такъ что нѣть потери времени, необходимаго для твердѣнія бетона или раствора въ другихъ покрытияхъ.

2) При правильномъ устройствѣ—полная огнеупорность и неизмѣняемость отъ дѣйствія времени, сырости и пр.

3) Возможность получить желаемую степень звуко- и теплопроводности, измѣняю материалъ и толщину пористой смазки.

4) Непроницаемость для воздуха и воды при указанномъ заполненіи бетономъ (а), фиг. 6 и 11, стыковъ плитъ съ балками.

5) Кромѣ всего этого, незначительная высота покрытия и сравнительно большая прочность допускаютъ дѣйствіе значительныхъ сосредоточенныхъ грузовъ и ударовъ.

Вслѣдствіе значительной прочности при маломъ вѣсѣ, этотъ типъ примѣняется для перекрытия промежутковъ между поперечными балками въ желѣзныхъ мостахъ. Примѣромъ можетъ служить мостъ въ Halensee (Берлинѣ), фиг. 14. Мостъ системы Шведлера пролетомъ 80 м. По бокамъ главныхъ фермъ устроены на консоляхъ панели для пѣшеходовъ, шириной 5 м. На консоляхъ уложены продольныя двутовровые балки № 20 въ разстояніи 1,6 м.; промежутки между ними перекрыты плитами Монье толщиною 6,5 сант., допу-

скающими полезную равномерно распределенную нагрузку 400 кил. на кв. м. Собственный вѣсъ плитъ — 133 кил. на кв. м.

При отсутствіи готовыхъ плитъ требуемыхъ размѣромъ то же покрытие устраивается слѣдующимъ образомъ.

Къ желѣзнымъ балкамъ съ помощью скобъ подвѣшивается на требуемой высотѣ палуба изъ досокъ; на нее укладываются продольные и поперечные прутья такъ, чтобы концы продольныхъ прутьевъ лежали на полкахъ балокъ; когда подобная сѣтка готова, приступаютъ къ укладкѣ и трамбованію бетона до требуемой толщины покрытия. По прошествіи 8—14 дней, т. е. когда произойдетъ схватываніе бетона, убираютъ палубу. При всей простотѣ подобного устройства, получается большая монолитность покрытия сравнительно съ примѣненіемъ отдѣльныхъ готовыхъ плитъ.

Въ складахъ, фабрикахъ и пр. зданіяхъ, для которыхъ звуко-и теплопроводность не имѣеть особаго значенія, устраивается покрытие изъ плитъ Монье, уложенныхъ на верхніе пояса балокъ, фиг. 7. Разстояніе между осями балокъ до 2—2,5 м. Ребра ихъ покрываются цементнымъ растворомъ. Такое устройство невыгодно въ томъ отношеніи, что при прогибѣ плитъ стыки раскрываются, вслѣдствіе чего вдоль балокъ получаются трещины.

Очень практическимъ оказалось слѣдующее покрытие, фиг. 13. Плиты касаются нижнихъ поверхностей верхнихъ полокъ двутавровыхъ балокъ и лежать на бетонныхъ заполненіяхъ (*a*), предохраняющихъ балки отъ ржавчины. Верхняя поверхность плитъ лежить въ одной плоскости съ верхними полками балокъ и служить основаніемъ для пола. Трешины вдоль балокъ при такомъ устройствѣ не получаются. Для уменьшения тепло-и звукопроводности, на нижня полки балокъ укладываются поперечные бруски, къ которымъ прикрепляется потолочная обшивка.

Деталь стыка плиты Монье съ балкой приведена въ фиг. 11 и 12.

Общія основанія для расчета плоских желѣзо - бетонныхъ покрытий.

Значеніе желѣза въ плитахъ Монье было выяснено выше, при описаніи сравнительныхъ опытовъ надъ обыкновенными бетонными плитами и плитами съ желѣзною сѣткой. Главною причиной, вызывающей значительную прочность желѣзо-бетонныхъ плитъ и сводовъ, слѣдуетъ признать ту связь, которая, какъ сказано выше, является между желѣзомъ и бетономъ; она не допускаетъ взаимнаго перемѣщенія этихъ материаловъ.

Поэтому понятно, что вся теорія желѣзо-бетонныхъ сооруженій и способы расчета должны быть основаны на допущеніи этой силы сцепленія, связывающей оба материала въ одно нераздѣльное.

Не вдаваясь въ теоретическое исследованіе этого вопроса, можно указать тѣ главныя положенія и допущенія, на основаніи которыхъ получаются простые, практическіе способы расчета желѣзо-бетонныхъ плоскихъ покрытий.

Многочисленные опыты надъ желѣзо-бетонными плоскими покрытиями и сводами значительныхъ пролетовъ (до 25 м.) *) показали, что при тѣхъ нагрузкахъ и напряженіяхъ материаловъ, которыхъ допускаются на практикѣ, деформаціи пропорциональны нагрузкамъ, и въ этихъ предѣлахъ желѣзо-бетонъ можно рассматривать какъ одно упругое тѣло.

Поэтому при расчетѣ прямыхъ частей сооруженій слѣдуетъ примѣнять теорію прямыхъ изгибаемыхъ брусьевъ; при расчетѣ же сводовъ — теорію упругаго криваго бруса.

Обращаясь къ свойствамъ материаловъ, входящихъ въ составъ желѣзо-бетонныхъ покрытий, надобно замѣтить слѣдующее.

Въ данномъ случаѣ масса покрытия неоднородна, состоитъ изъ двухъ материаловъ, совершенно различныхъ по своимъ механическимъ свойствамъ, но связанныхъ въ одно цѣлое указанною силой сцепленія между бетономъ и желѣзомъ.

При изгибѣ плиты Монье, свободно лежащей на опорахъ,

*) Berichtl. beGewö des -Ausschlusse. Zeit. d. Oest. Ing.-Ar.-Vereins. 1896г.

въ верхнихъ частицахъ бетона любого поперечного съченія появятся внутреннія сжимающія силы, въ нижнихъ же частицахъ бетона и въ желѣзѣ—силы растягивающія.

Опытъ показываетъ, что коэффиціенты упругости бетона при растяженіи и сжатіи не равны между собой и также отличаются отъ коэффиціента упругости желѣза. Поэтому, въ сущности, плита Монье состоять какъ-бы изъ трехъ разнородныхъ материаловъ, связанныхъ въ одно цѣлое. Отсюда понятно, что для точнаго теоретического расчета необходимо прежде всего знать величины этихъ трехъ коэффиціентовъ упругости. Для литаго желѣза величина коэффиціента упругости E при растяженіи принимается около

$$E = 2.000.000 \text{ килогр. на кв. сант.}$$

Коэффиціенты же упругости для бетона при сжатіи, и въ особенности при растяженіи, измѣняются въ очень широкихъ предѣлахъ, и зависятъ въ каждомъ данномъ случаѣ отъ его состава, свойствъ цемента и другихъ составныхъ частей, времени твердѣнія и массы другихъ условій. До сихъ поръ нѣть опредѣленныхъ данныхъ относительно коэффиціента упругости бетона при растяженіи.

Поэтому самые точные теоретические выводы для расчета желѣзо-бетонныхъ сооруженій оказались бы непримѣнимыми на практикѣ.

Если при этомъ принять во вниманіе значительный запасъ прочности, придаваемый всѣмъ сооруженіямъ, то можно заключить, что для практическихъ расчетовъ возможно принять нѣкоторыя допущенія, упрощающія решеніе вопроса при незначительномъ увеличеніи теоретического запаса прочности. Такъ, если предположить, что бетонъ покрытия сопротивляется исключительно сжатію, а желѣзо—растяженію, т. е. если пренебрѣчь сравнительно малымъ сопротивленіемъ бетона растяженію, желѣзо-бетонную плиту можно рассматривать какъ-бы состоящей изъ двухъ разнородныхъ материаловъ, и следовательно необходимо знать величины только двухъ коэффиціентовъ упругости: для бетона—при сжатіи и для желѣза—при растяженіи.

При этомъ, понятно, долженъ получиться нѣкоторый за-

пась прочности, такъ какъ въ дѣйствительности бетонъ окажеть незначительное сопротивленіе растяженію.

Послѣ этихъ общихъ замѣчаній можно перейти къ разсчету плить Монье.

Допустимъ, что толщина плиты— d , ширина— b , пролетъ— l и полная равномѣрно распределенная нагрузка, включая собственный вѣсъ плиты,— p кил. на кв. м. Желѣзная сѣтка расположена въ разстояніи $\frac{1}{6}$ толщины d отъ внутренней поверхности.

Требуется опредѣлить:

1) толщину плиты, принимая наибольшее допускаемое напряженіе для бетона (состава 1 : 3) при сжатіи $R_1 = 30$ кил. на кв. сант. (Berliner Polizei-Resideriums), и

2) поперечное сѣченіе и разстояніе между желѣзными прутьями.

1) Допустимъ, фиг. 8, что среднее сѣченіе $m n$ при данной нагрузкѣ выразится плоскимъ же сѣченіемъ $m_1 n_1$, фиг. 9. Выше, при сравненіи опытовъ надъ плитами, было пояснено, что измѣнія число или размѣры продольныхъ прутьевъ, можно заставить бетонъ принять большее или меньшее участіе въ сопротивленіи и, такимъ образомъ, измѣнить положеніе нейтральной оси. Допустимъ, что при указанномъ расположениіи прутьевъ въ разстояніи $\frac{d}{6}$ отъ внутренней поверхности плиты размѣры и число прутьевъ подобраны такъ, что нейтральная ось проходитъ чрезъ центръ рассматриваемаго сѣченія, фиг. 10.

Если принять, что напряженія внутреннихъ силъ въ бетонѣ и желѣзѣ пропорціональны разстояніямъ до нейтральной оси, то равнодѣйствующая T_1 всѣхъ сжимающихъ силъ въ верхнихъ частицахъ бетона выразится при ширинѣ плиты $b = 100$ сантим. чрезъ

$$T_1 = \frac{100 \cdot d \cdot R_1}{2 \cdot 2} = \frac{100 \cdot 30 \cdot d}{4} = 750 d.$$

Равнодѣйствующая эта пройдетъ чрезъ центръ тяжести треугольника omn_1 , т. е. въ разстояніи $ok_1 = \frac{2 \cdot d}{2 \cdot 3} = \frac{d}{3}$ отъ нейтральной оси.

Для статического равновесия выделенной левой половины плиты необходимо, чтобы равнодействующая T_2 , растягивающих сил для всех прутьев равнялась T_1 . Расстояние от точки приложения T_2 до нейтральной оси будет

$$ok_2 = \frac{d}{2} - \frac{d}{6} = \frac{d}{3}.$$

Таким образом, все внутренние продольные силы при изгибе плиты приводятся к паре сил, момент которой выражается такъ:

$$T_1 \cdot k_1 k_2 = \frac{2 \cdot 750 \cdot d \cdot d}{3} = 500 d^2 \text{ килогр.-санитим.}$$

Для равновесия необходимо, чтобы этот момент сопротивления равнялся моменту внешних силъ, т. е. при ширинѣ плиты $b = 100$ сантим.

$$500 d^2 = \frac{p \cdot l^2}{8 \cdot 100}; \text{ отсюда}$$

искомая толщина плиты

$$d = \sqrt{\frac{p \cdot l^2}{8 \cdot 500 \cdot 100}} = \frac{l}{632} \sqrt{p} \text{ (сант.).}$$

Выражая l въ метрахъ, получимъ $d = \frac{l}{6,32} \sqrt{p}$ сантим., или проще— $d = \frac{l}{7} \sqrt{p}$ сантим. (1).

2) Если обозначимъ общую площадь поперечныхъ сеченийъ продольныхъ прутьевъ при ширинѣ плиты $b=100$ сантим. чрезъ F кв. сант. и допускаемое среднее напряженіе для желѣза чрезъ $R_2 = 750$ кил. на кв. сант., то изъ предыдущаго равенства $T_1 = T_2$ получимъ $750d = 750 \cdot F$, или $d = F$, т. е. при сдѣланныхъ выше предположеніяхъ поперечное сечение всѣхъ продольныхъ прутьевъ заключаетъ столько квадратныхъ сантиметровъ, сколько толщина плиты—линейныхъ сантиметровъ.

Задавшись послѣ этого известнымъ числомъ или расстояніемъ между прутьями при ширинѣ $b = 100$ сантим., получимъ поперечное сечение одного продольного прута.

Определеніе положенія нейтральной оси при произвольномъ расположении желѣза будетъ показано при расчетѣ другихъ желѣзо-бетонныхъ покрытий.

На основаніи приведенныхъ формулъ (1) и (2) легко составить таблицы для опредѣленія толщины плитъ, размѣровъ и числа желѣзныхъ продольныхъ прутьевъ при разныхъ пролетахъ и нагрузкахъ.

Напримѣръ, наименьшая толщина плиты d для тротуара моста въ Halensee (см. выше), при пролетѣ $l = 1,6$ метра, фиг. 14, и нагрузкѣ

$$p = 400 + 133 = 533 \text{ кил. на кв. м.}$$

опредѣлится по формулѣ (1):

$$d = \frac{l}{\tau} \sqrt{p} = \sqrt{533} = 5,2 \text{ сант.}$$

Принимая во вниманіе истираніе плиты, толщину ея можно принять около 6,5 сант.

Общая площадь F поперечнаго сѣченія всѣхъ продольныхъ прутьевъ на основаніи ур. (2):

$$F = d = 5,2 \text{ кв. сант.}$$

Если взять прутья толщиною $\delta = 0,7$ сант. при поперечномъ сѣченіи $f = \frac{\pi \delta^2}{4} = 0,38$ кв. сант., то число прутьевъ при ширинѣ плиты $b = 100$ сант.

$$\text{будетъ } n = \frac{5,2}{0,38} = 14 \text{ шт., а}$$

разстояніе между ними

$$e = \frac{100}{13} = 7,7 \text{ сант. (8 сант.).}$$

Плоское желѣзо-бетонное покрытие системы инженера Коенен'a.

Въ началѣ 1897 г. инженеръ Коенен предложилъ особый типъ желѣзо-бетоннаго плоскаго покрытія, отличающійся выгоднымъ распределеніемъ материаловъ, вслѣдствіе чего являются необыкновенная прочность, простота и дешевизна устройства.

Въ январѣ того же года особая комиссія произвела ис-

пыталия предложенного покрытия, результаты которыхъ приведены ниже и оказались на столько благопріятными, что въ теченіе полугода устроено было 104.000 кв. метр. разныхъ покрытий по системѣ инженера Коепена.

Сущность ихъ устройства заключается въ слѣдующемъ.

Для полученія междуэтажныхъ плоскихъ покрытий, фиг. 16 и 17, значительной ширины (большой 5 метр.) укладываются двутавровые желѣзныя балки *d* въ разстояніи отъ 1,5—6 метр. На верхнихъ полкахъ балокъ, въ перпендикулярномъ направлениі, фиг. 16, располагаются желѣзные прутья *a* толщиною 5—13—29 милим., на взаимномъ разстояніи 6—10 сант. Прутьямъ придается посрединѣ нѣкоторый прогибъ $\frac{9}{10}$ толщины покрытия; концы ихъ загнуты и захватываютъ верхнія полки смежныхъ балокъ, фиг. 15. Промежутки между балками заполняются плотно утрамбованнымъ бетономъ, фиг. 15 и 17, образующимъ покрытие въ видѣ зеркального свода толщиною 8—10—25 сант. Вообще всѣ эти размѣры зависятъ отъ величины пролета и нагрузки.

При ширинѣ помѣщенія меньшей 6 метр., фиг. 17, можно обойтись безъ двутавровыхъ балокъ и воспользоваться промежуточными стѣнами. Для закрѣпленія концовъ желѣзныхъ прутьевъ *a* располагаются вдоль стѣнъ желѣзныя полосы *e*, поддерживаемыя анкерами *g* и *f*, задѣланными въ кладку *b*. Такимъ образомъ количество желѣза значительно уменьшается и является возможность примѣнить это покрытие при самыхъ разнообразныхъ условіяхъ.

Для выясненія преимуществъ указанного расположения материаловъ, замѣтимъ, что условія, въ которыхъ находится бетонная плита *ad*, фиг. 15, подходятъ ближе всего къ условіямъ балки съ закрѣпленными концами, фиг. 18, и подверженной дѣйствію того же груза. Въ такой балкѣ, какъ известно, при равномѣрной нагрузкѣ распределеніе внутреннихъ силъ будетъ слѣдующее. Въ среднемъ сѣченіи *mn*, фиг. 18, получится наибольшій прогибъ, и всѣ частицы выше нейтрального слоя *o* будутъ сжаты, а ниже—растянуты; при этомъ напряженія этихъ внутреннихъ сжимаю-

щихъ и растягивающихъ силъ будуть увеличиваться по мѣрѣ удаленія отъ нейтрального слоя, такъ что наибольшія сжимающія усилия получатся въ частицахъ верхней поверхности *m*, а наибольшія растягивающія -- въ частицахъ нижней поверхности *n*. Въ сѣченіяхъ же *AE* и *BE*, взятыхъ у закрѣпленныхъ концовъ, распределеніе внутреннихъ силъ будетъ обратное, т. е. всѣ частицы выше нейтрального слоя *C*--растянуты, а ниже его--сжаты, и наибольшія напряженія получаются въ верхнихъ и нижнихъ наружныхъ частицахъ. Желѣзо лучше всего сопротивляется растяженію, бетонъ же сжатію; поэтому, для извлеченія наибольшей выгоды изъ сочетанія этихъ двухъ материаловъ, желѣзные прутья надо расположить и закрѣпить такъ, какъ предложено въ описываемой системѣ. Тогда можно съ увѣренностью разсчитывать, что въ наиболѣе опасныхъ сѣченіяхъ (посрединѣ и надъ опорами) желѣзные прутья будутъ сопротивляться главнымъ образомъ растяженію, бетонъ же -- сжатію. Кромѣ того, получается возможность определить эти наибольшія напряженія и съ достаточною точностью разсчитать составныя части покрытия.

Та же система покрытия съ большими выгодами примѣнена въ желѣзныхъ мостахъ для перекрытия промежутковъ между поперечными или продольными балками.

Преимущества этой системы сравнительно съ другими слѣдующія:

1) При ничтожной толщинѣ покрытия, строительные качества желѣза и бетона утилизируются полностью; при этомъ желѣзо прутьевъ и двутавровыхъ балокъ прикрыто, и предохранено бетономъ отъ ржавчины и непосредственнаго дѣйствія высокой температуры.

2) Какъ выяснилъ опытъ, является полное отсутствіе трещинъ при значительныхъ нагрузкахъ, вызывающихъ эти трещины въ другихъ системахъ, что объясняется удачнымъ распределеніемъ материаловъ.

3) При значительныхъ пролетахъ (6 метр.) замѣчается отсутствіе горизонтального распора, требующаго въ другихъ

конструкціяхъ толстыхъ стѣнъ или жељзныхъ связей, усложняющихъ и затрудняющихъ постройку.

4) Вмѣстѣ съ этимъ предлагаемое покрытие является дешевымъ и удобопримѣнимымъ при всякихъ условіяхъ.

5) Въ архитектурномъ отношеніи нижня поверхности покрытия, фиг. 15 и 17, представляютъ большія плоскости и красивыя цилиндрическія поверхности, которыя поддаются хорошей обработкѣ при устройствѣ потолковъ, балконовъ и проч.

Кромѣ того, значительные пролеты (6 метр.) не затрудняютъ распределенія большихъ оконъ и другихъ отверстій.

6) Незначительная толщина покрытия мало стѣсняетъ высоту помѣщеній и позволяетъ устраивать болѣе высокія окна.

7) Верхняя поверхность покрытия представляетъ одну плоскость, не требуетъ забутовки; при устройствѣ пола не образуется пустотъ, способствующихъ развитію паразитовъ, гнили или скопленію грязи.

8) Устройство покрытия просто и не требуетъ никакихъ особыхъ работъ.

Для уменьшения теплопроводности и звукопроводности верхняя поверхность покрывается обыкновеннымъ деревяннымъ поломъ, или linoleumъ съ подкладкой картона или войлока, пропитанного гудрономъ или другими антисептическими веществами; наконецъ, можно сдѣлать обыкновенную смазку, бетонный или лещадный полъ.

Расчетъ плоскаго покрытия системы Коепен'я.

Если рассматривать часть плоскаго покрытия между двумя смежными балками, фиг. 19, A и B, какъ упругую балку съ закрѣплеными концами, то расчетъ покрытия можно сдѣлать на основаніи слѣдующихъ соображеній:

Обозначимъ въ фиг. 19 и 21:

1) пролетъ чрезъ l ,

2) тощину покрытия— d ,

3) полную нагрузку, включая собственный въесь покрытия—чрезъ p , такъ что набольшій изгибающій моментъ въ среднемъ

съченіи mn , фиг. 19, выразиться чрезъ $M = \frac{pl^2}{24}$,

4) F — общую площадь поперечнаго съченія всѣхъ прутьевъ при ширинѣ плиты b сантим.,

5) y_2 —разстояніе отъ центра тяжести поперечнаго съченія прута до нейтрального слоя,

6) y_1 —разстояніе отъ верхнихъ частицъ бетона до нейтрального слоя,

7) R_1 —наибольшее допускаемое напряженіе для бетона при сжатіи,

8) R_2 —наибольшее напряженіе для желѣза при растяженіи,

9) a —разстояніе отъ центра съченія прута до нижней поверхности плиты.

Для опредѣленія четырехъ неизвѣстныхъ: d , F , y_1 и y_2 получимъ слѣдующія 4 уравненія:

Изъ чертежа № 21 видно, что

$$y_1 + y_2 + a = d. \quad \dots \dots \dots \quad (1)$$

Допуская, что при прогибѣ среднес плоское съченіе mn , фиг. 21, выразится плоскимъ же съченіемъ m_1n_1 , при чемъ наибольшее сжатіе верхнихъ частицъ бетона равно e_1 и наибольшее удлиненіе для желѣза— e_2 , получимъ изъ подобія треугольниковъ mm_1o и nn_1o

$$\frac{e_1}{e_2} = \frac{y_1}{y_2}.$$

Или, принимая во вниманіе, что при упругой деформаціи

$R_1 = e_1 \cdot E_1$ и $R_2 = e_2 E_2$, получимъ

$$\frac{R_1}{R_2} = \frac{e_1 E_1}{e_2 E_2} \quad \dots \dots \dots \quad (2)$$

Для равновѣсія выдѣленной части покрытия необходимо:

1) чтобы сумма проекцій всѣхъ силъ на горизонтальную ось равнялась нулю, и

2) сумма моментовъ всѣхъ внутреннихъ силъ, являющихся въ сѣченіи *mn*, относительно центра *o* этого сѣченія равнялась бы суммѣ моментовъ внѣшнихъ силъ относительно той же точки.

Если принять, что наибольшее допускаемое напряженіе при сжатіи бетона $R = 30$ кил. на кв. сант., отложить, фиг. 24, $ma = R_1$ и соединить точку *a* съ точкой *o* нейтральной оси, то напряженіе внутренней сжимающей силы въ любой частицѣ бетона въ разстояніи *v* отъ нейтральной оси *o* выразится отрѣзкомъ *t*, параллельнымъ R_1 и заключеннымъ между пряммыми *mn* и *oa*.

Отсюда слѣдуетъ, что равнодѣйствующая $(+T_1)$ всѣхъ сжимающихъ внутреннихъ силъ для бетона, фиг. 25, можетъ быть выражена объемомъ призмы *omta* *aa*₁ съ треугольнымъ основаніемъ *ota*, равнымъ $\frac{R_1 \cdot y_1}{2}$, и съ высотою $mm_1 = b$, т. е. равной ширинѣ рассматриваемаго покрытия.

Такимъ образомъ $+T_1 = \frac{R_1 \cdot y_1 \cdot b}{2}$.

Эта равнодѣйствующая $(+T_1)$ всѣхъ внутреннихъ сжимающихъ силъ для бетона должна пройти чрезъ центръ тяжести указанной призмы, фиг. 24 и 25, т. е., фиг. 24, чрезъ центръ тяжести треугольника *ota*.

Поэтому разстояніе отъ равнодѣйствующей $(+T_1)$ до нейтральной оси *o* выразится, фиг. 24, $ok = \frac{2y_1}{3}$.

На основаніи изложеннаго, первое статическое условіе равновѣсія, т. е. чтобы сумма проекцій всѣхъ силъ на горизонтальную ось равнялась нулю, выразится, фиг. 24 и 25, такъ:

$$\begin{aligned} \frac{R_1 \cdot y_1 \cdot b}{2} - R_2 \cdot F &= 0 \text{ или} \\ \frac{R_1 \cdot y_1 \cdot b}{2} &= R \cdot F \quad \dots \dots \dots \quad (3) \end{aligned}$$

.Второе же условіе равновѣсія выдѣленной части покрытия, требующее, чтобы сумма моментовъ всѣхъ внутреннихъ силъ, являющихся въ сѣченіи *mn*, фиг. 19, 24 и 25, относительно центра тяжести *o* этого сѣченія равнялась суммѣ

моментовъ виѣшнихъ силъ относительно той же точки o , выразится:

$$\frac{R_1 \cdot y_1 \cdot b}{2} \cdot \frac{2y_1}{3} + R_2 \cdot R \cdot y_2 - M = 0 \text{ или}$$

$$\frac{R_1 \cdot y^2 \cdot b}{3} + R_2 \cdot F \cdot y_2 = M. \quad \dots \quad (4)$$

Если принять $R_1 = 30$ кил. на кв. сант. (для смѣси 1 : 3(

$$R_2 = 750 \text{ кил. на кв. сант.}$$

$$\text{и } \frac{E_1}{E_2} = \frac{1}{25},$$

то изъ (2) уравненія получимъ

$$\frac{30}{750} = \frac{1}{25} \frac{y_1}{y_2},$$

$$\text{или } y_1 = y_2.$$

При ширинѣ плиты $b = 100$ сантим. изъ третьяго (3) уравненія слѣдуетъ

$$\frac{30 \cdot y_1}{2} \cdot 100 = F \cdot 750; \quad \dots \quad (3a)$$

отсюда $F = 2y_1$.

Подставляя эти значения въ (4) уравненіе, получимъ

$$\frac{30 \cdot y_1^2}{3} \cdot 100 + 2y_1 \cdot 750 \cdot y_1 = M; \text{ или}$$

$$2.500y_1 = M$$

$$y_1 = \frac{1}{50} \sqrt{M} \quad \dots \quad (a)$$

Прутья, подверженные растяженію, выгодно расположить возможно ближе къ нижней поверхности покрытія. Принимая $a = \frac{d}{10}$, получимъ изъ уравненія (1)

$$2y_1 = \frac{d}{10} = d,$$

$$\text{или } d = \frac{20 \cdot y_1}{9} \quad \dots \quad (b)$$

Изъ уравненій (a) и (b) слѣдуетъ

$$d = \frac{1}{22,5} \sqrt{M}.$$

При ширинѣ плиты $b = 100$ сантим.

$$M = \frac{pl^2 \cdot 100}{24} \text{ килогр.-сантиз.}$$

$$\text{поэтому } d = \frac{l \cdot 10}{22,5 \cdot 4,9} \sqrt{p};$$

$$\text{или } d = \frac{l}{11} \sqrt{p} \quad \quad (c)$$

Изъ приведенного выше уравнения (3a)

$$\frac{30 \cdot y_1}{2} \cdot 100 = F \cdot 750 \text{ и равенства (b)}$$

$$d = \frac{20 \cdot y_1}{9} \text{ получимъ}$$

$$F = \frac{9 \cdot d}{10} \quad \quad (f)$$

Въ приведенныхъ формулахъ:

d выражено въ сантиметрахъ,

l » » метрахъ,

p » » килограм. на квадр. метръ,

f » » квадратныхъ сантиметрахъ.

Если, напримѣръ, $l = 3,65$ метр.,

$$p = 700 + 210 = 910 \text{ килогр.},$$

$$\text{то: 1) } d = \frac{3,65}{11} \sqrt{910} = 10 \text{ сантим.};$$

$$2) F = \frac{9 \cdot d}{10} = 9 \text{ кв. сант.}$$

Принимая толщину желѣзныхъ прутьевъ $\delta = 1$ сантим. при площади поперечного сѣченія

$$f = \frac{\pi \delta^2}{4} = \frac{3,14}{4} = 0,79 \text{ кв. сантим.},$$

опредѣлимъ число прутьевъ

$$n = \frac{F}{f} = \frac{9}{0,79} = 12 \text{ шт.}$$

Разстояніе между ними

$$e = \frac{100}{12} = 8,3 \text{ сантим.}$$

Въ случаѣ сосредоточенныхъ грузовъ, напримѣръ при давлении колесъ равномъ P , наибольшія напряженія получаются, когда сосредоточенный грузъ P расположены посерединѣ пролета; у опоръ изгибающій моментъ выразится чрезъ $M = \frac{P_1 l}{8}$.

Давленіе отъ сосредоточенного груза P распредѣлится на нѣкоторую площадь покрытія чрезъ посредство мостовой.

Если примѣнить поперечные прутья для передачи давленія возможно большему числу продольныхъ прутьевъ, то, при надлежащей толщинѣ песку въ основаніи мостовой, можно принять, что давленіе отъ P распредѣлится по площасти квадрата, сторона которого равна толщинѣ покрытія увеличенной въ восемь разъ.

Поэтому разсчетъ можно вести по воображаемой равномѣрно распредѣленной нагрузкѣ p кил. на кв. м., вызывающей тѣ же напряженія какъ и данный сосредоточенный грузъ P , и величина которой опредѣлится изъ уравненія

$$\frac{P \cdot l}{8} = \frac{p l^2}{24} \cdot 8d; \text{ отсюда}$$

$$p = \frac{3}{8} \cdot \frac{P}{l \cdot d}, \text{ гдѣ}$$

d и l выражены въ метрахъ.

Если, напримѣръ, $P=2.000$ килогр., $l=2,5$ метра и требуется опредѣлить толщину покрытія и площадь поперечнаго сѣченія всѣхъ прутьевъ, то для простоты рѣшенія можно задаться нѣкоторою толщиной $d=0,12$ м. Подставивъ въ приведенное уравненіе, получимъ

$$p = \frac{3}{8} \cdot \frac{P}{l \cdot d} = \frac{3 \times 2000}{8 \times 2,5 \times 0,12} = 2.500 \text{ кил. на кв. м.}$$

Если принять вѣсъ покрытія 300 кил. на кв. м., то полная нагрузкa $q=2.800$ килогр.

По формулѣ (c)

$$d = \frac{l}{11} \sqrt{p} = \frac{2,5}{11} \sqrt{2.800} = 13 \text{ сантим.}$$

Слѣдовательно, искомая толщина d заключается между 12 и 13 сантим.

Принявъ $d=12$ сантим., получимъ изъ формулы (d)

$$F = \frac{9,13}{10} = 11,7 \text{ кв. сант.}$$

При устройствѣ покрытія, показанномъ въ фиг. 17, гдѣ концы прутьевъ прикреплены къ полосамъ желѣза, лежа-

щимъ на анкерахъ, требуется значительное число анкеровъ или полосы съ большимъ поперечнымъ сѣченіемъ.

Если допустимъ, что въ приведенномъ выше примѣрѣ при пролетѣ $l=3,65$ метра, толщинѣ плиты $d=10$ сантим., при 12 шт. прутьевъ поперечнаго сѣченія 0,79 кв. сантим. въ одномъ погонномъ метрѣ допущена полная нагрузка 910 кил. на кв. метръ, то наибольшая растягивающая сила для одного прута выразится:

$$750 \times 0,79 = 592,5 \text{ килогр.}$$

Поэтому на 1 погон. метръ желѣзной полосы придется общее давленіе

$$592,5 \times 12 = 7.110 \text{ килогр.}$$

Если принять разстояніе l между анкерами въ 1 метръ, назвать ширину полосы— b , толщину— a , то размѣры ея опредѣляются изъ уравненія

$$\frac{p l^2}{8} = \frac{7.110 \times 100}{8} = 750 \cdot \frac{ab^2}{6},$$

Принимая $a=5$ сантим., получимъ

$$b^2 = \frac{7.100 \times 100 \times 6}{750 \times 5 \times 8} = 142,2$$

$$b = \sqrt{142,2} = 11,9 \text{ сантим. (12 сантим.)}.$$

Поперечное сѣченіе ея

$$q = 12 \times 5 = 60 \text{ кв. сант.};$$

въсъ 1 пог. метра

$$p = \frac{60 \times 1007,8}{1.000} = 46,8 \text{ килогр.}$$

Поэтому при такихъ значительныхъ пролетахъ и нагрузкахъ невыгодно примѣнять подобное устройство, при которомъ полосы желѣза подвержены изгибу. Во всѣхъ случаяхъ, когда продольные прутья должны быть закрѣплены у стѣны, лучше всего принять способъ закрѣпленія, показанный въ фиг. 27 (въ планѣ) и въ фиг. 28 (въ поперечномъ разрѣзѣ).

Тонкіе желѣзные прутья изогнуты плоскимъ змѣевикомъ, фиг. 27; длина каждой петли нѣсколько больше толщины стѣны, крючья продольныхъ прутьевъ b покрыты захваты-

ваются петли съ двухъ сторонъ, и такимъ образомъ вся масса желѣза змѣевика и продольныхъ прутьевъ покрытія будетъ подвержена одному растяженію. Сжимая или растягивая змѣевикъ, можно получить требуемое разстояніе между петлями и прутьями покрытія. Змѣевикъ укладывается въ горизонтальномъ швѣ стѣны на требуемой высотѣ и заливается цементнымъ растворомъ. Концы a , фиг. 27, отдѣльныхъ змѣевиковъ доводятся до средины стѣны; для большей прочности крайнихъ петель можно загибать концы a крючьями такъ, чтобы всѣ отдѣльные змѣевики были связаны въ одно цѣлое, хотя при кладкѣ на цементномъ растворѣ связь между желѣзомъ и цементомъ получается на столько прочной, что концы змѣевиковъ можно оставлять свободными, доводя ихъ до $\frac{1}{2}$ или $\frac{3}{4}$ толщины стѣны.

Разрыву змѣевика сопротивляются въ каждой петлѣ, фиг. 27, двѣ ея вѣтви. Поэтому поперечное сѣченіе проволоки змѣевика должно равняться половинѣ поперечнаго сѣченія прутьевъ покрытія.

Въ приведенномъ выше примѣрѣ толщина продольныхъ прутьевъ опредѣлена $\delta = 10$ милим.; поэтому для змѣевика можно принять проволоку толщиною δ_1 , которая опредѣлится изъ уравненія

$$\frac{\pi \cdot \delta^2}{4} = \frac{2\pi \cdot \delta_1^2}{4} = \frac{\pi \cdot 100}{4}, \text{ или}$$

$$\delta_1 = \sqrt{50} = (7) \text{ милим.}$$

Если толщина стѣны, фиг. 27 и 28, равна 1,5 кирничамъ, или около 40 сантим., то длину каждой вѣтви петли можно принять около 55 сантим. При 12-ти продольныхъ прутьяхъ на 1 погон. метръ покрытія потребуется 12 петель, при общей длине проволоки $0,55 \times 12 \times 2 = 13,3$ метр.

Вѣсъ 1 пог. метра проволоки толщиною $\delta_1 = 7$ милим. будетъ $p_1 = 0,3$ килогр.

Поэтому при такомъ способѣ закрѣпленія прутьевъ потребуется на 1 пог. метръ покрытія $0,3 \times 13,2 = 3,96$ килогр. желѣза.

При употреблениі же полосъ, фиг. 17, не включая вѣса анкеровъ, требовалось бы желѣза

$$2 \times 46,8 = 93,6 \text{ килогр.,}$$

$$\text{т. е. въ } \frac{93,6}{3,96} = 23,6 \text{ разъ больше.}$$

Кромѣ такого значительного сбереженія въ количествѣ желѣза, получается еще простота устройства, такъ какъ для закрѣплениія змѣевика стѣна доводится до требуемой высоты, отдѣльные змѣевики укладываются надлежащимъ образомъ, покрываются слоемъ цементнаго раствора, и затѣмъ кладка стѣны продолжается, не требуя дополнительныхъ работъ, какъ при закрѣплениіи анкеровъ.

При значительной ширинѣ помѣщенія, когда необходимо примѣнить двутавровыя желѣзныя балки, фиг. 15, является вопросъ, какъ закрѣпить концы продольныхъ прутьевъ, прилагающіе къ наружнымъ стѣнамъ?

Практика выяснила, что лучше всего оставлять эти концы незакрѣпленными и разсчитывать покрытие какъ плиту съ одною закрѣпленной опорой, а съ другою свободной, фиг. 29. При такихъ условіяхъ наибольшій изгибающій моментъ получится въ сѣченіи на разстояніи $\frac{3}{16}$ пролета l_1 отъ незакрѣпленной опоры и выразится чрезъ

$$M_1 = \frac{9 p l_1^2}{128}, \text{ гдѣ}$$

p кил. на кв. м. выражаетъ равномѣрно распределенную нагрузку,

l_1 —расстояніе отъ полки крайней балки до стѣны.

Для плиты съ обѣими закрѣпленными опорами наибольшій разсчетный изгибающій моментъ выразится чрезъ $M = \frac{pl^2}{24}$.

Поэтому при той же толщинѣ покрытия d получимъ $\frac{9 p l_1^2}{128} = \frac{p l^2}{24}$; отсюда

$$l_1 = \sqrt{\frac{128 l^2}{216}} = 0,77.l \text{ или около } \frac{2}{3} l.$$

Такимъ образомъ, при одной и той же толщинѣ покрытия d разстояніе l_1 крайней балки отъ стѣны должно

составлять около $\frac{2}{3}$ расстояния l между средними балками, представляющими закрѣпленные опоры.

Въ строительномъ отношеніи весьма важна упругость покрытия, которая опредѣляется величиной прогиба остающегося и исчезающаго (упругаго) при послѣдовательныхъ нагрузкахъ и разгрузкахъ.

Испытанія, произведенныя 12-го декабря 1897 г. официальнойю комиссіей, вполнѣ подтвердили результаты теоретической разработки вопроса о сопротивленіи покрытия.

Результаты опытныхъ нагрузокъ.

Испытанію подвергалось покрытие приведенныхъ выше размѣровъ, т. е. при разстояніи между полками двутавровыхъ балокъ $l=2,8$ метра; толщина покрытия посерединѣ $d=10$ сантим.; диаметръ прутьевъ $\delta = 1$ сантим.; разстояніе между ихъ центрами $b = 6$ сантим. и отъ внутренней поверхности $a=1,5$ сантим. Составъ бетона: 1 часть цемента и 4 части песку.

Прогибы измѣрялись особымъ рычажнымъ приборомъ; величины равномѣрно распределенныхъ нагрузокъ и соотвѣтствующихъ прогибовъ приведены въ прилагаемой таблицѣ 1.

Таблица 1.

Полная равномерно распределенная нагрузка въ килогр.	Нагрузка на 1 кв. метръ, въ килогр.	Величина прогиба въ сантим.
1.117	381	0,06
2.117	722	0,11
3.117	1.064	0,16
4.117	1.405	0,22
5.117	1.746	0,26
6.117	1.087	0,33
7.117	2.429	0,41
8.117	2.770	0,51
9.117	3.111	0,58
10.117	3.452	0,68
11.117	3.793	0,76
12.117	4.134	0,85
13.117	4.476	0,95
14.117	4.817	1,02
15.117	5.158	1,10
16.117	5.500	1,18
17.118	5.841	1,32
18.117	6.182	1,42
19.116	6.523	1,50
20.245	6.910	1,67

Наибольшая нагрузка 20.245 килогр. оставалась на покрытии 4 дня, и въ первый день прогибъ увеличился на 0,25 сантим., а въ слѣдующій день еще на 0,02 сантим.; въ теченіе же двухъ послѣднихъ дней увеличенія прогиба не наблюдалось, такъ что наибольшій полученный прогибъ равенъ

$$1,67 \text{ сантим.} + 0,25 \text{ сантим.} + 0,02 \text{ сантим.} = 1,94 \text{ сантим.}$$

При постепенной разгрузкѣ прогибъ уменьшался слѣдующимъ образомъ:

Нагрузка дѣйствующая на покрытие, въ килогр.	Разгрузка полная въ килогр.	Разгрузка на 1 гр./метръ въ килогр.	Прогибъ въ сантим.
19.117	1.128	385	1,93
18.117	1.000	341	1,92
17.117	—	—	1,89
16.117	—	—	1,86
15.117	—	—	1,82
14.117	—	—	1,76
13.117	—	—	1,73
12.117	—	—	1,71
11.117	—	—	1,66
10.117	—	—	1,59
9.117	—	—	1,51
8.117	—	—	1,44
7.117	—	—	1,36
6.117	—	—	1,27
5.117	—	—	1,18
4.117	—	—	1,10
3.117	—	—	1,01
2.117	—	—	0,79
1.117	—	—	0,64
0	1.117	371	0,58

Послѣ полной разгрузки наблюдалось дальнѣйшее уменьшеніе прогиба и по истеченіи двухъ дней остался ничтожный прогибъ въ 0,06 сантим.

При наибольшей нагрузкѣ, равно какъ и при постепенной разгрузкѣ, въ покрытии при самомъ тщательномъ изслѣдованіи не оказалось никакихъ трещинъ или ничтожныхъ поврежденій. Коммисія признала предложенное покрытие очень выгоднымъ въ смыслѣ примѣненія и расхода материала. Быстрое примѣненіе и распространеніе въ Германіи (104.000 квад. метровъ въ теченіе полугода) доказываютъ

его практичность и указанные выше преимущества сравнительно съ другими болѣе тяжелыми и дорогими покрытиями.

Въ фиг. 26 зависимость между нагрузками и соответствующими прогибами выражена графически ломанными линиями: 1) *OAM*—при постепенной нагрузкѣ, и 2) *ON*—при разгрузкѣ.

По вертикальной оси отложены опытные прогибы, увеличенные въ десять разъ, по горизонтальной же оси—полныя нагрузки на все покрытие.

Изъ разсмотрѣнія ломанной *OABM* слѣдуетъ, что при постепенныхъ нагрузкахъ отъ 0 до 4.117 килогр., или 1.405 килогр. на квадр. м., зависимость между прогибами и соответственными нагрузками выражается прямую линіей *OD*, т. е. прогибы въ указанныхъ предѣлахъ пропорціональны нагрузкамъ, и поэтому все покрытие можно рассматривать какъ упругое тѣло. Допускаемой на практикѣ нагрузкѣ $p = 1.200$ килогр.-метр., или 3.360 килогр. на 1 погонный метръ покрытия, т. е. абсциссѣ *Oa*, соответствуетъ прогибъ *Aa*, равный 0,17 сантим. При этомъ допускаемая нагрузка меныше той предѣльной нагрузки ($od = 4.117$ килогр.), которая соответствуетъ указанному предѣлу упругости (точка *D*).

Ломанная линія *OADB* весьма близко подходитъ къ прямой *OB*. Обращая вниманіе на то, что ординаты діаграммы равны удесятереннымъ дѣйствительнымъ прогибамъ, можно принять, что точка *B* соответствуетъ предѣлу упругости. Абсцисса ея $ob = 7.117$ килогр. на 1 пог. метръ, или $p_1 = 2.429$ килогр.-метр., выразить предѣльную нагрузку, вызывающую упругія прогибы. Въ этомъ случаѣ допускаемая нагрузка $p = 1.200$ килогр. на кв. м. составитъ половину предѣльной.

Наконецъ, вся ломанная *OABM* сравнительно мало удаляется отъ прямой *OC*, и поэтому, въ общемъ, можно допустить, что прогибы пропорціональны опытнымъ нагрузкамъ въ предѣлахъ отъ 0 до 20.245 килогр. на 1 погон-

ный метръ, или 6.910 кил. на кв. м. покрытія, чѣдь составлять почти ушестиренную допускаемую нагрузку.

Разность между крайними ординатами $mN - mM = MN$ выражаетъ удесятиренное увеличеніе прогиба при продолжительномъ дѣйствіи нагрузки (два дня); та же разность ординатъ для промежуточныхъ нагрузокъ выразитъ удесятиренную разность прогибовъ при разгрузкѣ и нагрузкѣ, принимая во вниманіе указанное выше увеличеніе прогиба MN отъ продолжительнаго дѣйствія наибольшей нагрузки. При полной разгрузкѣ оставшійся прогибъ въ 0,58 сантим. уменьшился въ теченіе двухъ дней до 0,06 сантим., т. е. почти исчезъ. Все это доказываетъ, что предложенное покрытие при большихъ и продолжительныхъ нагрузкахъ обладаетъ какъ-бы нѣкоторою тягучестью, даетъ значительную деформацію, исчезающую при разгрузкѣ. Это свойство важно въ томъ отношеніи, что передъ полнымъ разрушеніемъ покрытия должна явиться постепенно значительная, замѣтная деформація, и потому нельзя ожидать внезапнаго, быстрого обрушенія.

3) Ребристое железо-бетонное покрытие инженера Коенен'a.

При устройствѣ описаннаго выше плоскаго покрытия изъ плитъ Монье желѣзныя двутавровыя балки служатъ опорами для плитъ. При отсутствіи какой-либо прочной взаимной связи между плитами и поддерживающими ихъ балками каждая изъ этихъ двухъ составныхъ частей покрытия сопротивляется дѣйствію нагрузки совершенно независимо, самостоятельно. Желѣзо, распределенное надлежащимъ образомъ въ плитахъ, сопротивляется почти исключительно растяженію, т. е. утилизируется наивыгоднѣйшимъ образомъ; желѣзо же двутавровыхъ балокъ, подверженныхъ изгибу, работаетъ частью на растяженіе, частью на сжатіе, т. е. примѣнено съ меньшою выгодой. Эта потеря въ наиболѣе дорогое матеріалѣ является значительною при небольшихъ сравнительно разстояніяхъ между балками (до 1,2—2,8 метр.).

Инженеръ Коененъ, желая избѣжать этой потери, предло-

жиль ребристое желѣзо-бетонное покрытие, черт. II, фиг. 30 и 32, въ которомъ вся масса желѣза сопротивляется почти исключительно растяженію, а бетонъ—сжатію. Все покрытие по идеѣ представляетъ одну плиту Монье, въ которой желѣзные продольные прутья замѣнены двутавровымъ или однотавровымъ желѣзомъ незначительной высоты (№ 8 или № 10 норм. германск. профили).

Каждая такая желѣзная балка, фиг. 31, окружена бетономъ и вмѣстѣ съ нимъ образуетъ отдѣльный элементъ покрытия, представляющій какъ-бы одну желѣзо-бетонную балку, за которой оба материала связаны въ одно цѣлое и могутъ быть примѣнены наивыгоднѣйшимъ образомъ при надлежащемъ распределеніи.

Разстояніе между желѣзными балками отъ 25 сант. до 30 сант. Въ промежуткахъ между ними бетонъ образуетъ маленькие своды, желоба. При такомъ устройствѣ является возможность получить требуемую прочную связь между бетономъ и желѣзомъ, и подвергнуть желѣзо почти одному растяженію, примѣняя для этого наименьшее количество бетона. Благодаря этому, получается сравнительно легкое, прочное, вполнѣ монолитное покрытие. Оно выгодно при значительной длины или ширинѣ помещения, когда можно расположить поперечные балки, опирающіяся на колонны. При постоянныхъ разстояніяхъ между балками покрытия устройство его весьма просто, примѣняя для сводиковъ формы изъ желѣзныхъ изогнутыхъ листовъ *a*, фиг. 32, которые подвѣшиваются къ балкамъ особыми скобами. При этомъ внутреннія поверхности сводиковъ получаются на столько правильными и гладкими, что не требуютъ штукатурки.

Для уменьшенія тепло-и звукопроводности можно сдѣлать потолочную обшивку, фиг. 33 и 34, и штукатурку, располагая на нижнихъ полкахъ балокъ короткіе деревянные бруски, поддерживающіе потолокъ.

Покрытие подвергалось испытаніемъ въ «Königliche Bau-polizei» (Berlin) въ сентябрѣ 1894 г.; результаты этихъ опытовъ приведены ниже.

Расчетъ ребристаго покрытия.

Главныя основанія разсчета тѣ же какъ и въ предыдущихъ случаяхъ, т. е. предполагается:

1) что бетонъ сопротивляется одному сжатію, а желѣзо—растяженію, и 2) любое плоское сѣченіе m_n , фиг. 36, при деформармациіи покрытія остается плоскимъ же m_{n_1} .

Выше было пояснено, что измѣнія количество желѣза, расположенного въ нижней части покрытія, можно заставить бетонъ принять большее или меньшее участіе въ сопротивленіи раздробленію, вызывая этимъ соотвѣтственное перемѣщеніе нейтрального слоя.

Въ приведенномъ ниже способѣ разсчета предполагается, что количество и распределеніе желѣза подобраны такъ, чтобы нейтральный слой OO касался верхнихъ полокъ двухъровыхъ балокъ, фиг. 35. При такомъ условіи получится наивыгоднѣйшее распределеніе матеріаловъ, такъ какъ главная масса бетона, фиг. 35, лежащая выше нейтрального слоя, будетъ подвержена исключительно сжатію, а желѣзо—одному растяженію. Незначительное количество бетона ниже нейтрального слоя можетъ оказаться ничтожное сопротивленіе растяженію, и поэтому можетъ быть не принято въ разсчетъ. Такимъ образомъ, бетонъ ниже нейтрального слоя будетъ служить только для связи желѣза съ главною массой бетона.

Поэтому для возможно меньшаго расхода бетона шелыги сводиковъ должны касаться нейтрального слоя, т. е. подъемъ ихъ долженъ равняться высотѣ балокъ.

Для примѣрнаго разсчета положимъ, что требуемая высота покрытія равна $H = 20$ сант., фиг. 35, 36; допускаемое наибольшее напряженіе:

для бетона $R_1 = 30$ кил. на кв. сант.

для желѣза $R_2 = 750$ кил. на кв. сант.

полезная нагрузка $q = 450$ кил. на кв. метръ.

Требуется опредѣлить:

1) наивыгоднѣйшій пролетъ l ,

- 2) наименьшую толщину бетона — c ,
 3) высоту h и размѣры желѣзныхъ двутавровыхъ балокъ, и
 4) разстояніе между ними — b .

По условію

$$H = c + h = 20. \quad \quad (1)$$

Если допустимъ, фиг. 36, что среднее сѣченіе $m n$ при деформаціи покрытія выразится плоскимъ же сѣченіемъ $m_1 n_1$ и назовемъ e_1 и e_2 измѣненія длины крайнихъ частицъ бетона и желѣза, то изъ подобія треугольниковъ $om m_1$ и $on n_1$ получимъ:

$$\frac{e_1}{e_2} = \frac{c}{h}.$$

Съ другой стороны, $e_1 = \frac{R_1}{E_1}$ и $e_2 = \frac{R_2}{E_2}$, гдѣ E_1 и E_2 — коэффиціенты упругости для бетона при сжатіи и для желѣза — при растяженіи.

Подставляя эти значенія въ предыдущее уравненіе, получимъ

$$\frac{R_1 \cdot E_2}{E_1 \cdot R_2} = \frac{c}{h} \quad \quad (a)$$

Для бетона состава 1:3 можно принять въ среднемъ $E_1 = 80.000$ кил. на кв. сант. а для литаго желѣза $E_2 = 2.000.000$ кил. на кв. сант.

Поэтому, подставляя вместо R_1 и R_2 данные предѣльные напряженія, получимъ

$$\frac{30 \times 2.000.000}{80.000 \times 750} = \frac{c}{h} \text{ или } 1 = \frac{c}{h}, \text{ т. е.}$$

$$c = h, \quad \quad (2)$$

Слѣдовательно, при сдѣланныхъ основныхъ предположеніяхъ наименьшая толщина бетона равна высотѣ балки.

Изъ уравненій (1) и (2) слѣдуетъ:

$$2c = 20,$$

$$c = 10 \text{ сант.},$$

$$h = 20 - 10 = 10 \text{ сант.}$$

По высотѣ h при данномъ сортиментѣ желѣза опредѣляются размѣры поперечного сѣченія двутавровой балки. Для

нормальной германской профили № 10, фиг. 35, ширина палки $b_1 = 5$ сант.; толщина ребра $d = 0,45$ сант.; толщина полки $\delta = 0,68$ сант., площадь поперечного сечения $F_1 = 10,7$ кв. сант.; въсъ 1 пог. метра — $p = 8,3$ килогр.

Такимъ образомъ, остается опредѣлить:

- 1) разстояніе между балками, и
- 2) наивыгоднѣйшій пролетъ l .

Допустимъ, что при ширинѣ покрытія $B = 100$ сант. равнодѣйствующая всѣхъ внутреннихъ сжимающихъ силъ для бетона выразится чрезъ T_1 , и равнодѣйствующая внутреннихъ растягивающихъ силъ для желѣза — T_2 , фиг. 37.

Для равновѣсія выдѣланной половины покрытія, лежащей влѣво отъ сеченія $m\bar{m}$, фиг. 37, зависимость между внутренними и внѣшними силами выразится слѣдующими двумя статическими условіями:

- 1) $T_1 = T_2$
- 2) $M = W$, т. е.

моментъ внѣшнихъ силъ относительно центра O сеченія $m\bar{m}$ долженъ равняться суммѣ моментовъ W внутреннихъ силъ T_1 и T_2 относительно того же центра.

Въ первомъ условіи T_1 выразится объемомъ треугольной призмы $Om\bar{m}_1$, фиг. 37, и пройдетъ чрезъ центръ тяжести треугольника $Om\bar{m}_1$;

$$T_1 = \frac{30 \times 100 \cdot c}{2} = 1.500 \text{ c.}$$

Подобнымъ же образомъ въ каждомъ элементѣ покрытія равнодѣйствующая растягивающихъ силъ T_2 выразится объемомъ $Onn_1 = v$, фиг. 37 и 38, и пройдетъ чрезъ его центръ тяжести.

Если обозначимъ площадь поперечного сечения всѣхъ желѣзныхъ балокъ, при ширинѣ покрытія $B = 100$ сант., чрезъ F , то, фиг. 38,

$$T_2 = F \cdot \frac{750 + 0}{2} = 375 \cdot F,$$

гдѣ 750 кил. на кв. сант. наибольшее напряженіе въ нижнихъ частицахъ балки.

Такимъ образомъ, изъ первого условия равновѣсія получимъ

$$1.500 \ c = 375 \ F \text{ милим. } 4 \ c = F \dots \dots \quad (3)$$

т. е., вообще, площадь поперечного сѣченія всего желѣза заключаетъ столько квадратныхъ сантиметровъ, сколько линейныхъ сантиметровъ содержится въ учетверенной толщинѣ бетона.

Въ данномъ случаѣ $c = 10$ сант.; слѣдовательно

$$F = 4 \times 10 = 40 \text{ кв. сант.}$$

Поперечное сѣченіе двутавровой балки № 10

$$F_1 = 10,7 \text{ кв. сант.};$$

поэтому число балокъ (n) при ширинѣ покрытия 100 сант. равно

$$n = \frac{40}{10,7} = 3,74$$

и разстояніе между ними (b), фиг. 35,

$$b = \frac{100}{3,74} = 26,73 \text{ сант. (27 сант.)}.$$

Наивыгоднѣйшій пролетъ опредѣлится изъ 2-го условия равновѣсія:

$$M = \frac{pl^2}{8} = W, \dots \dots \dots \quad (4)$$

гдѣ p — полная нагрузка на 1 кв. метръ покрытия, а W — сумма моментовъ равнодѣйствующихъ T_1 и T_2 относительно центра O , фиг. 37.

Вѣсъ 1 кв. метра покрытия (q_1) примѣрно выразится, принимая среднюю толщину бетона $h_1 = 10 + \frac{10}{2} = 15$ сант., чрезъ

$$q_1 = 2.000 \times 0,15 - 0,00107 \times 3,74 \times 2.000 + 8,3 \times 3,74 = 323 \text{ кил. на кв. сант.}$$

Поэтому полная нагрузка будетъ

$$p = q + q_1 = 450 + 323 = 773 \text{ кил. на кв. сант.}$$

Моментъ равнодѣйствующей T_1 относительно центра O , фиг. 37, выразится такъ:

$$M_1 = \frac{2 c \cdot T_1}{3} = \frac{2 \times 10 \times 15.000}{3} = 100.000 \text{ кил.-сант.}$$

Моментъ равнодѣйствующей T_2

$$M_2 = T_2 \cdot x, \text{ гдѣ}$$

x — разстояніе отъ центра тяжести объема v , фиг. 38 и 37, до нейтрального слоя. Опредѣлить его можно слѣдующимъ образомъ.

Назовемъ объемъ треугольной части ребра, фиг. 38 чрезъ v_1 и разстояніе отъ его центра тяжести до нейтрального слоя чрезъ x_1 ; тѣ же величины для объема полки— чрезъ v_2 и x_2 .

$$\text{Тогда } x = \frac{v_1 \cdot x_1 + v_2 \cdot x_2}{v}.$$

При приведенныхъ выше размѣрахъ балки № 10 получимъ:

$$v_1 = \frac{750 \times 10 \times 0,45}{2} = 1.687$$

$$x_1 = \frac{2 \times 10}{3} = 6,6 \text{ сант.}$$

$$v_2 = 750 \times 5 \times 0,68 = 2.550$$

$$x_2 = 10 - \frac{\frac{5}{3}}{2} = 10 - 0,34 = 9,66 \text{ сант.}$$

$$v = T_1 = T_2 = 15.000.$$

$$\text{Поэтому } x = \frac{(1.687 \times 6,6 + 2.550 \times 9,66) \times 3,74}{15.000} = 8,92 \text{ сант.}$$

$$M_2 = T_2 \cdot x = 15.000 \times 8,92 = 133.800 \text{ кил.-сант.}$$

Слѣдовательно

$$M = \frac{p \cdot l^2}{8} = \frac{773 \cdot l^2}{8 \times 1.000} = 100.000 + 133.800 = 233.800 \text{ кил.-сант.}$$

$$l = \sqrt{\frac{233.800 \times 8 \times 1.000}{773}} = 492 \text{ сант.} = 4,92 \text{ метра.}$$

Изъ приведенного примѣра видно также, что, пользуясь тѣми же 4 уравненіями, можно по данному пролету, высотѣ покрытія и предѣльнымъ напряженіямъ опредѣлить изъ четвертаго уравненія ($M = \frac{pl^2}{8} = W$) полную равномѣрно распределенную нагрузку; высоту же балки, толщину бетона и разстояніе между балками очень легко получить изъ первыхъ трехъ уравненій.

Изъ треугольника *Omn*, фиг. 37, выражающаго распределение напряженій внутреннихъ растягивающихъ силъ для желѣзной балки, видно, что верхняя полка подвергается ничтожнымъ растягивающимъ усилиямъ. Поэтому для сбереженія желѣза выгоднѣе примѣнить однотавровыя балки, фиг. 40, хотя въ этомъ случаѣ связь между бетономъ и балкой будетъ меньше, такъ какъ уменьшится площадь прикосновенія между бетономъ и желѣзомъ.

Если допустить, что нейтральный слой (*OO*) при надлежащемъ распределеніи желѣза касается ребра однотавровой балки, фиг. 40, то расчетъ покрытия будетъ основанъ на тѣхъ же простыхъ четырехъ уравненіяхъ, какъ и при двутавровыхъ балкахъ.

Но даже при употребленіи однотавровыхъ балокъ, уменьшающихъ количество желѣза почти на $\frac{1}{3}$, ребристое покрытие требуетъ значительно больше желѣза, чѣмъ плоское покрытие системы Кoenen'a, и поэтому въ настоящее время оно мало примѣняется на практикѣ.

При равномѣрно распределенной нагрузкѣ, вызывающей наибольшія напряженія въ среднемъ сѣченіи и наименьшія—надъ опорами, является значительный излишекъ желѣза, рассчитанного по наиболѣшимъ напряженіямъ и расположеннаго равномѣрно по всей длине покрытия.

Этотъ существенный недостатокъ описанного покрытия при употребленіи однотавроваго желѣза, фиг. 40 и при незначительныхъ пролетахъ является не столь ощутительнымъ; поэтому такое покрытие можно примѣнить въ тѣхъ случаяхъ, когда имѣются поперечныя поддерживающія балки или стѣны, близко расположенные другъ отъ друга.

Результаты испытаний.

Пробной равномѣрно распределенной нагрузкѣ до полнаго обрушенія подвергалось ребристое покрытие при пролетѣ $l = 4,8$ метра, толщинѣ бетона $c = 5$ сант., высотѣ балокъ $h = 8$ сант., разстояніи между ними $b = 25$ сант., площади поперечнаго сѣченія двутавровой балки № 8 $F_1 = 7,6$ кв. сант.

Собственный вѣсъ покрытия

$$q_1 = 175 \text{ кил. на кв. метръ.}$$

Разсчетная, допускаемая нагрузка 325 кил. на кв. метръ. Обрушение послѣдовало при полезной нагрузкѣ 2.565 килогр. на кв. метръ.

Прогибы измѣрялись посерединѣ пролета особымъ рычажнымъ приборомъ. Величина полезныхъ нагрузокъ q и соотвѣтствующіе прогибы δ приведены въ слѣдующей таблицѣ:

q кил. на кв. метръ.	δ милим.
250	2
500	5
750	7
1.000	13
1.250	17
1.500	21
1.750	26
2.000	35
2.250	51
2.500	73
2.565	89

Въ фиг. 39 представлена діаграмма, выражающая зависимость между нагрузками q и соответствующими прогибами. По вертикальной оси отложены прогибы, полученные при испытаніяхъ; по горизонтальной оси—равномѣрно распределенные нагрузки q .

Діаграмма показываетъ, что пропорціональность между прогибами и нагрузками можно принять до $q = 750$ килогр. на кв. метръ, т. е. допускаемая нагрузка (разсчетная) $q_1 = 325$ килогр. на кв. метръ, составляетъ меньше. $^{1/2}$ этой предѣльной нагрузки. Кривая OAB мало отличается отъ прямой OB , крайней точкѣ которой B соотвѣтствуетъ нагрузка $q = 1.500$ кил. на кв. метръ.

Допускаемая нагрузка въ $\frac{1.500}{325} = 4,6$ раза меньше этой наибольшей нагрузки. Отсюда, вообще, можно заключить,

что покрытие обладает значительной упругостью, пределъ которой превышаетъ допускаемую нагрузку отъ 2 до 4 разъ.

Въ предыдущихъ расчетахъ желѣзо-бетонныхъ покрытий были приняты слѣдующіе предѣлы прочнаго сопротивленія:

- 1) для бетона состава 1 : 3 при сжатіи 30 кил. на кв. сант.
- 2) » » » » растяженіи 33 кил. на кв. сант.
- 3) для желѣза при растяженіи 750 кил. на кв. сант.

Между тѣмъ опытъ показываетъ, что въ существующихъ бетонныхъ мостахъ возможно допустить напряженіе 50 кил. на кв. сант., такъ какъ нормальные образцы изъ хорошаго цемента обладаютъ черезъ 6 мѣсяцевъ по изготовленіи временнымъ сопротивленіемъ раздробленію 350 кил. на кв. сант. Принимая поэтому за предѣлъ прочнаго сопротивленія сжатію 50 кил. на кв. сант., получимъ 7-й запасъ прочности.

Точно также для литаго желѣза, при отсутствіи ударовъ или сильныхъ сотрясеній, вполнѣ безопасно можно принять 1.000 кил. на кв. сант. и даже 1.500 кил. на кв. сант.

4) Какъ примѣръ широкаго и смѣлаго примѣненія желѣза и бетона можно привести складъ для солода, устроенный въ Milwaukee (С. Америка) для Hansen Hor и С° и описанный въ »Cement and Engineering News«; Chicago; октябрь 1896; № 4 и февраль 1897 г. № 2.

Поперечный разрѣзъ склада показанъ въ фиг. 43. Зданіе состоитъ изъ 8 этажей, изъ которыхъ 7 нижнихъ высоцою 2,62 метра а верхній—2,35 метра. Боковыя стѣны, всѣ междуэтажныя покрытия и потолокъ верхняго этажа сдѣланы изъ бетона, усиленного желѣзомъ въ междуэтажныхъ покрытияхъ. Поперечный разрѣзъ междуэтажнаго покрытия и фасадъ показаны въ фиг. 41 и 42.

Главныя данныя слѣдующія:

Площадь междуэтажныхъ желѣзо-бетонныхъ покрытий	9.720	кв. метр.
---	-------	-----------

Площадь плоскаго бетоннаго потолка толщиною 5 сант.	2.000	» »
---	-------	-----

Общая площадь бетонныхъ стѣнъ	830	» »
---	-----	-----

Пролетъ для междуэтажнаго, покрытия и потолка	5,08 метр.
Безопасная нагрузка для по- крытий	980 кил. на кв. метръ
Весь потолка	122 » » »
Допускаемая нагрузка.	170 » » »
Опутная нагрузка.	735 » » »

Ширина зданія, фиг. 43, 27,22 метр. Плоскія покрытия поддерживается поперечными двутавровыми балками, фиг. 42 и 43, разстояніе между которыми равно 5,08 метра; поперечные балки лежать на лицевых стѣнахъ и двухъ рядахъ желѣзныхъ колоннъ; разстояніе отъ стѣнъ до колоннъ—8,93 метр.

Всѣ металлическія части покрыты слоемъ цементнаго раствора толщиною 3—5 сант., для полученія полной огнеупорности.

Междуетажное плоское покрытие, представленное въ разрѣзѣ въ фиг. 41 и въ фасадѣ въ фиг. 42, можетъ быть названо также ребристымъ; въ Америкѣ оно извѣстно подъ именемъ «Ransome's System».

Толщина бетоннаго покрытия 5 сант. На взаимномъ разстояніи 69 сант. сдѣланы бетонные приливы-ребра высотою 23 сант., шириной 7,6 сант. Въ нижней ихъ части расположены скрученныя полосы желѣза квадратнаго сечения, площадью 6,5 кв. сант. (1 кв. дюймъ); полосы эти лежать на нижнихъ полкахъ поперечныхъ двутавровыхъ балокъ. Такимъ образомъ, при незначительной толщинѣ покрытия, ребра придаютъ ему требуемую жесткость и вмѣстѣ съ тѣмъ позволяютъ расположить желѣзо возможно ниже отъ нейтрального слоя, и слѣдовательно подвергнуть его исключительно растяженію. Ребра, усиленныя желѣзомъ, представляютъ какъ-бы продольныя желѣзо-бетонныя балки значительной высоты, а бетонное покрытие—плиты, связанныя въ одно вполнѣ монолитное покрытие. Отличительную чертой этой системы, кромѣ указанной жесткости, монолитности, огнеупорности, является малый вѣсъ, простота устройства и

гигієнічность. Весь 1 кв. метра покритія безъ пола прімѣрно выражется такъ:

весь бетона

$$\frac{100}{69} \times (69,5 + 23 \times 7,6) \times 0,2 = 217,5 \text{ килогр.}$$

весь желѣза. 500 \times 6,4 \times 7,8 = 25 \text{ килогр.}

Всего . . . 242,5 килогр.

Нагрузка, дѣйствію которой подвергается покрытие, $p = 980$ кил. на кв. сант., т. е. весь покрытия составляетъ менше $\frac{1}{4}$ полезной нагрузки, что объясняется выгоднымъ распределеніемъ матеріаловъ и значительными напряженіями, которыя можно допустить при тщательной работѣ и доброкачественныхъ матеріалахъ. (Расчетъ см. ниже).

Для устройства покрытия, къ нижнимъ полкамъ поперечныхъ балокъ подвѣшиваются помошью загнутыхъ болтовъ, фиг. 45, толстые доски *A*. Между нижними полками и досками *A* располагаютъ у болтовъ небольшіе бетонные камни *B*, для того чтобы получить промежутокъ, позволяющій бетону проникнуть при трамбованіі подъ нижнюю полку балки и предохранить ее отъ непосредственного дѣйствія огня.

На подвѣшенныя доски *A*, фиг. 45, укладываются разборчатыя досчатыя формы *C*, соединяющіяся между собой по діагоналямъ *D*. При такомъ устройствѣ формы имѣютъ малый вѣсъ и легко убираются. Длина ихъ разсчитана такъ, чтобы получился достаточной толщины слой бетона, покрывающій ребра поперечныхъ балокъ. Такимъ образомъ, при обыкновенномъ трамбованіі бетона все покрытие отливается цѣликомъ весьма просто и не требуется дополнительныхъ работъ для штукатурки поперечныхъ балокъ. Когда бетонъ отвердѣеть, формы *C* поддерживаются временными подпорками, доски *A* постепенно отвинчиваются, и формы убираются. Для большей связи съ бетономъ реберъ желѣзныя полосы нѣсколько скручены, фиг. 42, такъ что представляютъ собою винтовыя поверхности. Концы полосъ укладываются на нижнихъ полкахъ поперечныхъ балокъ.

При полной монолитности и прочной связи со стѣнами, покрытие является непроницаемымъ для воздуха и воды:

верхняя поверхность его представляетъ готовый бетонный полъ и прочное плоское основаніе для подовъ другаго типа.

Расчетъ покрытия.

Допустимъ, что требуется опредѣлить величину полной равномѣрно распределенной нагрузки p для покрытия, представленного въ фиг. 41 и 42. Высота ребра $H = 23$ сант., ширина $b_1 = 7,6$ сант., толщина плиты $h = 5$ сант., разстояніе между осями реберъ $l_1 = 69$ сант., поперечное сѣченіе желѣзной полосы $F = 6,4$ кв. сант., разстояніе отъ ея центра до плиты— $d = 19$ сант. Разстояніе между поперечными балками $l = 5$ метр.

Прочное сопротивленіе бетона сжатію 37 кил. на кв. сант., растяженію—5 кил. на кв. сант.; для желѣза прочное сопротивленіе растяженію—1.500 кил. на кв. сант.

Покрытие можно рассматривать какъ-бы состоящимъ изъ плитъ AB , фиг. 46, съ закрѣпленными концами и поддерживающихъ ихъ реберъ A и B .

Подъ дѣйствиемъ равномѣрно распределенной нагрузки плиты стремятся прогнуться въ плоскости перпендикулярной къ оси реберъ; одновременно съ этимъ каждое ребро съ соотвѣтствующимъ участкомъ плиты шириной 69 сант., фиг. 44, изгибаются въ плоскости, проходящей черезъ ось ребра.

Поэтому расчетъ покрытия сводится:

1) къ разсчету плитъ съ закрѣпленными концами, принимая за пролетъ разстояніе между смежными ребрами $l_1 = 61,4$ сант., фиг. 46, и

2) къ разсчету ребра и плиты шириной 69 сант., фиг. 47, рассматривая ихъ какъ одну цѣлую желѣзо-бетонную балку.

1) Разсчетъ бетонной плиты AB , фиг. 46, можно сдѣлать на основаніи слѣдующихъ соображеній.

Наибольшія напряженія получатся въ сѣченіяхъ mp опоръ, гдѣ наибольшій изгибающій моментъ M выразится чрезъ $M = \frac{pl^2}{12}$.

Допустимъ, что при нагрузкѣ p кил. на кв. сант. плоское сжатіе mm приметъ положеніе nn , фиг. 47, и наибольшія измѣненія длины верхнихъ и нижнихъ частицъ бетона выражатся чрезъ

$$mm_1 = e_1 \quad \text{и} \quad nn_1 = e_2.$$

Если обозначимъ чрезъ x разстояніе отъ верхней поверхности плиты до нейтрального слоя, предельные напряженія, соотвѣтствующія e_1 и e_2 , — чрезъ R_1 и R_2 , а коэффиціенты упругости чрезъ E_1 и E_2 то, какъ было выведено выше (см. результаты опытовъ надъ плитами),

$$\frac{e_1}{e_2} = \frac{x}{5-x}, \quad \text{гдѣ}$$

5 сант. — толщина плиты.

$$R_1 = E_1 \cdot e_1 \quad \text{и} \quad R_2 = E_2 \cdot e_2$$

$$R_1 \cdot x = R_2 (5 - x)$$

$$E_1 e_1 \cdot x = E_2 e_2 (5 - x)$$

$$\frac{x}{5-x} = \sqrt{\frac{E_1}{E_2}} = \sqrt{\frac{1}{10}} = \frac{1}{3,16}.$$

Изъ этого уравненія, опредѣляющаго положеніе нейтрального слоя, получимъ

$$5 - x = 3,16 x$$

$$4,16 x = 5$$

$$x = \frac{5}{4,16} = 1,2 \text{ сант.}$$

Если предѣль прочнаго сопротивленія бетона растяженію $R_2 = 5$ кил. на кв. сант., то наиболѣшее значеніе равнодѣйствующей T_2 всѣхъ внутреннихъ растягивающихъ силъ выражится, фиг. 48, при ширинѣ плиты $b = 100$ сант. чрезъ

$$T_2 = \frac{5 \times 3,8 \times 100}{2} = 950 \text{ килогр.}$$

Наибольшее возможное напряженіе въ сжатыхъ частицахъ бетона R_1 получится изъ равенства $T_1 = T_2$, или

$$\frac{R_1 \times 1,2 \times 100}{2} = 950 \text{ килогр.}$$

$$R_1 = \frac{950 \times 2}{100 \times 1,2} = 15,8 \text{ кил. на кв. сант.}$$

Зная такимъ образомъ величины равнодѣйствующихъ T_1 и T_2 и разстоянія ихъ отъ нейтрального слоя O , равныя

$$OK_1 = \frac{2 \times 1,2}{3} \text{ и } OK_2 = \frac{2 \times 3,8}{3},$$

получимъ моментъ сопротивленія плиты въ сѣченіи $m n$:

$$W = \frac{2 \times 950}{3} (1,2 + 3,8) = 3.166,6 \text{ кил.-сант.}$$

Приравнявъ его моменту виѣшнихъ силъ для того же сѣченія, получимъ:

$$M = \frac{pl^2}{12} = \frac{p \times 61,4}{100 \times 12} = 3.166,6 \text{ кил.-сант., или}$$

$$p = \frac{3166,6 \times 100 \times 12}{3769,9} = 1.008 \text{ кил. на кв. сант.}$$

2) Выдѣлимъ часть покрытия, соответствующую одному ребру, фиг. 49. Если рассматривать ее какъ одну желѣзобетонную балку, то общія уравненія, на основаніи которыхъ можно рѣшать всѣ вопросы, будутъ тѣ же, какъ и для предыдущихъ желѣзо-бетонныхъ покрытий.

Если предположить, что при допускаемыхъ на практикѣ нагрузкахъ среднее сѣченіе $m n$, фиг. 50, остается плоскимъ и выражается сѣченіемъ m, n_1 , то разстояніе x отъ нейтрального слоя до верхнихъ частицъ бетона и предѣльные напряженія R_2 — для желѣза и R_1 — для бетона будутъ связаны уравненіемъ

$$1) \frac{R_2}{R_1} = \frac{1}{25} \frac{x}{H-x}, \text{ гдѣ}$$

H — разстояніе отъ центра поперечного сѣченія желѣза до верхнихъ частицъ, и $\frac{1}{25} = \frac{E_1}{E_2}$, т. е. выражаетъ отношеніе коэффициентовъ упругости бетона при сжатіи и желѣза при растяженіи.

Изъ статического условия равновѣсія, требующаго, чтобы сумма горизонтальныхъ проекцій всѣхъ силъ, дѣйствующихъ на часть балки выдѣленную сѣченіемъ $m n$, фиг. 44 и 51, равнялась нулю, получимъ

$$2) T_1 - T_2 = 0 \text{ или}$$

$$T_1 = T_2, \text{ гдѣ}$$

T_1 — равнодѣйствующая всѣхъ внутреннихъ сжимающихъ силъ для частицъ выше нейтрального слоя,

T_2 — равнодѣйствующая всѣхъ растягивающихъ силъ для желѣза.

Обѣ эти равнодѣйствующія зависятъ:

1) отъ допускаемыхъ предѣльныхъ напряженій R_1 и R_2 ,
2) положенія нейтрального слоя, т. е. отъ разстоянія x , и

3) отъ поперечныхъ размѣровъ желѣза и бетона, подверженного сжатію.

Наконецъ, второе условіе равновѣсія, требующее, чтобы сумма моментовъ равнодѣйствующихъ внутреннихъ силъ T_1 и T_2 относительно центра O , лежащаго на нейтральной оси, равнялась моменту вѣшнихъ силъ относительно той же точки, выразится

$$3) M = W,$$

гдѣ W зависитъ отъ x , R_1 , R_2 и поперечныхъ размѣровъ сѣченія *тт.*

Такимъ образомъ, пользуясь этими тремя уравненіями, всегда можно опредѣлить 3 неизвѣстныя при остальныхъ данныхъ величинахъ.

Для примѣра положимъ, что требуется опредѣлить для покрытия, фиг. 41, при данныхъ выше размѣрахъ (при пролѣтѣ $l = 5$ метр. и допускаемомъ напряженіи для желѣза $R_2 = 1.500$ кил. на кв. сант.), слѣдующія величины:

1) разстояніе x отъ нейтрального слоя до верхнихъ частицъ,

2) наибольшую допускаемую равномѣрно распределенную нагрузку p кил. на кв. метръ и

3) повѣрить прочность покрытия, принимая для бетона при сжатіи наибольшее напряженіе $R_1 = 37$ кил. на кв. сант.

Въ данномъ случаѣ, фиг. 49, разстояніе H отъ центра желѣзной полосы до верхнихъ частицъ бетона равно

$$H = 19 + 5 = 24 \text{ сант.}$$

Поэтому уравнение (1) обратится въ

$$\frac{37}{1.500} = \frac{1}{25} \cdot \frac{x}{24-x}, \text{ или}$$

$$60x = 888 - 37x$$

$$x = \frac{888}{97} = 9,15 \text{ сант.}$$

Наибольшее возможное значение равнодѣйствующей T_2 всѣхъ внутреннихъ растягивающихъ силъ для желѣзной полосы при ея поперечномъ сѣченіи $F_1 = 6,4$ кв. сант. выразится такъ:

$$T_2 = R_2 \cdot F = 1.500 \times 6,4 = 9.600 \text{ кил.}$$

Слѣдовательно и равнодѣйствующая всѣхъ внутреннихъ сжимающихъ силъ для бетона $T_1 = T_2$, при допускаемомъ напряженіи $R_1 = 37$ кил. на кв. сант. не должна быть больше 9.600 кил.

При данномъ поперечномъ сѣченіи покрытия, фиг. 51, равнодѣйствующая T_1 выразится объемомъ v , въ которомъ наибольшее ребро $mm_1 = 37$, т. е. допускаемому напряженію, а высота $mO = v = 9,15$ сант., фиг. 51 и 52, и при этомъ T_1 пройдетъ чрезъ центръ тяжести этого объема.

Если назовемъ чрезъ R_0 напряженіе въ частицахъ бетона, лежащихъ на нижней поверхности плиты, фиг. 51 и 52, то объемъ v выразится, фиг. 52.

$$v = T_1 = 69 \times 5 \cdot \frac{37 + R_0}{2} + \frac{R_0 \cdot 4,15 \times 7,6}{2}.$$

Изъ фиг. 52 видно, что

$$\frac{R_0}{R_1} = \frac{R_0}{37} = \frac{4,15}{9,15}; \text{ отсюда}$$

$$R_0 = \frac{37 \times 4,15}{9,15} = 16,8 \text{ килогр.}$$

$$\begin{aligned} \text{Поэтому } T_1 &= 69 \times 5 \cdot \frac{37 + 16,8}{2} = \frac{16,8 \times 4,15 \times 7,6}{2} = \\ &= 9.280,5 + 264,7 = 9.545,2 \text{ килогр.} \end{aligned}$$

Такъ какъ $T_1 = 9.545,2$ весьма мало отличается отъ $T_2 = 9.600$ килогр., то размѣры и форма бетонной части покрытия соотвѣтствуютъ принятому поперечному сѣченію

желѣза и его расположенню, требуемая прочность покрытия обеспечена при наивыгоднѣйшемъ примѣненіи обоихъ матеріаловъ.

Принимая за предѣльное напряженіе для бетона $R_1 = 37$ килогр. на кв. сант., изъ равенства $T_1 = T_2 = R_2 \times 6,4$ получиль $9.543,2 = R_2 \times 6,4$.

$$R_2 = \frac{9545,2}{6,4} = 1.491,4 \text{ килогр. на кв. сант., т. е.}$$

среднее напряженіе въ желѣзной полосѣ получится 1.491,4 килогр., слѣдовательно не превысить допускаемаго наибольшаго напряженія $R_2 = 1.500$ килогр. на кв. сант.

Предѣльная величина допускаемой равномѣрно распределенной нагрузки опредѣлится изъ 3-го уравненія $M = \frac{P^2}{8} = W$.

Можно принять, что равнодѣйствующая растягивающихъ силъ R_2 пройдетъ чрезъ центръ поперечного сѣченія желѣзной полосы, фиг. 51; равнодѣйствующая же R_1 пройдетъ чрезъ центръ тяжести объема v , фиг. 52.

Назовемъ: 1) разстояніе отъ этого центра до нейтрального слоя чрезъ x_1 ,

2) объемъ усѣченной призмы, фиг. 52, выражающей равнодѣйствующую сжимающихъ силъ въ плитѣ покрытия, чрезъ $v_2 = 69 \times 5 \cdot \frac{37 + R_0}{2} = 9.280,5$.

3) объемъ треугольной призмы, выражающей равнодѣйствующую тѣхъ же силъ для ребра.—чрезъ $v_3 = \frac{R_0 \times 4,15 \times 7,6}{2} = 264,7$, и

4) чрезъ x_2 и x_3 —соответствующія разстоянія отъ центровъ тяжести этихъ призмъ до нейтрального слоя.

$$\text{Тогда } x_1 = \frac{x_2 \cdot x_2 + x_3 \cdot x_3}{v}.$$

При этомъ x_2 , какъ разстояніе до центра тяжести трапеци mm_1 , фиг. 52, параллельныя стороны которой равны: $mm_1 = 37$, $R_0 = 16,8$, выразится такъ:

$$x_2 = 9,15 - \frac{37 \times 2 \times 16,8}{37 + 16,8} \cdot \frac{5}{3} = 9,15 - 2,18 = 6,9 \text{ сант.}$$

(5 = высотѣ трапеци).

Величина же $x_3 = \frac{2 \times 4,15}{3} = 2,77$ сант., фиг. 51.

Поэтому $x_1 = \frac{9280,5 \times 6,97 + 264,7 \times 2,77}{9545,2} = 6,96$ сант.

Подставляя въ уравненіе (3), получимъ

$$\frac{\rho l^2}{8} = \frac{\rho \cdot 5 \times 500,69}{8 \times 100} - 9.545,2 (6,96 + 24 - 9,15) = 208.180,8$$

килогр.-сант.

Отсюда

$$\rho = \frac{208180,8 \times 8}{25 \times 69} = 968,3 \text{ килогр. на кв. сант.}$$

При собственномъ вѣсѣ покрытия $q_1 = 245,2$ килогр. допускаемая полезная нагрузка будетъ $q = 968,3 - 245,2 = 723,1$ килогр. на кв. метръ, т. е. почти въ 3 раза больше вѣса покрытия.

Такъ какъ при расчетѣ не принято во вниманіе сопротивленіе бетона растяженію, то прочность покрытия въ дѣйствительности будетъ нѣсколько больше расчетной.

Изъ этого же расчета видно, что равнодѣйствующая всѣхъ внутреннихъ сжимающихъ силъ для ребра $v_3 = 264,7$ кил. мала сравнительно съ равнодѣйствующей тѣхъ же силъ для плиты $v_2 = 9.280,5$ кил.

Поэтому для простоты расчета можно принять, что равнодѣйствующая T_1 всѣхъ внутреннихъ сжимающихъ силъ для бетона выразится объемомъ параллелопипеда, основаніе которого равно поперечному сѣченію плиты, фиг. 52, а высота нѣкоторому среднему напряженію бетона R_0 .

Тогда получимъ

$$T_1 = 69 \times 5 \times R_0 = T_2 = 9.600 \text{ кил.},$$

гдѣ T_2 выражаетъ наибольшее допускаемое значение равнодѣйствующей всѣхъ растягивающихъ силъ для желѣза при предѣльномъ напряженіи $R_1 = 1.500$ кил. на кв. сант.

Изъ предыдущаго уравненія получимъ среднюю величину для напряженія бетона

$$R_0 = \frac{9.600}{69,5} = 28 \text{ кил. на кв. сант.}$$

При сдѣланномъ предположеніи T_1 пройдетъ чрезъ центръ

тяжести параллелопипеда, т. е. разстояніе отъ T_1 до центра желѣзной полосы выразится

$$24 - 2,5 = 21,5 \text{ сант.}$$

Поэтому, фиг. 51, моментъ сопротивленія

$$W = 9.600 \times 21,5 = 206.400 \text{ кил.-сант.}$$

Приравнявъ его моменту внѣшнихъ силъ

$$\frac{p l^2}{8} = \frac{p \times 5 \times 500 \times 69}{8 \times 101} = 206.400,$$

получимъ искомую равномѣрно распределенную нагрузку:

$$p = \frac{206400 \times 8 \times 100}{5 \times 500 \times 69} = 957,2 \text{ кил. на кв. сант.}$$

Въ предыдущемъ, болѣе точномъ разсчетѣ было получено $p = 968,3$ кил. на кв. сант.

Эта разница $968,3 - 957,2 = 11,1$ кил. на кв. сант. не имѣть практическаго значенія, тѣмъ болѣе что въ обоихъ случаяхъ не принято во вниманіе сопротивленіе бетона растяженію.

Изъ всѣхъ приведенныхъ способовъ разсчета желѣзо-бетонныхъ покрытий видно, что есть полная возможность решить всѣ вопросы, относящіеся къ ихъ разсчету, на основаніи указанныхъ выше допущеній и уравненій, выраждающихъ условія статического равновѣсія между внутренними и внѣшними силами.

Исходными данными для разсчета будутъ служить величины допускаемыхъ напряженій для бетона и желѣза, въ зависимости отъ качествъ этихъ материаловъ, тщательности работы требуемаго запаса прочности и пр.

По требованіямъ «Königliche Baupolizei» (Berlin) для бетона въ покрытияхъ допускается напряженіе 30 кил. на кв. сант. при сжатіи и 3 кил. на кв. сант. при растяженіи; для желѣза же при растяженіи 750 кил. на кв. сант., что составляетъ 5-й запасъ прочности.

Въ послѣднемъ же типѣ ребристаго покрытия фиг. 41 — 52, при общей равномѣрно распределенной нагрузкѣ около 950 кил. на кв. сант., надо допустить для

желѣза напряженіе 1.500 кил. на кв. сант. и для бетона при сжатіи—37 кил. на кв. сант.

Кромѣ того, при высотѣ ребра, фиг. 49, равной 23 сант., должны получиться у опоръ значительныя разслаивающія внутреннія силы.

Если возьмемъ сѣченіе *mn*, фиг. 53, въ разстояніи 1 сант. отъ опоры *A* ребра, то напряженіе разслаивающей силы можно опредѣлить на основаніи слѣдующихъ соображеній:

Реакція опоры *A* при пролетѣ $l=5$ метр., при ширинѣ покрытия соответствующей ребру $b=69$ сант., равномѣрно распределенной нагрузкѣ $p=950$ кил. на кв. сант., выражается

$$R_A = \frac{pl \cdot b}{2} = \frac{950 \times 5 \times 0,69}{2} = 1.638,7 \text{ кил.}$$

Обозначимъ равнодѣйствующія всѣхъ сжимающихъ и растягивающихъ внутреннихъ силъ, являющихся въ сѣченіи *mn*, фиг. 54, чрезъ T_1 и T_2 . Разстояніе между точками приложеній этихъ двухъ равныхъ силъ будетъ зависѣть отъ положенія нейтрального слоя, величины нагрузки, упругихъ свойствъ материаловъ; но во всякомъ случаѣ оно не можетъ быть больше разстоянія K_1K_2 , фиг. 54, между центромъ сѣченія желѣзной полосы и центромъ поперечнаго сѣченія плиты покрытия.

При данныхъ размѣрахъ

$$K_1K_2 = 19 - 2,5 = 21,5 \text{ сант.}$$

Кромѣ реакціи опоры *A* и равнодѣйствующихъ T_1 и T_2 , на выдѣленный элементъ *atnb* длиною 1 сант. будетъ дѣйствовать данная нагрузка, составляющая

$$p = \frac{950 \times 69}{100 \times 100} = 6,5 \text{ кил.}$$

Разстояніе отъ этой силы до опоры *A* равно 0,5 сант.

Для равновѣсія выдѣленного элемента *atnb* необходимо, чтобы сумма моментовъ всѣхъ этихъ силъ относительно любой точки *O* сѣченія *mn*, фиг. 54, равнялась нулю, т. е.

$$1.648,7 \times 1 + 6,5 \cdot 0,5 - T_1 \cdot 21,5 = 0.$$

Отсюда

$$T_1 = \frac{1638,7 + 6,5 \times 0,5}{21,5} = 76,4 \text{ кил.}$$

Равные силы T_1 и T_2 , направленные въ обратныя стороны, стремятся произвести разслоеніе вдоль нейтрального слоя.

При ширинѣ ребра $b_1 = 7,6$ сант. напряженіе разслаивающей силы $T_1 = T_2$ выразится

$$R_s = \frac{76,4}{7,6} = 10,05 \text{ кил. на кв. сант.}$$

Такое значительное напряженіе можно допустить только въ исключительныхъ случаяхъ для бетона прекрасныхъ качествъ. Если принять даже 5 кил. на кв. сант., то наименьшая толщина ребра b_1 у нейтрального слоя надъ опорами опредѣлится изъ уравненія

$$T_1 = 76,4 = 5 \cdot b_1$$
$$b_1 = \frac{76,4}{5} = 15,3 \text{ сант.},$$

т. е. вдвое больше принятой.

По мѣрѣ приближенія къ срединѣ пролета, величина разлагающей силы T_1 , а слѣдовательно и толщина ребра b_1 , будутъ уменьшаться. Поэтому при постоянной толщинѣ ребра b_1 получается излишній расходъ бетона, увеличивающій вѣсъ покрытия.

Болѣе удачное распределеніе материаловъ сдѣлано въ слѣдующемъ ребристомъ покрытии, предложенномъ профессоромъ Мѣллеромъ.

5) Продольное и поперечное сѣченія его представлены въ фиг. 55 и 56. Общая идея устройства такая же какъ въ предыдущемъ покрытии. Желѣзо-бетонныя ребра служать балками для поддержки плитъ, перекрывающихъ промежутки между ребрами. Широкія полосы желѣза, фиг. 55, 56 и 57, расположены по вогнутой кривой и ограничиваютъ ребро снизу при наибольшемъ прогибѣ въ среднемъ сѣченіи; надъ опорами концы полосъ закрѣпляются въ плитахъ помощью приклепанного угловаго желѣза, фиг. 55, 57.

При такомъ устройствѣ желѣзо реберъ подвергается исключительно растяжению и служить какъ-бы струной въ подпружной системѣ; бетонъ же ребра и отчасти плитъ

работаетъ на сжатіе. Наибольшій изгибающій моментъ при равнотрено распределенной нагрузкѣ получится въ среднемъ сѣченіи, въ которомъ стрѣла прогиба желѣза наибольшая. Надъ опорами же высота ребра равна нулю; поэтому разслаивающимъ силамъ будетъ сопротивляться плита покрытія по всей его ширинѣ, вслѣдствіе чего въ данномъ случаѣ не можетъ получиться такое значительное напряженіе разслаивающихъ силъ, какъ въ предыдущемъ типѣ при постоянной высотѣ ребра. Для лучшей связи между желѣзомъ и бетономъ по концамъ и посрединѣ полосы приклепываются угловое желѣзо.

Для предохраненія желѣза отъ ржавчины и разрушающего дѣйствія огня, полосы охватываются по всей длинѣ тонкою желѣзною сѣткой и покрываются цементною штукатуркой, подобно тому какъ указано выше для двутавровыхъ балокъ.

Существеннымъ преимуществомъ этого типа покрытія является вполнѣ рациональное примѣненіе матеріаловъ, благодаря чему количество желѣза доведено до *minimum*.

Къ невыгодамъ слѣдуетъ отнести:

1) значительная высота покрытія;

2) кузнечные работы для прикрепленія угловаго желѣза.

Подобно предыдущему типу,

3) ребра подвержены значительно болѣшимъ напряженіямъ чѣмъ плиты (см. выше); при деформаціи плиты стремятся прогнуться въ плоскости перпендикулярной къ плоскости прогиба ребра, фиг. 56; поэтому въ обоихъ типахъ ребристыхъ покрытій можно ожидать появленій трещинъ вдоль ребра;

4) желѣзо расположено неравнотрено во всей массѣ бетона; поэтому нельзя разсчитывать на значительное сопротивленіе покрытій сотрясеніямъ и ударамъ или сосредоточеннымъ грузамъ;

5) въ жилыхъ помѣщеніяхъ вогнутыя ребра производятъ тяжелое впечатлѣніе. При устройствѣ же прямыхъ реберъ, фиг. 55 (пунктиръ), получится лишній расходъ бетона.

Расчетъ покрытия ничѣмъ не отличается отъ приведенного выше для «Ransome's System».

Прикрепанное угловое желѣзо, фиг. 55, 57, назначается для надлежащаго закрѣпленія концовъ полосы, такъ чтобы давленіе на 1 кв. сант. бетона не превосходило прочнаго сопротивленія бетона раздробленію. Общее сопротивленіе заклепокъ перерѣзыванію должно равняться сопротивленію полосы разрыву. Въ фиг. 58 представлена деталь соединенія полосъ надъ колонной.

Стоимость покрытия въ Германіи по даннымъ технической конторы «Drenckhahn und Suphor», при пролѣтѣ 4,5 метра и равномѣрно распределенной нагрузкѣ 500 кил. на кв. сант. около 6 рубл. 30 коп. квадратный метръ; собственный вѣсъ покрытия около 230 кил. на кв. сант.

Система инженера Hennebique'a. (Патентъ).

Въ теченіе послѣднихъ десяти лѣтъ въ Европѣ получила большое распространеніе желѣзо-бетонная система, предложенная инженеромъ Hennebique'омъ и примѣняемая для устройства междуэтажныхъ покрытий, мостовъ, подпорныхъ стѣнъ, резервуаровъ и проч.

Не вдаваясь въ теоретическое изслѣдованіе, ниже приведены: краткое описание устройства плоскихъ междуэтажныхъ покрытий, практическій способъ ихъ расчета, а также выяснены относительныя преимущества въ конструктивномъ отношеніи.

Въ фиг. 59, черт. III, изображенъ перспективный видъ плоскаго покрытия съ показаніемъ распределенія желѣза въ массѣ бетона.

Отличительною чертой системы является отсутствіе желѣзныхъ балокъ, колоннъ и вообще массивныхъ желѣзныхъ частей.

Покрытие состоитъ, фиг. 59, 60 и 61:

1) изъ главныхъ поперечныхъ желѣзо-бетонныхъ балокъ *a*, поддерживаемыхъ опорными стѣнами и желѣзо-бетонными колоннами *c*,

2) второстепенныхъ продольныхъ балокъ *b*, и

3) плоскаго желѣзо-бетоннаго покрытия d , заполняющаго промежутки между балками и играющаго роль настила.

Всѣ эти части представляютъ одинъ желѣзо-бетонный массивъ, благодаря надлежащему распределенію желѣза въ массѣ бетона, соотвѣтствующему тѣмъ напряженіямъ, которыя являются при нагрузкѣ покрытия.

Въ фиг. 61 приведено продольное сѣченіе подобнаго покрытия, а въ фиг. 60 — поперечное сѣченіе съ показаніемъ распределенія желѣзныхъ частей.

Каждая балка, фиг. 59, 60, 61, состоитъ:

1) изъ одной или нѣсколькихъ прямыхъ полосъ желѣза въ круглого поперечнаго сѣченія, расположенныхъ вдоль нижняго ребра балки,

2) изъ такого же числа изогнутыхъ полосъ f , концы которыхъ расположены вдоль верхняго ребра балки, средняя же горизонтальная часть касается соотвѣтствующей прямой полосы, находясь съ нею въ одной вертикальной плоскости,

3) хомутовъ g изъ тонкаго полосового желѣза, фиг. 59, 61, 62, охватывающихъ снизу прямая желѣзныя полосы; длина хомутовъ нѣсколько больше высоты балки, такъ что концы ихъ доходятъ до половины толщины плоскаго покрытия.

Концы всѣхъ полосъ загнуты крюкомъ для лучшей связи съ бетономъ и заходить за точки опоры, располагаясь «въ переплетъ».

Всѣ эти металлическія части окружены бетономъ, связывающимъ ихъ въ одну цѣлую желѣзо-бетонную балку.

Плоское покрытие, перекрывающее промежутки между балками, состоитъ:

1) изъ прямыхъ желѣзныхъ прутьевъ h , расположенныхъ въ направленіи перпендикулярномъ къ балкамъ и разстояніемъ нѣсколькихъ сантиметровъ (2—3) отъ нижней поверхности,

2) такихъ же желѣзныхъ прутьевъ k , изогнутыхъ по кривой, фиг. 60, вершина которой находится въ одной горизонтальной плоскости съ прямыми прутьями, а концы приближаются подъ балками къ верхней поверхности покрытия, и

3) малыхъ хомутовъ l изъ тонкаго полосового желѣза, охватывающихъ прутья.

Бетонъ, окружающій эти части, связываетъ ихъ въ одно цѣлое съ балками.

Концы прутьевъ, равно какъ и хомутовъ, загнуты или раздвоены для болѣе прочной связи съ бетономъ.

Прямые и изогнутые прутья расположены черезъ одинъ (поперемѣнно).

Желѣзо-бетонныя колонны состоятъ:

1) изъ вертикальныхъ толстыхъ желѣзныхъ полосъ круглаго поперечнаго сѣченія, фиг. 59 и 63,

2) накладокъ изъ полосового желѣза, фиг. 59, 63, 64, съ двумя отверстіями, соотвѣтствующими діаметру вертикальныхъ прутьевъ и разстоянію между ними. Накладки связываютъ всѣ прутья, препятствуютъ ихъ боковому прогибу и располагаются, фиг 59, черезъ каждые 50 сант., и

3) бетона, принимающаго на себя давленіе и связывающаго также металлическія части въ одно цѣлое.

Для выясненія рациональности расположения желѣза въ этой системѣ вполнѣ достаточно представить въ общихъ чертахъ тѣ главныя внутреннія силы, которыя являются въ покрытии при нагрузкѣ. Подробное же изслѣдованіе этого вопроса и сравненіе теоретическихъ выводовъ съ опытными данными приведены въ сочиненіяхъ Р. Planat:

- 1) Recherches sur la th orie des ciments armes, и
- 2) Th orie des poutres droites en fer et ciment.

Внутреннія силы, являющіяся въ нагруженной балкѣ, приводятся въ каждомъ поперечномъ сѣченіи:

1) къ парѣ силъ, вызывающей сжатіе въ частицахъ, расположенныхъ выше нейтрального слоя и растяженіе — ниже его,

2) къ усилиямъ разслаивающимъ, сопротивляющимся скользенію вдоль нейтрального слоя, и

3) къ вертикальнымъ перерѣзывающимъ усилиямъ.

Въ балкѣ свободно лежащей на двухъ опорахъ *A* и *B*, фиг. 66 и 67, и подверженной дѣйствію равномѣрно распределенной нагрузкѣ моментъ пары въ любомъ поперечномъ сѣченіи выражается соотвѣтствующею ординатой иѣкоторой параболы *ACB*, проходящей чрезъ точки опоры *A* и *B*.

Усилія разслаиваючія опредѣляться ордонатами лінії OC' , проходящей чрезъ средину балки O и точку C , дающію таx'ое значеніе для съченія, проходящаго черезъ опору

Усилія же перерѣзываючія выражаются ордонатами прямыхъ OM и ON , причемъ таx. AM и BN соотвѣтствуетъ опорамъ.

Такимъ образомъ, въ среднемъ съченіи m_n , фиг. 66 и 67, при прогибѣ балки появятся въ частицахъ выше нейтрального слоя только усилія сжимаючія, а въ нижніхъ частицахъ---только растягиваючія

По мѣрѣ удаленія отъ средины O , усилія разслаиваючія и перерѣзываючія увеличиваются; въ любой частицѣ съченія m'_n , фиг. 66, равнодѣйствующая ихъ R представить такъ называемое косое напряженіе, являющееся наиболѣе опаснымъ въ желѣзо-бетонныхъ балкахъ или ребрахъ, имѣющихъ значительную высоту.

Многочисленные опыты показали, что разрушеніе желѣзо-бетонныхъ балокъ, заключающихъ желѣзныя полосы только вблизи нижней поверхности, фиг. 65, начинается всегда съ появленія вертикальныхъ трещинъ у средняго съченія снизу (при нагрузкѣ равномѣрно распределенной или сосредоточенной посерединѣ). При дальнѣйшей нагрузкѣ у нижней поверхности появляются наклонные трещины, направленныя отъ опоръ къ серединѣ, причемъ уголъ наклона трещинъ относительно вертикали увеличивается по мѣрѣ приближенія къ опорамъ. При окончательномъ разрушеніи балокъ всегда наблюдаются трещины, отдѣляющія желѣзо отъ остальной массы бетона.

Появленіе этихъ наклонныхъ и горизонтальныхъ трещинъ вызывается сравнительно слабымъ сопротивленіемъ бетона указаннымъ косымъ и разслаивающимъ напряженіямъ.

Для полученія надлежащаго сопротивленія при значительной высотѣ балокъ инж. Неннебіque примѣнилъ въ своей системѣ хомуты изъ полосового желѣза, фиг. 62 и 61, и изогнутыя желѣзныя полосы на основаніи слѣдующихъ соображеній.

Положимъ, что желѣзная решетчатая балка, представлена-

ная въ фиг. 68, подвержена дѣйствію равномѣрно распределенной нагрузки. Въ нижнемъ поясѣ ея появятся растягивающія усилия, въ верхнемъ и въ раскосахъ—сжимающія, вертикальная же части будутъ растянуты. Если предположимъ затѣмъ, что вся эта балка окружена бетономъ, обладающимъ, съ одной стороны, значительной силой сцѣпленія съ желѣзомъ, а съ другой—сравнительно большими сопротивленіемъ раздробленію, то работу каждого сжатого раскоса *ab*, фиг. 68, можетъ выполнить соответствующій объемъ бетона *cdef*. Точно также, верхній сжатый поясъ можетъ быть замѣненъ соответствующимъ объемомъ бетона.

Такимъ образомъ, стремясь извлечь наибольшую выгоду изъ обоихъ материаловъ, данную желѣзнную балку можно замѣнить балкой желѣзо-бетонной, фиг. 69 и 70, въ которой вся масса желѣза, соответствующая нижнему поясу и вертикалямъ, подвержена только растяженію, бетонъ же сопротивляется всѣмъ сжимающимъ усилиямъ и въ то же время соединяетъ всѣ эти части въ одно упругое цѣлое, благодаря своей силѣ сцѣпленія съ желѣзомъ, устраниющей необходимость склепки желѣзныхъ частей. Проходя сквозь всю толщу балокъ, хомуты противодѣйствуютъ разслоенію, играя роль болтовъ или гвоздей въ составной балкѣ изъ нѣсколькихъ брусьевъ или досокъ, фиг. 70.

Этому же разслоенію въ балкѣ системы инж. Неннебіоуза сопротивляются до нѣкоторой степени изогнутыя полосы *f*, фиг. 61, 69.

Общее поперечное сѣченіе желѣза, расположенного у нижней поверхности балки, опредѣляется по наибольшему изгибающему моменту, соответствующему среднему сѣченію *mn*, фиг. 66 и 67. Если все это количество желѣза расположить равномѣрно вдоль нижняго ребра балки, то во всякомъ сѣченіи *m₁n₁*, фиг. 66, взятомъ между срединой балки и опорой, получится нѣкоторый излишекъ желѣза, такъ какъ изгибающій моментъ уменьшается по мѣрѣ приближенія къ опорамъ.

Примѣнняя на практикѣ для простоты конструкціи желѣз-

ныя полосы, можно утилизировать этот излишекъ желѣза, располагая часть этихъ полосъ по кривой или ломанной $f_1 f_2$, фиг. 61, 69, приближающейся къ параболѣ, выражющей законъ измѣненія изгибающаго момента при равномѣрно распределенной нагрузкѣ.

Средняя часть b каждой изогнутой полосы работаетъ исключительно на растяженіе; наклонные же части f и f_2 , фиг. 61 и 69, пересекающая подъ некоторымъ угломъ всю толщу бетона, подверженную наибольшимъ разлагающимъ усилиямъ, могутъ оказать значительное сопротивленіе этимъ разлагающимъ и косымъ напряженіямъ.

Кромѣ того, хомуты и бетонъ, охватывая прямые и изогнутые полосы, приводятъ всѣ эти части къ неизмѣняемой треугольной системѣ.

Концы изогнутыхъ полосъ, фиг. 61 и 69, расположенные у верхней поверхности балки, могутъ сопротивляться растяженію, являющемуся въ томъ случаѣ, если балка закрѣплена надъ опорами или когда она представляетъ часть одной неразрѣзной балки.

Понятно, что въ действительности невозможно точно определить въ отдельности степень сопротивленія изогнутыхъ полосъ и хомутовъ разлагающимъ и косымъ напряженіямъ. Практика и многочисленные опыты показали, что въ основу расчета можно принять слѣдующія допущенія:

- 1) изогнутые полосы принимаютъ на себя половину сопротивленія разлагающимъ напряженіямъ; число этихъ полосъ равно половинѣ всего числа полосъ, необходимыхъ для сопротивленія растяженію въ опасномъ сѣченіи;

- 2) хомуты подвержены растяженію и принимаютъ на себя вторую половину сопротивленія разлагающимъ усилиямъ.

Расчетъ поперечного сѣченія балки, а также и желѣзныхъ полосъ, можетъ быть сдѣланъ на основаніи соображеній, приведенныхъ выше, для хомутовъ же можно применить слѣдующій простой способъ.

Наибольшимъ напряженіямъ подверженъ крайній хомутъ

BD, фиг. 71, расположенный надъ опорой. Вообразимъ наклонную желѣзную связь *BA*, соединяющую точку пересѣченія *B* первого хомута съ прямою полосой *E* и точку пересѣченія *A* втораго хомута съ нижнею поверхностью покрытія.

Очевидно, что раскосъ *AB*, фиг. 71, будетъ сжатъ; второй хомутъ *AC* и часть *CB* нижней полосы — растянуты, часть же *AD* покрытія — ската.

Назначеніе того же раскоса *AB* можетъ выполнить соответствующая ему бетонная призма *тпор*, подверженная также сжатію и распредѣляющая напряженія слѣдующимъ образомъ.

На плоскость *тп*, фиг. 71, эта наклонная призма производить вертикальное давленіе и горизонтальное, стремящееся произвести скольженіе или скальваніе бетона; сумма работъ этихъ двухъ составляющихъ равна работе равнодѣйствующей, т. е. усилию направленному по *AB*. Если скальвающее усилие стремится разъединить смежныя частицы бетона въ плоскости *тп*, фиг. 71, то въ то же время вертикальная слагающая стремится ихъ сблизить, и поэтому ясно, что совмѣстное дѣйствіе этихъ силъ будетъ болѣе благопріятно, чѣмъ дѣйствіе одной скальвающей слагающей, такъ какъ, въ случаѣ дѣйствія вертикальной слагающей, является иѣкоторое треніе, противодѣйствующее всякому перемѣщению въ горизонтальной плоскости *тп*.

Назовемъ реакцію опоры *B*, фиг. 71 и 72, чрезъ *P*, ширину балки — *c*, разстояніе между первымъ и вторымъ хомутомъ — *d*, разстояніе отъ центра нижней желѣзной полосы до нижняго ребра покрытія — чрезъ *m*, скальвающую силу — чрезъ *T*.

Если пренебречь сравнительно малымъ вѣсомъ части балки *AD* между двумя смежными хомутами, то для равновѣсія части *AB*, выдѣленной сѣченіемъ *ab*, фиг. 71, необходимо, чтобы было

$$P \cdot d = T \cdot m, \text{ или}$$

$$T = \frac{P \cdot d}{m}.$$

Если принять коэффициентъ тренія для бетона 0,75 и обозначить прочное сопротивление скальванию чрезъ R , то сила тренія, противодѣйствующая передвиженію разъединенныхъ частей, выразится чрезъ

$$T_1 = -0,75 \cdot P,$$

и, слѣдовательно, уравненіе

$$R \cdot c \cdot d = \frac{P \cdot d}{m} \cdots \frac{3 \cdot P}{4} = P \cdot \frac{4d - 3m}{4m} \cdots \cdots \cdots (1)$$

выразитъ условіе прочности относительно скальвания при употребленіи хомутовъ.

Уравненіе (1) можетъ служить для повѣрки принятыхъ размѣровъ балки.

Допустимъ, что разстояніе между смежными хомутами $d = 20$ сант., высота балки до центра желѣзной полосы $m = 0,16$ сант. Прочное сопротивление скальванию для бетона: $R = 3$ килогр. на кв. сант., реакція опоры $P = 2.000$ килогр.

Необходимая ширина балки c опредѣлится изъ уравненія (1):

$$c = \frac{P}{R \cdot d} \cdot \frac{4d - 3m}{4m}, \text{ или}$$

$$c = \frac{2.000 \times (80 - 48)}{3 \times 20 \times 64} = 16,6 \text{ сант.}$$

Одновременно со скольженіемъ по плоскости mn , фиг. 71, основаніе op призмы стремится скользить вдоль желѣзныхъ прямыхъ полосъ, производя на нихъ также вертикальное давленіе P .

На основаніи многочисленныхъ опытовъ можно принять, что сила сдѣленія между частицами бетона и желѣза та же какъ между смежными частицами бетона; поэтому условіе прочности выразится подобно предыдущему, т. е. поверхность прикасанія полосъ желѣза къ бетону, при длине ихъ равной op , должна равняться площади $mn = c \cdot d$.

Слѣдовательно, если число полосъ обозначимъ чрезъ n , діаметръ ихъ черезъ d , то

$$\pi \cdot n \cdot d \cdot d = c \cdot d, \text{ или } \pi \cdot n \cdot d = c. \dots \dots \dots \quad (2)$$

Наконецъ, хомутъ AC , фиг. 71, подверженъ растяженію равному P . Если обозначимъ чрезъ R , прочное сопротивление желѣза растяженію, q —поперечное сѣченіе полосы для хомута, то условіе его прочности выразится

$$2 \cdot n \cdot q \cdot R_1 = P, \dots \dots \dots \quad (3)$$

гдѣ n —число хомутовъ, соотвѣтственно числу горизонтальныхъ полосъ.

Если принять въ разсчетъ приведенная выше два допущенія относительно роли хомутовъ и изогнутыхъ полосъ, то въ предыдущихъ уравненіяхъ надо ввести $\frac{P}{2}$ вместо P .

Приведенные уравненія (1), (2) и (3) даютъ возможность опредѣлить размѣры и разстояніе между крайними хомутами, подверженными наибольшимъ напряженіямъ. Эти растягивающія усилия уменьшаются по мѣрѣ приближенія къ срединѣ балки, поэтому и поперечное сѣченіе хомутовъ должно бы измѣняться въ томъ же отношеніи, но на практикѣ выгоднѣе оставлять поперечное сѣченіе хомутовъ постояннымъ, но взамѣнъ этого увеличивать разстояніе между ними.

Хомуты полезно располагать и посрединѣ балки, съ одной стороны, для предупрежденія скальванія, съ другой,—для лучшей связи балки съ вышележащимъ плоскимъ покрытиемъ, фиг. 72. Для этого хомуты должны доходить до половины толщины покрытія, чѣмъ и опредѣляется ихъ длина.

Наименьшая ширина с балки, фиг. 72 и 71, опредѣляется изъ уравненій (1).

Необходимо, чтобы принятая толщина с допускала расположение всѣхъ продольныхъ полосъ желѣза съ такими промежутками, которые обеспечивали бы надлежащую связь съ окружающимъ бетономъ.

Концы балки слѣдуетъ продолжить за опоры, фиг. 71,

на длину BE , равную по крайней мѣрѣ половинѣ разстоянія между крайними хомутами. Въ противномъ случаѣ часть oB можетъ не оказать надлежащаго сопротивленія скальванию.

При расчетѣ колоннъ незначительной высоты, на практикѣ принимаютъ, что полное сопротивленіе ихъ равно суммѣ сопротивленій бетона и желѣза, допуская для бетона прочное сопротивленіе сжатію 25 килогр. на кв. сант., для желѣза—1.000 килогр. на кв. сант.

Если P полная нагрузка на колонну, S поперечное сѣченіе бетона, то на долю желѣза приходится давленіе $P - 25 \cdot S$; поперечное сѣченіе его $S_1 = \frac{P - 25 \cdot S}{1.000}$.

Сѣченіе это распредѣляется между четырьмя или большимъ числомъ вертикальныхъ полосъ, связанныхъ накладками, фиг. 59, 63, черезъ каждые 50 сант.

Опасное сѣченіе AB , фиг. 64, накладки разсчитываются на $\frac{1}{5}$ того давленія, которое приходится на одну вертикальную полосу желѣза.

При значительной высотѣ колонны разсчитываются по общепринятымъ формуламъ.

Вообще надо замѣтить, что способы, приведенные выше для расчета желѣзо-бетонныхъ покрытий, не могутъ дать вполнѣ точныхъ результатовъ. Допущенія, принятая въ нихъ основу, даютъ возможность, съ одной стороны, примѣнить самые простые и скорые расчеты, чтѣ необходимо для практическихъ цѣлей, а съ другой—служать въ пользу большаго запаса прочности.

По самой сути конструкціи, представляющей сочетаніе двухъ совершенно разнородныхъ материаловъ, невозможно охватить и выразить математически работу внутреннихъ силъ каждого материала, взятаго въ отдельности, тѣмъ болѣе что съ механической точки зрѣнія бетонъ является на практикѣ материаломъ не вполнѣ опредѣленнымъ, измѣняющимъ свои свойства не только въ зависимости отъ качества и количества составныхъ частей, но также отъ степени пе-

ремъшиванія ихъ, трамбованія, вообще тщательности работы и другихъ неуловимыхъ условій, вліающихъ на прочность бетона.

Въ виду этой неопределенности, нѣкоторые американскіе инженеры не принимаютъ совсѣмъ во вниманіе сопротивленія бетона, а разсчитываютъ и конструируютъ желѣзныя части совершенно такъ, какъ въ обыкновенныхъ желѣзныхъ сооруженіяхъ; бетонъ же служить только для предохраненія желѣза отъ ржавчины и вліянія высокой температуры.

Въ противоположность этому крайнему взгляду, инженеры другой группы (Tedesco, Coignet) предполагаютъ, что при рациональныхъ конструкціяхъ желѣзо принимаетъ на себя до 60%, а бетонъ до 40% всего сопротивленія, оказываемаго желѣзо-бетонною балкой, благодаря той силѣ сцепленія цемента съ желѣзомъ, которая соединяетъ оба материала въ одно цѣлое.

Во всякомъ случаѣ, многочисленные опыты ясно показываютъ, что введеніе желѣза въ массу бетона значительно увеличиваетъ его сопротивленіе даже при самыхъ неудачныхъ сочетаніяхъ этихъ двухъ материаловъ, благодаря, главнымъ образомъ, силѣ сцепленія бетона съ желѣзомъ; при удачныхъ сочетаніяхъ можно извлечь наибольшую пользу изъ обоихъ материаловъ, заставляя работать желѣзо почти исключительно на растяженіе, а бетонъ—на сжатіе. Поэтому нѣкоторая неопределенность въ распределеніи работы сопротивленія между этими двумя материалами не можетъ служить основаніемъ для отрицанія очевидныхъ преимуществъ желѣзо-бетонныхъ системъ сравнительно съ системами чисто-желѣзными или бетонными.

Весь вопросъ сводится къ удачному выбору той или другой системы, соответствующей наивыгоднѣйшимъ образомъ даннымъ условіямъ. Относительно междуэтажныхъ покрытій можно замѣтить, что въ обыкновенныхъ домахъ, при незначительныхъ пролетахъ и нагрузкахъ, часто можетъ ока-

заться болѣе выгоднымъ примѣненіе простыхъ бетонныхъ сводиковъ между желѣзными балками или покрытій другаго простаго типа. Но на фабрикахъ, заводахъ, въ складахъ и въ другихъ промышленныхъ зданіяхъ, подверженныхъ значительнымъ нагрузкамъ, ударамъ и сотрясеніямъ, желѣзо-бетонныя покрытия являются незамѣнимыми. благодаря быстротѣ и простотѣ устройства, полной огнеупорности, гигиеничности и наименѣшимъ расходамъ на ремонтъ.

Выборъ системы долженъ быть сдѣланъ въ зависимости отъ данныхъ условій.

Въ настоящее время за границей наиболѣе распространена система Hennebique'a, какъ наиболѣе удовлетворяющая теоретическимъ требованіямъ въ конструктивномъ отношеніи и въ то же время одинаково примѣнимая къ плоскимъ покрытиямъ, мостамъ, подпорнымъ стѣнамъ и пр.

Большія многоэтажныя фабричныя зданія этой системы возведены въ теченіе послѣднихъ 10 лѣтъ въ Нантѣ, Ліонѣ, Парижѣ, Марсель и почти во всѣхъ другихъ фабричныхъ городахъ Западной Европы и ея колоній. Въ строящихся зданіяхъ для выставки 1900 года въ Парижѣ (*Grand et petit palais des beaux-arts*) эта система примѣнена для устройства междуэтажныхъ покрытий.

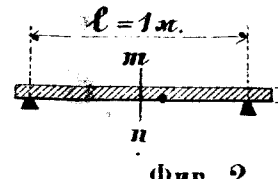
Фиг. 73 представляетъ перспективный видъ и расположение желѣза въ покрытии той же системы, примѣненной въ зданіи *Hôtel de la société des ingénieurs civils de France*, Paris, 19 rue Blanche.

Въ концѣ іюля 1898 года закончены обширные опыты, произведенныя подъ руководствомъ профессора Rabut (*à l'Ecole des ponts et chaussées*), надъ разными покрытиями системы Hennebique'a. Въ связи съ опытами, произведенными раньше, можно надѣяться, что выяснятся главныя данные для расчета этой системы, а вмѣстѣ съ тѣмъ установится вполнѣ опредѣленный взглядъ на желѣзо-бетонныя конструкціи.

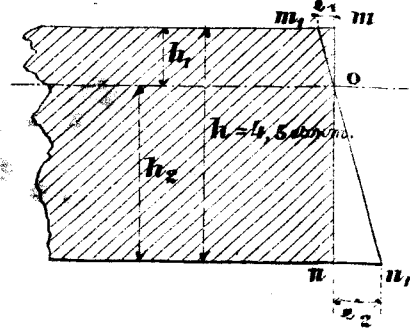
Относительно всѣхъ вообще желѣзо-бетонныхъ сооруже-

ній можно сказать, что для полученія надлежашей прочности и извлеченія всѣхъ выгодъ изъ сочетанія желѣза съ бетономъ необходимы, кромѣ разсчета, строгій техническій надзоръ за правильнымъ производствомъ работъ и употребленіе самыхъ лучшихъ матеріаловъ.

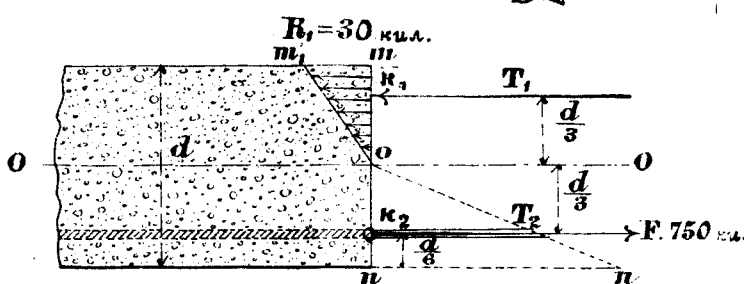
Фиг. 1.



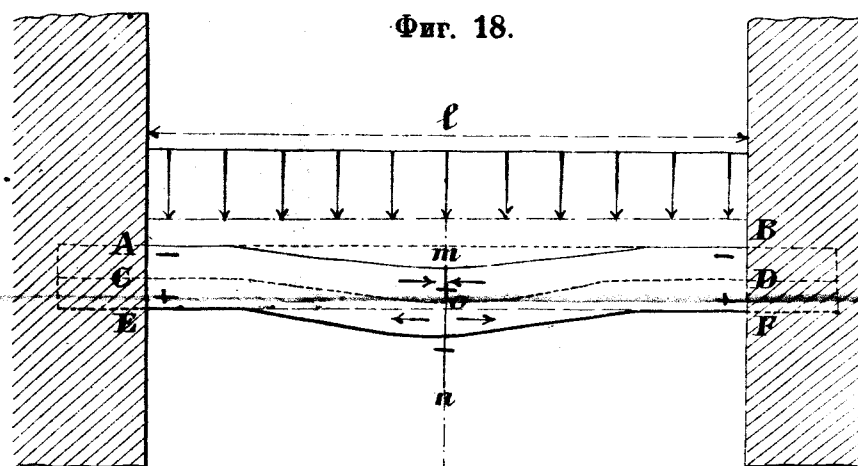
Фиг. 2.



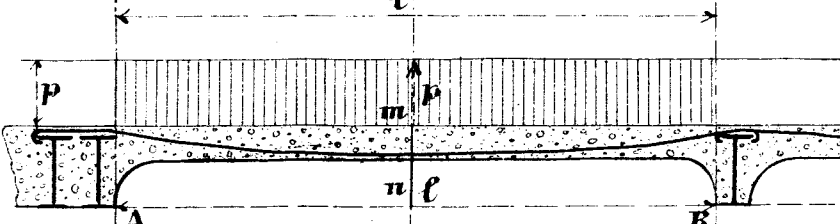
Фиг. 10.



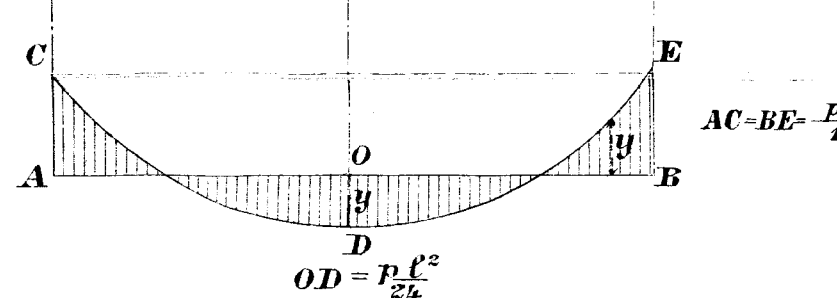
Фиг. 18.



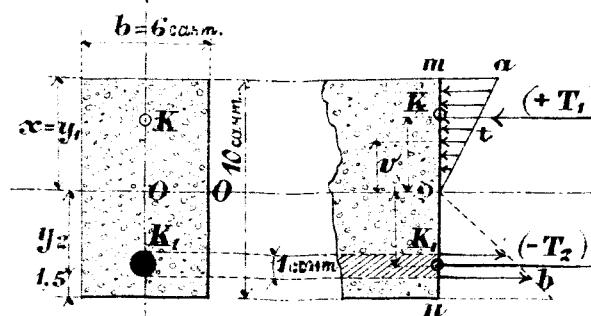
Фиг. 19.



Фиг. 20.

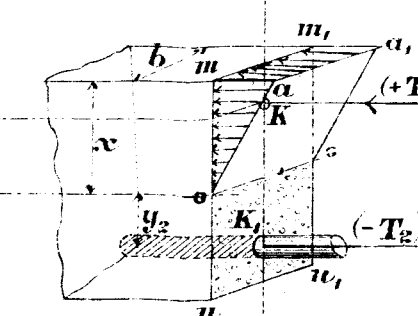


Фиг. 23.

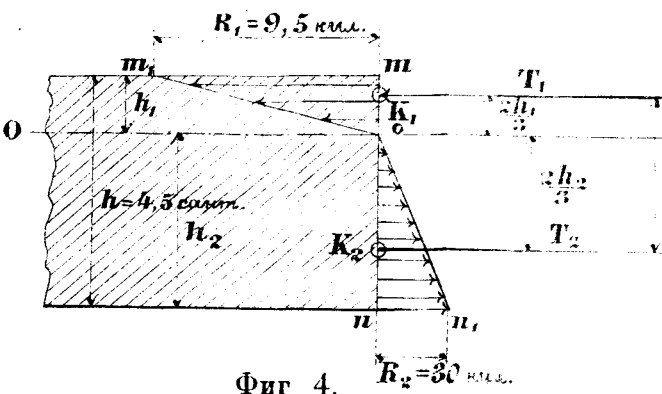


Фиг. 24.

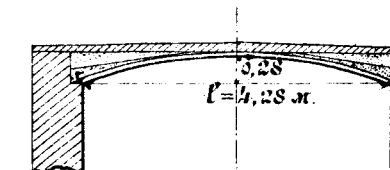
Фиг. 25.



Фиг. 3.



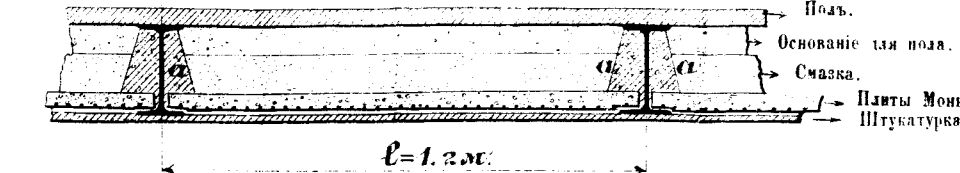
Фиг. 4.



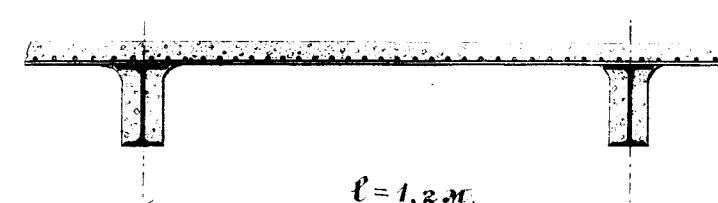
Фиг. 5.



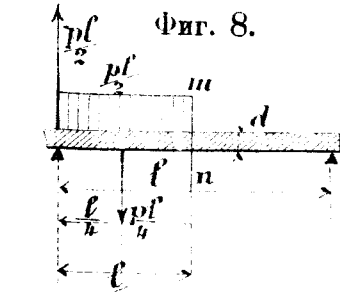
Фиг. 6.



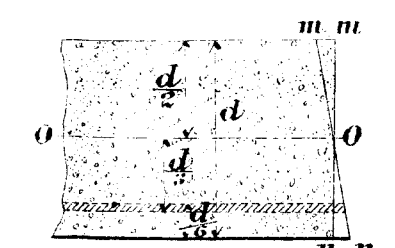
Фиг. 7.



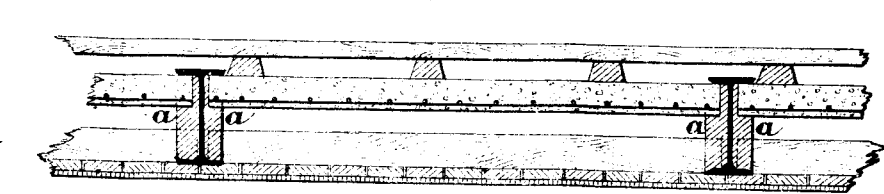
Фиг. 8.



Фиг. 9.

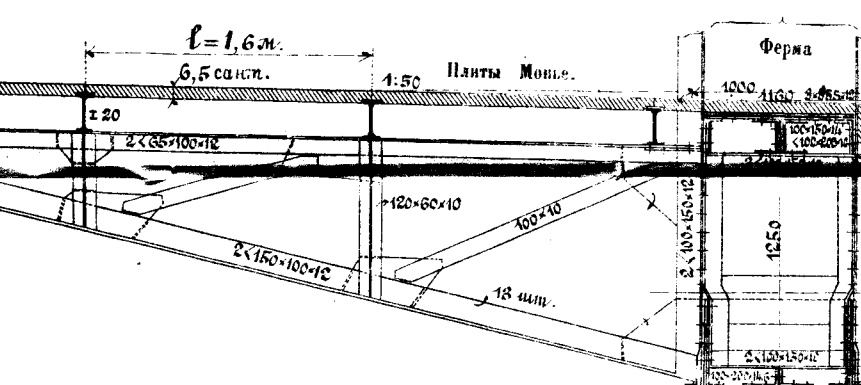


Фиг. 13.



Фиг. 14. Поперечный разрезъ.

Панель.



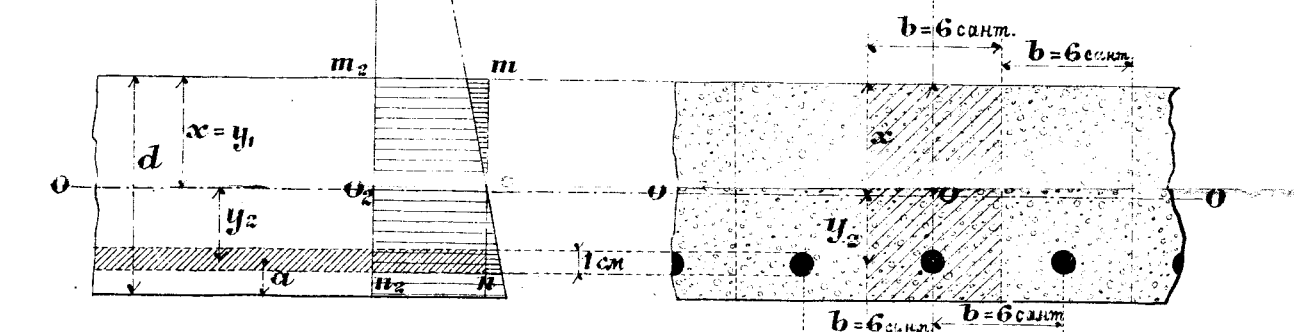
Проезжая часть.

Путь конно-желѣзной

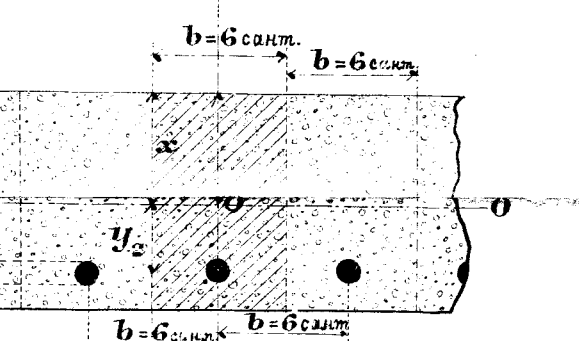
дороги.

A

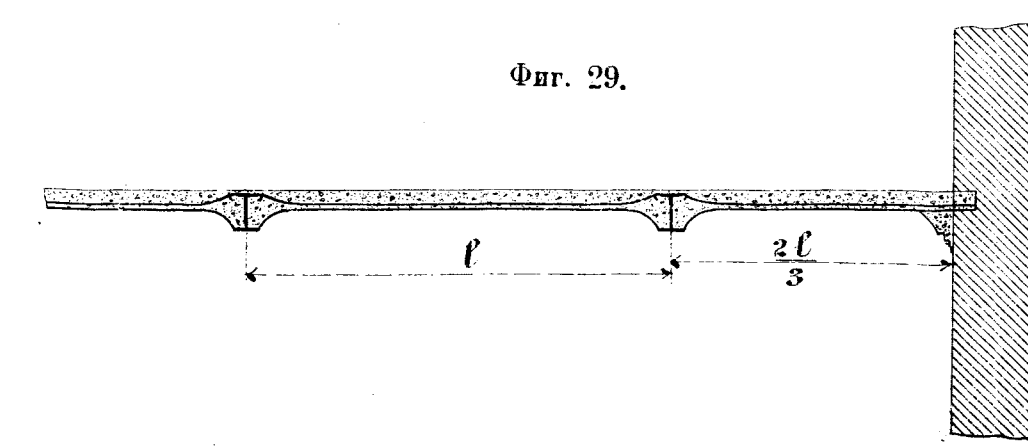
Фиг. 21.



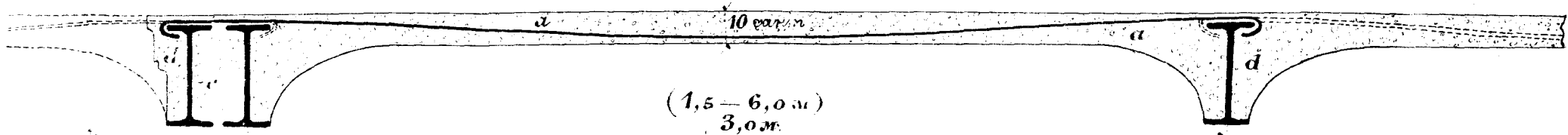
Фиг. 22.



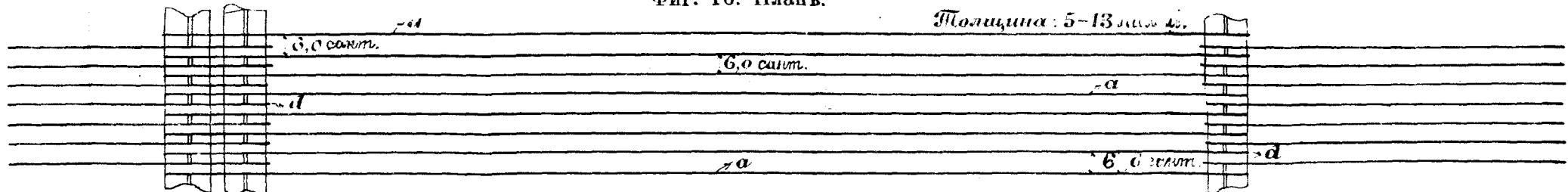
Фиг. 29.



Фиг. 15. Поперечное сечение.

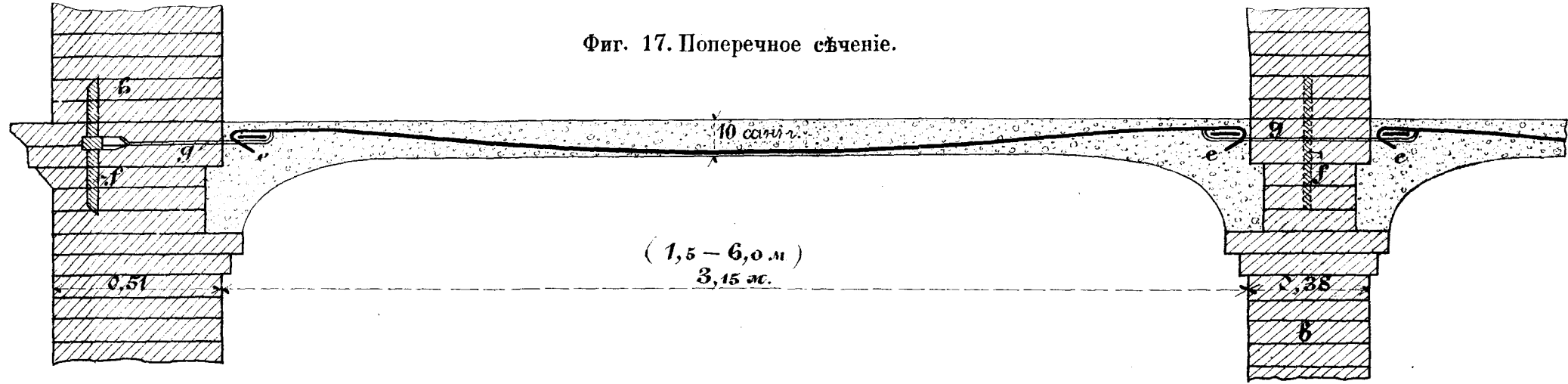


Фиг. 16. Планъ.

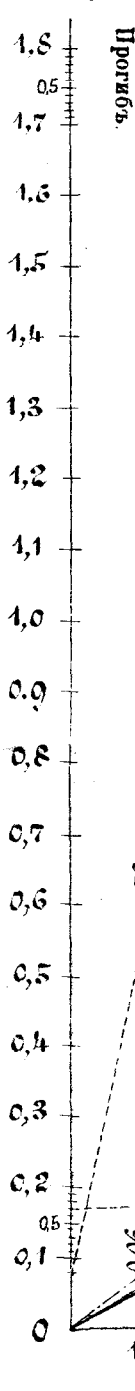


Полицина: 5-13 милли м.

Фиг. 17. Поперечное сечение.

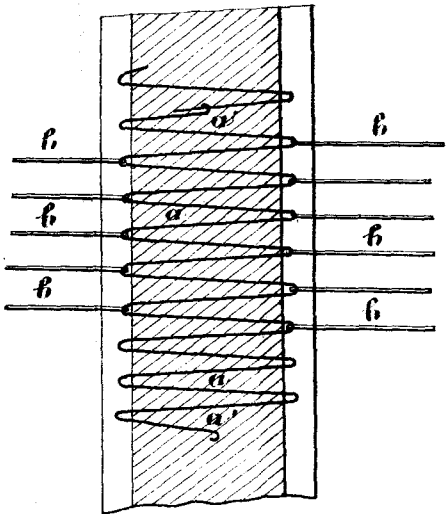
(1,5 - 6,0 м.)
3,15 мс.

сантиметры:

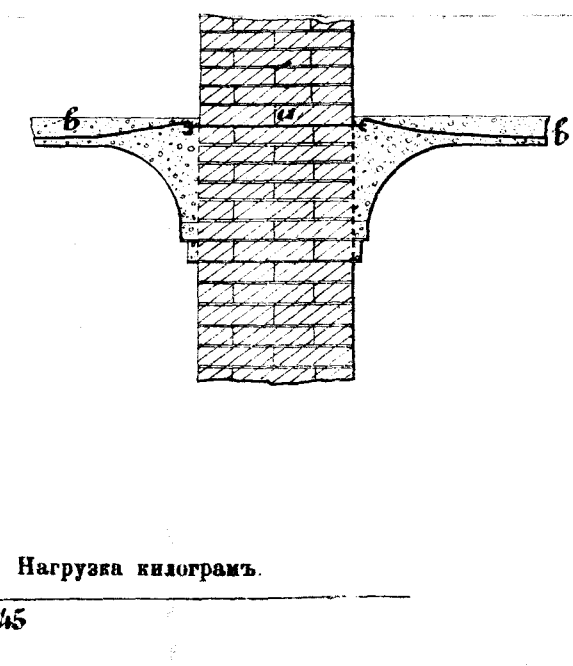


Фиг. 26.

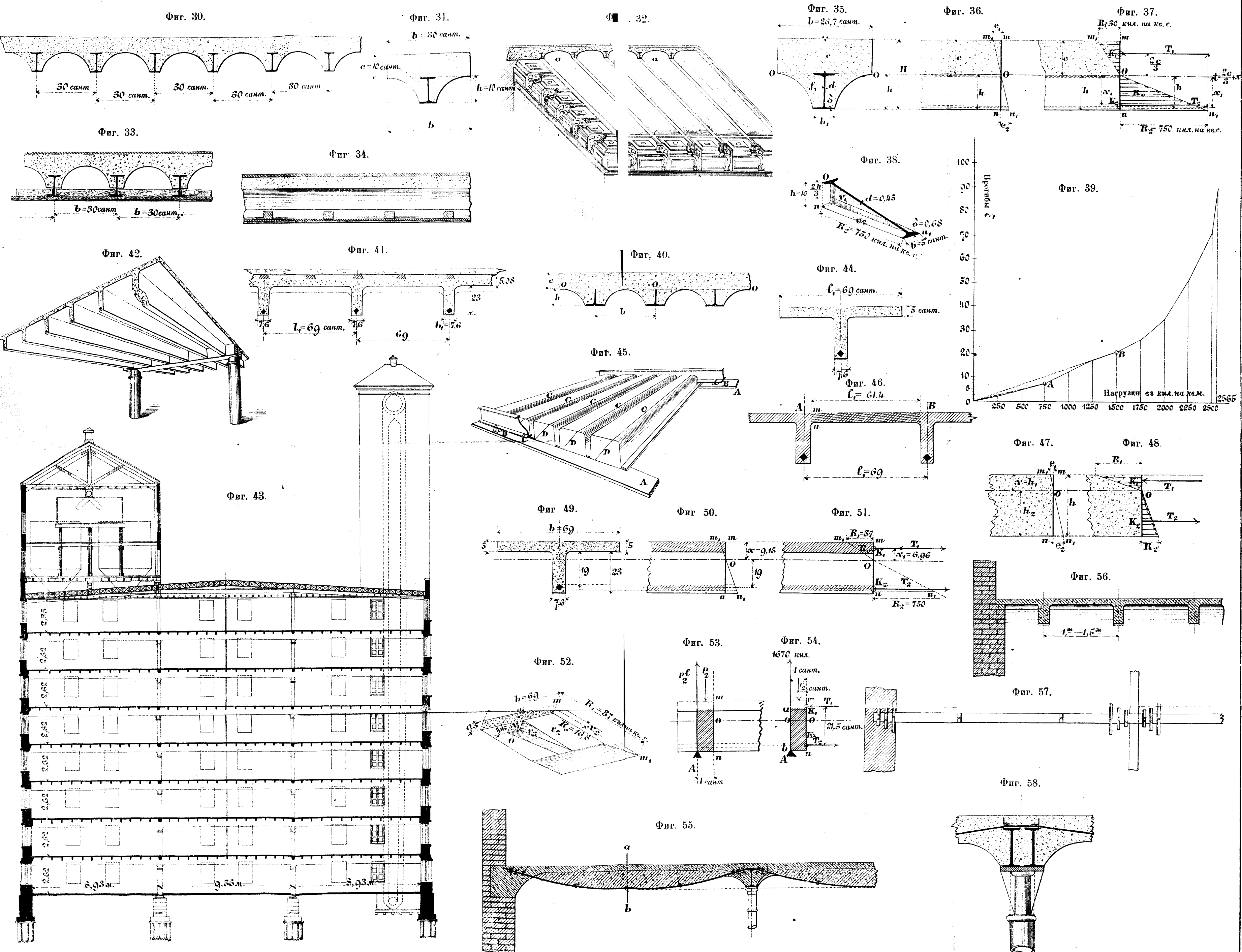
Фиг. 27. Планъ.



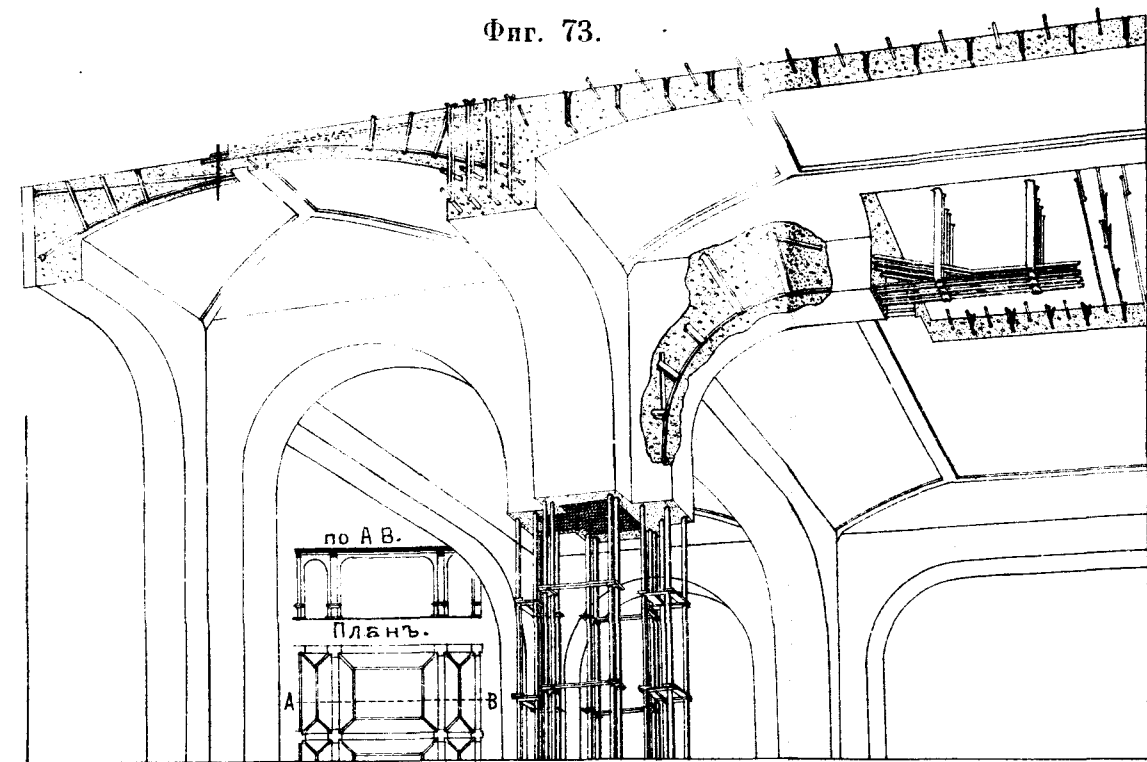
Фиг. 28. Поперечная профиль.



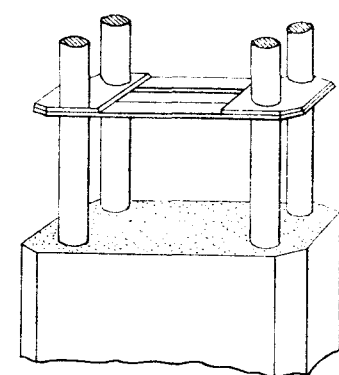
Нагрузка килограмъ.



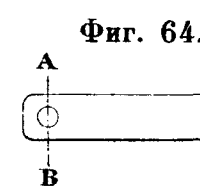
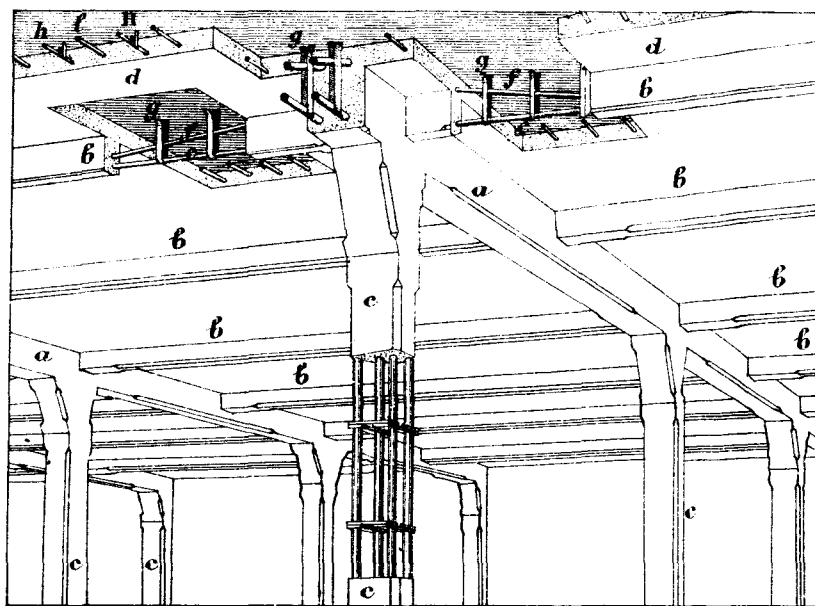
Фиг. 73.



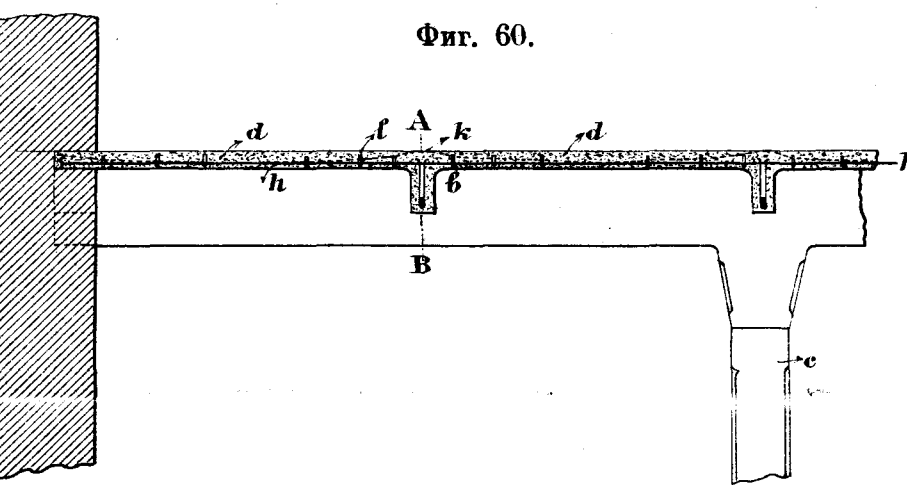
Фиг. 63



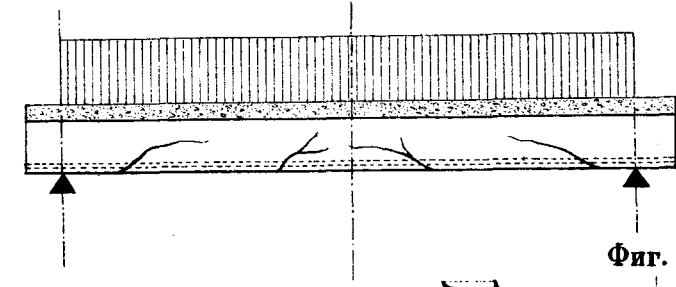
Фиг. 59.



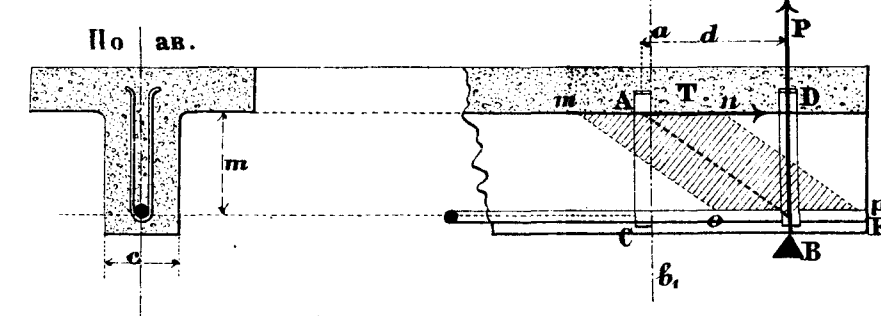
Фиг. 64.



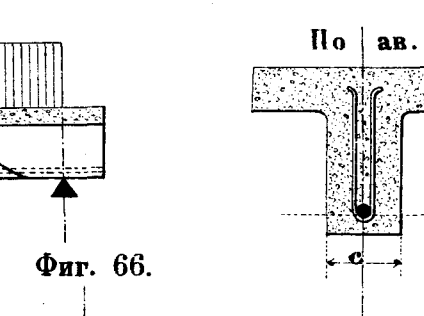
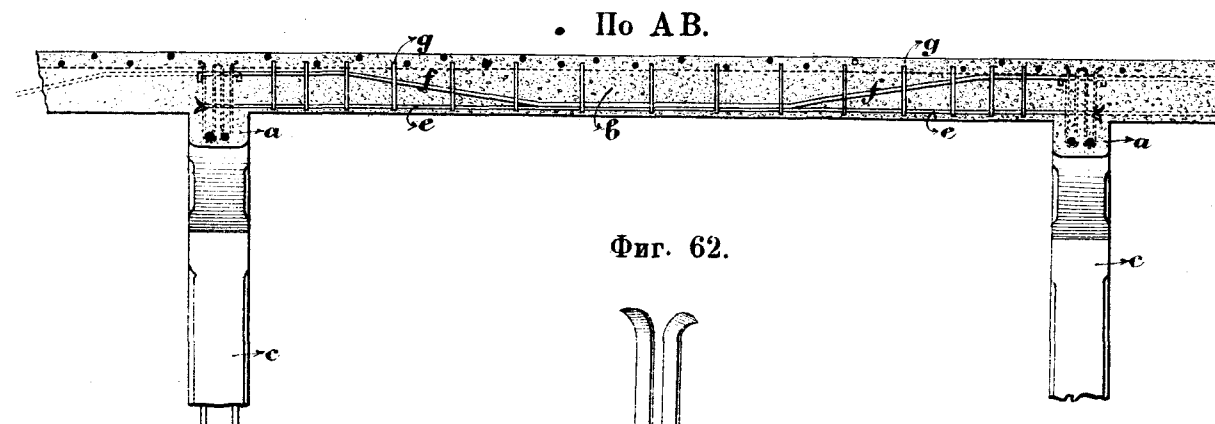
Фиг. 65.



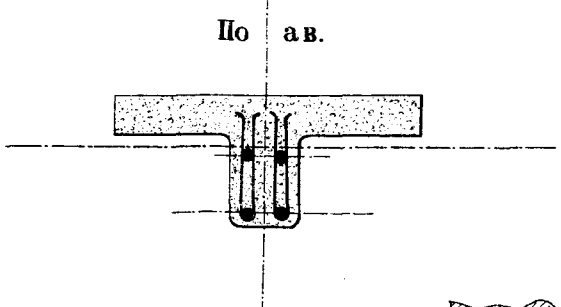
Фиг. 72.



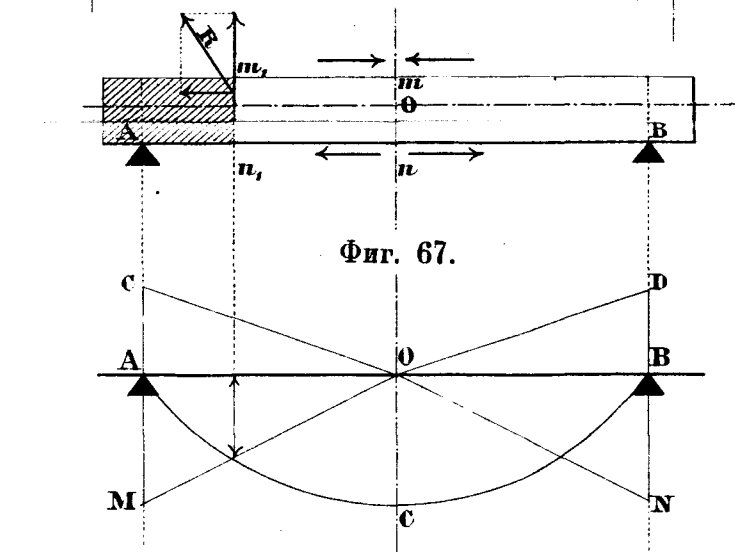
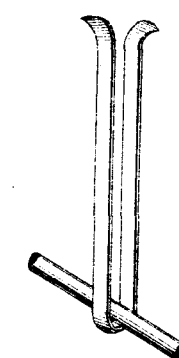
Фиг. 71.



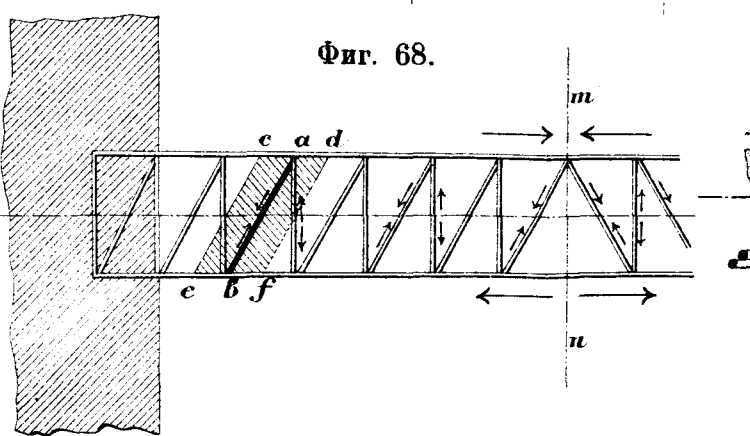
Фиг. 70.



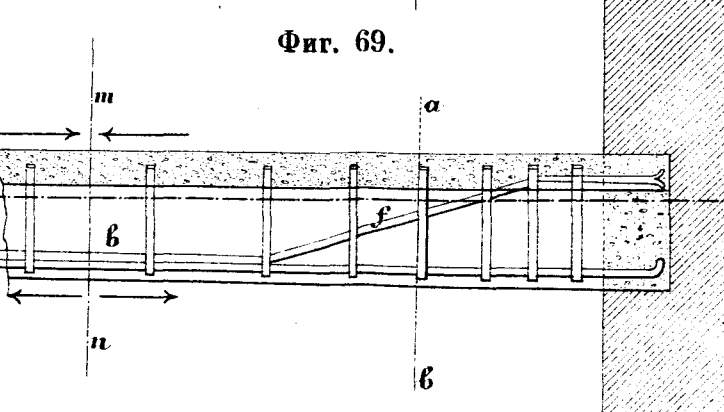
Фиг. 62.



Фиг. 67.



Фиг. 68.



Фиг. 69.